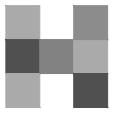


 <p><b>LT PROJEKT</b> PROJEKTOVÁNÍ ZDRAVOTNICKÉ VÝSTAVBY</p>		<p>Hlavní inženýr projektu: ING. PETR TOMICKÝ</p> <p>Vedoucí projektant zakázky: ING. PETRA VÁCLAVKOVÁ</p>	<p>Investor:</p>  <p><b>Nemocnice Vyškov</b></p>
Profese:  STATIKA	<b>A+Z PROJEKT TEAM</b> 624 00 Brno, Uličníkova 33 IČO 28274725 tel.: +420 532268330, mob.: +420 606229143 e-mail: info@apluszprojekt.cz		Autorizace:
Odpovědný projektant:  ING. ALEŠ UTÍKAL	Vypracoval:  ING. PETR HANUŠ	Kontroloval:  ING. ALEŠ UTÍKAL	
Objekt: PŘÍSTAVBA KŘÍDLA D3	SO 01	Formát: A4	
Obsah:  <b>STATICKÝ VÝPOČET</b>	Měřítko:	Číslo výkresu:	<b>D.1.01.1-002</b>
Akce: <b>NEMOCNICE VYŠKOV, p.o.</b> <b>MAGNETICKÁ REZONANCE</b> <b>A STAVEBNÍ ÚPRAVY KŘÍDLA D3</b>		Zakázkové číslo: DÚR+DSP 08 - 2021	Paré:
		Datum: 03 - 2021	
		Stupeň: PRO SLOUČENÉ ÚR A SP	

# STATICKÝ VÝPOČET

## Stavebně konstrukční část projektu pro stavební povolení

### 1. OBSAH

ZATÍŽENÍ .....	10
PŘÍSTAVBA MAGNETICKÉ REZONANCE .....	12
STAVEBNÍ ÚPRAVY STÁVAJÍCÍHO OBJEKTU D3 .....	50

### 2. PODKLADY

Podkladem pro vypracování projektové dokumentace byly:

- [1] Normy systému EUROPAC (ČSN EN 1990 až ČSN EN 1999) v platném znění a na ně navazující normy ČSN, ČSN EN, ČSN ISO v platném znění
- [2] ČSN ISO 13822 Zásady navrhování konstrukcí – Hodnocení existujících konstrukcí
- [3] ČSN 73 1201:2010 Navrhování betonových konstrukcí pozemních staveb
- [4] ČSN EN 206+A1:2018 Beton – Specifikace, vlastnosti, výroba a shoda
- [5] ČSN EN 13670:2010 Provádění betonových konstrukcí
- [6] ČSN EN 1090:2019 Provádění ocelových konstrukcí a hliníkových konstrukcí
- [7] ČSN 732604:2012 Ocelové konstrukce – Kontrola a údržba ocelových konstrukcí pozemních a inženýrských staveb
- [8] ČSN EN 14081-1:2016 Dřevěné konstrukce – Konstrukční dřevo obdélníkového průřezu
- [9] ČSN 73 2810 Dřevěné stavební konstrukce. Provádění
- [10] ČSN 73 1702:2007 Navrhování, výpočet a posuzování dřevěných stavebních konstrukcí
- [11] ČSN EN 1996-2 Navrhování zděných konstrukcí – Část 2: Volba materiálů, konstruování a provádění zdiva
- [12] ČSN 731001:1988 Základová půda pod plošnými základy
- [13] ČSN 721006:1998 Kontrola z hutněných zemin a sypalin
- [14] „Navrhování základových a pažících konstrukcí, příručka k ČSN EN 1997“, Doc. Ing. Jan Masopust, CSc, vydáno v roce 2012
- [15] Připravovaná změna „Národní aplikační dokument k ČSN EN 1997-1“ z 18.3.2013
- [16] Sborník „*BÍLÉ VANY, VODONEPROUSTNÉ KONSTRUKLCE*“, třetí, upravené vydání z roku 2008 vydané Českou betonářskou společností ČSSI
- [17] Technická pravidla ČBS 04 „*VODONEPROUSTNÉ BETONOVOÉ KONSTRUKCE*“, překlady německé směrnice a komentáře, vydání z roku 2015 vydané Českou betonářskou společností ČSSI

[18] Technická pravidla ČBS 03 „*POHLEDOVÝ BETON*“, překlady německé směrnice a komentáře, 2. přepracované vydání z roku 2018 vydané Českou betonářskou společností ČSSI

[19] Architektonicko-stavební část

[20] PBŘ

[21] Obhlídka parcely a stávajících objektů

[22] Použitý software – viz statický výpočet

[23] IGP průzkum „*Zpráva o geologických, hydrogeologických a základových poměrech akce NsP Vyškov – rekonstrukce a dostavba – přístavba severního křídla*“ vypracován Ing. Dušanem Balunem v březnu 2001

[24] Tabulky únosnosti trapézových plechů, Kovové profily, s.r.o., Praha

[25] „*Uživatelská příručka Spiroll – 2017*“ Prefa Brno, a.s. Kulkova 10, Brno

[26] Původní neúplná projektová dokumentace „*POLIKLINIKA II, VYŠKOV OBJ.06*“ vypracovaná podnikem Zdravoprojekt v březnu 1973

[27] Původní neúplná projektová dokumentace „*POLIKLINIKA II, VYŠKOV OBJ.07*“ vypracovaná podnikem Zdravoprojekt v dubnu a květnu 1973

### **3. STATICKÝ VÝPOČET A ZATÍŽENÍ KONSTRUKCÍ**

#### **3.1. ZATÍŽENÍ KONSTRUKCÍ**

Ve statickém výpočtu bylo stálé zatížení uvažováno těmito charakteristickými hodnotami:

- Plochá střecha:  $ST1 = 1,30 \text{ kNm}^{-2}$  (hydroizolace, tepelná izolace, spádová vrstva, instalace, podhled)
- Podlaha typická:  $G1 = 1,84 \text{ kNm}^{-2}$  (nášlapná vrstva, cementový potěr, separační vrstva, kročejová izolace, omítka nebo podhled)
- Podlaha ve vyšetřovně MRI:  $G2 = 2,24 \text{ kNm}^{-2}$  (vyrovnávací stérka, betonová mazanina, omítka nebo podhled)
- Stávající podlaha:  $SG1 = 2,00 \text{ kNm}^{-2}$  (odhad)
- Stávající střecha:  $SG2 = 2,00 \text{ kNm}^{-2}$  (odhad)

Ve statickém výpočtu byla proměnná volná zatížení uvažována těmito charakteristickými hodnotami:

- Užitné – shromažďovací plochy:  $3,00 \text{ kNm}^{-2}$  (kategorie C dle ČSN EN 1991-1-1)
- Rezerva pro zařízení na střeše přístavby:  $1,50 \text{ kNm}^{-2}$  (kategorie E dle ČSN EN 1991-1-1)
- Nové VZT zařízení na stávající střeše:  $5,00 \text{ kNm}^{-2}$  (kategorie E dle ČSN EN 1991-1-1)
- Užitné - schodiště:  $5,0 \text{ kNm}^{-2}$  (kategorie C dle ČSN EN 1991-1-1)

Ve statickém výpočtu byla proměnná volná zatížení příčkami uvažována těmito charakteristickými hodnotami:

- Zděné keramické příčky tl. 150 mm – plošné zatížení:  $2,48 \text{ kNm}^{-2}$  (kategorie E dle ČSN EN 1991-1-1)

Ve statickém výpočtu byla proměnná volná zatížení technologií MR uvažována těmito charakteristickými hodnotami:

- Uvažovaná MR 1,5 Tesla + kabina MR – plošné zatížení:  $26,67 \text{ kNm}^{-2}$  (kategorie E dle ČSN EN 1991-1-1)

Ve statickém výpočtu byla proměnná pevná zatížení od sněhu uvažována těmito charakteristickými hodnotami:

- Sníh:  $1,20 \text{ kNm}^{-2}$  (III. sněhová oblast včetně tvarového součinitele)

Ve statickém výpočtu byla proměnná pevná zatížení od větru uvažována těmito charakteristickými hodnotami:

- Maximální dynamický tlak:  $0,850 \text{ kNm}^{-2}$  (II. větrová oblast, kategorie terénu II., bez součinitele vnitřního a vnějšího tlaku)

## **3.2. STATICKÝ VÝPOČET A STATICKÝ MODEL KONSTRUKCÍ**

### **3.2.1 Přístavba MR**

#### **Střešní konstrukce nad 1.NP - předpínané panely**

Střešní konstrukce nad 1.NP bude tvořena prefabrikovanými předpínánými panely.

Proměnné zatížení od sněhu bylo uvažováno hodnotou  $1,20 \text{ kNm}^{-2}$  a zatížení od případných VZT jednotek nebo lehké technologie bylo na střešní panel uvažováno plošně hodnotou  $1,50 \text{ kNm}^{-2}$  (kategorie E dle ČSN EN 1991-1-1).

Panely byly uvažovány jako prosté nosníky. Byla stanovena minimální požadovaná únosnost a panely byly navrženy dle [25]. Projekt předpokládá částečné spolupůsobení mezi panely, na sousední panel se může přenést minimálně 15% zatížení (tzn., na oba sousední panely se přenese 30% zatížení). Požadovaná únosnost konkrétních panelů je uvedena ve statickém výpočtu.

Železobetonové prefabrikované předpínané panely musí být dodavatelem navrženy na požadovanou požární odolnost dle [20].

#### **Stropní konstrukce nad 1.PP – ŽB deska**

##### **Zatížení desky:**

Stálé zatížení:

- Hmotnost podlahy a podhledu nad 1.PP byla uvažována hodnotou  $2,00 \text{ kN/m}^2$ .

Zatížení proměnné užitné - střednědobé:

- Na stropní konstrukci nad 1.PP bylo uvažováno proměnné užitné zatížení hodnotou  $3,00 \text{ kN/m}^2$  (kategorie C dle ČSN EN 1991-1-1).

Zatížení proměnné příčky - dlouhodobé:

- Na stropní konstrukci nad 1.PP bylo uvažováno proměnné zatížení od zděných keramických příček hodnotou  $2,48 \text{ kN/m}^2$  (kategorie E).

Zatížení proměnné od technologie MR - dlouhodobé:

- Na stropní konstrukci nad 1.PP bylo uvažováno proměnné zatížení od technologie MR hodnotou  $26,67 \text{ kN/m}^2$  (kategorie E).

##### **Kombinace, zadání příček a havarijní přepad střechy:**

Proměnné užitné zatížení bylo zadáno šachovnicově ve čtyřech zatěžovacích stavech. Proměnné užitné od příček bylo zadáno šachovnicově ve čtyřech zatěžovacích stavech. Zadání šachovnicového zatížení bylo provedeno na základě [1] a principu stavební mechaniky tak, aby byly generovány maximální možné vnitřní síly a deformace na všech konstrukcích. Takto byly vytvořeny kombinace pro výpočet.

Příčky byly z důvodu velkých užitných zatížení zadány jako plošné zatížení. Velikost plošného zatížení bylo vypočteno jako těža příček podélaná plochou, na které působí. Příčky jsou zadány jako dlouhodobé proměnné plošné zatížení kategorie E.

##### **Výpočtový model:**

Z důvodu detailního výpočtu vnitřních sil a skutečné deformace byla železobetonová monolitická střešní deska vymodelována jako samostatný výpočtový model. Konstrukce byla modelována jako desková konstrukce působící v obou směrech. Podpory byly zadány jako pružné, tuhost podpory byla zadána dle tuhosti konkrétní podpory. Konstrukce byla vypočtena metodou MKP.

##### **Výsledky:**

Únosnost byla posouzena na základě vypočtených vnitřních sil. Byla navržena minimální plocha výztuže. U sloupů a ostění bylo posouzeno protlačení desky. V místě, kde deska nevyhověla s obyčejnou betonářskou výztuží, byly navrženy smykové lišty.

Deformace byla vypočtena pro kvazi-stálou kombinaci dle [1] zohledňující skutečnou tuhost konstrukce, dotvarování a smršťování železobetonové konstrukce (normově závislý průhyb). Limitní celková deformace desky byla stanovena na základě [1] na  $1/250$  rozpětí. Limitní přídavná deformace desky byla stanovena na základě [1] na  $1/300$  rozpětí. Limitní deformace desky po zabudování příček byla stanovena na základě [1] a [3] na  $1/500$  rozpětí nebo max 15 mm. Ve výpočtu bylo předpokládáno, že příčky budou provedeny nejdříve 7 dní po odbednění stropní konstrukce. Ve výpočtu bylo předpokládáno, že omítky stropů, podhledy a omítky příček budou provedeny nejdříve 28 dní po provedení příček. Šířka trhlin byla vypočtena pro kvazi-stálou kombinaci dle [1]. Limitní šířka trhlin byla stanovena na základě [1] na 0,4 mm.

Stropní konstrukce nad 1.PP nebyla posouzena na mimořádné zatížení požárem dle [1]. Požární odolnost stropní konstrukce je řešená v samostatné části projektu, viz [19] a [20].

### **Svislé konstrukce – zděné konstrukce**

Zděné konstrukce byly posuzovány jako prutový tlačený a ohýbaný prvek. Vnitřní síly byly určeny pomocí zatěžovacích ploch jednotlivých konstrukcí a byly převzaty z modelu ŽB desky. Průběh momentů od rámového účinku přilehlých stropů a průběh momentů od zatížení větrem je uveden ve statickém schématu každého řešeného prvku. Statické schéma svislých konstrukcí předpokládá přenesení všech vodorovných sil do tuhé stropní konstrukce, ŽB venců a do ztužujících stěn. V obvodových stěnách byl moment od větru uvažován jako na prostém nosníku. Při výpočtu momentů od stropních konstrukcí bylo uvažováno s kloubovým spojením stropů a stěn, moment od stropní konstrukce je vypočten na základě eccentricity zatížení na stěnu. Moment od eccentricity zatížení se mění po výšce dle trojúhelníkového obrazce – v patě je nulová hodnota momentu. Zděné konstrukce byly počítány jako prutový tlačený a ohýbaný prvek. Ve zhlaví a v patě stěny je uvažován kloub.

Konstrukce nebyly posouzeny na mimořádné zatížení požárem dle technických listů dodavatele. Požární odolnost zděných konstrukcí je řešená v samostatné části projektu, viz [19] a [20].

### **Svislé konstrukce – železobetonové sloupy**

ŽB sloupy byly počítány jako tlačený a ohýbaný prvek. Vnitřní síly byly převzaty z výpočtového modelu stropní desky. Únosnost byla posouzena na základě vypočtených vnitřních sil. Byla navržena minimální plocha výztuže.

ŽB sloupy nebyly posouzeny na mimořádné zatížení požárem dle [1]. Požární odolnost sloupů je řešená v samostatné části projektu, viz [19] a [20].

### **Základové konstrukce**

Zatížení na základy bylo převzato z posudků svislých konstrukcí.

Základy byly posouzeny na základě předpokládané geologie ve smyslu 2. Geotechnické kategorie dle [1], [12] a [13], objekt je zařazen do střední třídy následků Třída 2 dle [1].

Na základě IGP [23], obhlídky parcely a na základě geologie celého regionu, projektant předpokládá, že v základové spáře se nachází jíl tuhé konzistence dle [12] třídy F5. Základy bude třeba provést tak, aby základové poměry v celém půdorysu byly konstantní jak z hlediska únosnosti, tak z hlediska deformace (sedání).

Základy byly z hlediska mechaniky zemin posouzeny na 1. a 2. mezní stav ve smyslu [1], [12] a [13]. Únosnost (napětí v základové spáře) a použitelnost (celkové sedání a nerovnoměrné sedání) byla posouzena ze směrných normových charakteristik předpokládané zeminy. Při výpočtu 1. mezního stavu byly základy posouzeny dle Návrhového přístupu 1 dle [1], [3] a [13]. Limitní celkové sedání základů bylo stanoveno dle [1] na 80 mm, limitní nerovnoměrné sedání základů (relativní průhyb) bylo stanoveno na základě [1] na 0,0015.

Na základové konstrukce nejsou z hlediska PBŘ kladený žádné nároky – viz [19] a [20].

### **3.2.2 Stavební úpravy stávajícího objektu D3**

#### **Zaslepení stávajících světlíků**

V místě uložení nových VZT jednotek na stávající střešní konstrukci budou zaslepeny stávající světlíky. Zaslepení bude provedeno pomocí ocelových nosníků, na které se provede trapézový plech s přebetonováním.

#### **Ocelové nosníky**

Nové ocelové nosníky byly modelovány jako prostý nosník. Únosnost nosníku byla posouzena na základě vypočtených vnitřních sil, klopení je zabráněno. Limitní svislá deformace konstrukce pro charakteristickou kombinaci byla stanovena na základě [1] na 1/250 rozpětí prvku. Limitní svislá deformace konstrukce pro častou kombinaci byla stanovena na základě [1] na 1/300 rozpětí prvku.

Konstrukce nebyly posouzeny na mimořádné zatížení požárem dle [1]. Požadovaná požární odolnost ocelových konstrukcí bude řešena v [19] a [20].

#### **Trapézový plech**

Trapézový plech pro zaslepení světlíků byl navržen jako prostý nosník.

Trapézový plech byl navržen na kombinace stálého a proměnného zatížení. Celkové stálé zatížení od střešního pláště bylo uvažováno hodnotou  $2,00 \text{ kNm}^{-2}$ . Proměnné zatížení sněhem bylo uvažováno

charakteristickou hodnotou dle [1]  $s_k = 1,20 \text{ kNm}^{-2}$ . Proměnné užitné zatížení od nových VZT zařízení bylo uvažováno charakteristickou hodnotou  $5,00 \text{ kNm}^{-2}$  (kategorie E dle ČSN EN 1991-1-1).

Trapézový plech TR 50/250/0,88 byl navržen dle [24]. Maximální deformace trapézového plechu je 1/200 rozpětí. Při použití jiných plechů je nutné provést nový statický posudek.

Trapézový plech nebyl posouzen na mimořádné zatížení požárem dle [1]. Na trapézový plech nejsou z hlediska PBŘ kladeny žádné nároky.

#### Zastropení stávající jímky v 1.PP

V 1.PP stávajícího objektu v navrhované místnosti D3-0.25 bude provedeno zastropení stávající jímky. Zastropení bude provedeno pomocí ocelových nosníků, na které se provede trapézový plech s přebetonováním. V novém stropu bude proveden revizní otvor  $800 \times 800 \text{ mm}$ .

#### Ocelové nosníky

Nové ocelové nosníky byly modelovány jako prostý nosník. Únosnost nosníku byla posouzena na základě vypočtených vnitřních sil, klopení je zabráněno. Limitní svislá deformace konstrukce pro charakteristickou kombinaci byla stanovena na základě [1] na 1/250 rozpětí prvku. Limitní svislá deformace konstrukce pro častou kombinaci byla stanovena na základě [1] na 1/300 rozpětí prvku.

Konstrukce nebyly posouzeny na mimořádné zatížení požárem dle [1]. Požadovaná požární odolnost ocelových konstrukcí bude řešena v [19] a [20].

#### Trapézový plech

Trapézový plech pro zastropení jímky byl navržen jako prostý nosník.

Trapézový plech byl navržen na kombinace stálého a proměnného zatížení. Celkové stálé zatížení od podlahy bylo uvažováno hodnotou  $2,00 \text{ kNm}^{-2}$ . Proměnné užitné zatížení bylo uvažováno charakteristickou hodnotou  $3,00 \text{ kNm}^{-2}$  (kategorie C dle ČSN EN 1991-1-1). Proměnné užitné zatížení od příček bylo uvažováno charakteristickou hodnotou  $2,48 \text{ kNm}^{-2}$  (kategorie E dle ČSN EN 1991-1-1).

Trapézový plech TR 50/250/0,88 byl navržen dle [24]. Maximální deformace trapézového plechu je 1/200 rozpětí. Při použití jiných plechů je nutné provést nový statický posudek.

Trapézový plech nebyl posouzen na mimořádné zatížení požárem dle [1]. Na trapézový plech nejsou z hlediska PBŘ kladeny žádné nároky.

#### 3.2.3 Obecné předpoklady výpočtu a posouzení konstrukce

- Konstrukce je zařazena do třídy následku CC2 dle [1].
- Zákazník nenárokoval žádné zvláštní požadavky ohledně životnosti konstrukce. Konstrukce je navržena dle standardní 4. kategorie návrhové životnosti, tj. s informativní návrhovou životností 50 let dle [1].
- Stavba se nachází na území s charakteristikou „Velmi malé seismicity“ a nemusí být posuzována na účinky přírodního zemětřesení dle metodiky uvedené v normě ČSN EN 1998-1.
- Stavba není navržena na mimořádné zatížení vozidly nebo výbuchem dle ČSN EN 1991-1-7.
- Konstrukce se nenachází v záplavovém území.
- Stavební pozemek se nenachází v blízkosti poddolovaného území. Stavba není posuzována dle ČSN 73 0039.
- Nosné konstrukce, u kterých byla požadována požární odolnost, byly posouzeny dle [1].

Konkrétní statické schéma, zatížení, výpočet a posouzení je uvedeno ve statickém výpočtu.

### 3.3. MECHANICKÁ ODOLNOST A STABILITA

Statický výpočet byl proveden na základě platných norem, vyhlášek a doporučení profesních organizací a sdružení. Výpočet dle mezního stavu únosnosti a mezního stavu použitelnosti byl proveden na základě stavební mechaniky, mechaniky zemin a pružnosti a pevnosti materiálů konstrukcí.

a/ Všechny konstrukce byly posouzeny na 1. mezní stav (únosnost). Konstrukce jsou navrženy na požadovanou únosnost a stabilitu dle platných norem – viz výše. Konstrukce vyhovují všem kritériím ČSN a požadovaným hodnotám investora vyplývající z účelu jednotlivých částí objektu.

b/ Všechny konstrukce byly posouzeny na 2. mezní stav (použitelnost). Konstrukce jsou navrženy na požadovanou deformaci (průhyb, sedání, pootočení) a šířku trhlin dle platných norem – viz výše. Konstrukce vyhovují všem kritériím ČSN a požadovaným hodnotám investora vyplývající z účelu jednotlivých částí objektu.

c/ Konstrukce jsou navrženy v souladu s požadavky ČSN tak, aby nedošlo k poškození jiných částí stavby nebo technického zařízení anebo instalovaného vybavení v důsledku většího přetvoření – viz bod b.

d/ Konstrukce jsou navrženy v souladu s požadavky ČSN tak, aby nedošlo k poškození staveb, komunikací a inženýrských sítí v okolí stavby důsledkem přetvoření – viz bod b.

e/ Konstrukce jsou navrženy tak, aby lokální poškození nosné konstrukce od mimořádných nepředpokládaných zatížení (výbuch, náraz vozidla či letadla, . . .) nezpůsobil destrukci celé konstrukce. Konstrukce jsou navrženy tak, aby lokální poškození nosné konstrukce od mimořádných nepředpokládaných zatížení nezpůsobil nepřiměřené škody nebo následky.

f/ Konstrukce jsou navrženy tak, aby nedošlo k poškození stavby vlivem nepříznivých účinků podzemních vod vyvolaných zvýšením nebo poklesem hladiny přilehlého vodního toku nebo dynamickými účinky povodňových průtoků, případně hydrostatickým vztlakem při zaplavení.

g/ Stavební konstrukce a stavební prvky jsou navrženy a provedeny v souladu s normovými hodnotami tak, aby po dobu plánované životnosti stavby vyhovely požadovanému účelu a odolaly všem účinkům zatížení a nepříznivým vlivům prostředí, a to i předvídatelným mimořádným zatížením, která se mohou běžně vyskytnout při provádění i užívání stavby.

h/ Stavba je navržena tak, aby byla zajištěna stabilita okolních terénů a svahů.

ch/ Konstrukce jsou navrženy v souladu s platným požárně bezpečnostním řešením stavby [20].

i/ Konstrukce je zařazena do třídy následku CC2 dle [1].

j/ Zákazník nenárokoval žádné zvláštní požadavky ohledně životnosti konstrukce. Konstrukce je navržena dle standardní 4. kategorie návrhové životnosti, tj. s informativní návrhovou životností 50 let dle [1].

k/ Stavba se nachází na území s charakteristikou „Velmi malé seizmicity“ a nemusí být posuzována na účinky přírodního zemětřesení dle metodiky uvedené v normě ČSN EN 1998-1.

l/ Stavba není navržena na mimořádné zatížení vozidly nebo výbuchem dle ČSN EN 1991-1-7.

m/ Konstrukce se nenachází v záplavovém území. Konstrukce nejsou navrženy na mimořádné zatížení vyvolané povodní.

n/ Stavební pozemek se nenachází v blízkosti poddolovaného území. Stavba není posuzována dle ČSN 73 0039.

Na základě výše zmíněných faktů, které vycházejí ze statického výpočtu, je zřejmé, že navrhované konstrukce této projektové dokumentace vyhovují z hlediska mechanické odolnosti a stability.

Stávající konstrukce, které nejsou porušeny, nejsou nadměrně deformovány a u konstrukcí, u kterých se nemění statický schéma nebo zatížení (zatížení je stejné nebo menší než původní zatížení) byly hodnoceny a posouzeny dle [2].

Jednotlivé konstrukce jsou popsány v následujících bodech.

#### **4. VÝPOČTOVÉ A DIMENZAČNÍ PROGRAMY**

- Scia Engineer 20.0.2028
- FIN EC – Beton č. 2021.2
- FIN EC – Ocel verze č. 2021.2
- FIN EC – Zdivo verze č. 2021.1
- GEO 5 - Patky verze č. 2021.9
- Schock BOLE – Protlačení desky, verze 2.12.00

Datum: březen 2021

Vypracoval: Ing. Aleš Utíkal

Ing. Petr Hanuš

Zodpovědný projektant: Ing. Aleš Utíkal

## **PODROBNÝ OBSAH:**

<b>ZATÍŽENÍ .....</b>	<b>10</b>
STÁLÉ ZATÍŽENÍ .....	10
PROMĚNNÉ ZATÍŽENÍ UŽITNÉ .....	10
PROMĚNNÉ ZATÍŽENÍ PŘÍČKY .....	10
PROMĚNNÉ ZATÍŽENÍ OD MAGNETICKÉ REZONANCE .....	10
PROMĚNNÉ ZATÍŽENÍ SNĚHEM .....	11
PROMĚNNÉ ZATÍŽENÍ VĚTREM .....	11
<b>PŘÍSTAVBA MAGNETICKÉ REZONANCE .....</b>	<b>12</b>
STŘEŠNÍ KONSTRUKCE .....	12
PREFABRIKOVANÉ PŘEDPÍNANÉ PANELY NAD 1.NP .....	12
1/ GEOMETRICKÉ SCHÉMA .....	12
2/ ZATÍŽENÍ .....	12
3/ POSOUZENÍ PŘEDPÍNANÉHO PANELU TL. 250 MM - PPD258 .....	12
STROPNÍ KONSTRUKCE .....	14
ŽB DESKA NAD 1.PP .....	14
1/ GEOMETRICKÉ SCHÉMA .....	14
2/ ZATÍŽENÍ .....	14
3/ VÝPOČET VNITŘNÍCH SIL A DEFORMACÍ .....	15
4/ POSOUZENÍ VNITŘNÍCH SIL A DEFORMACÍ .....	30
SVISLÉ KONSTRUKCE .....	32
MEZIOKENNÍ PILÍŘ 1.NP ŠÍŘKY 500 MM .....	32
1/ GEOMETRICKÉ SCHÉMA .....	32
2/ SVISLÉ ZATÍŽENÍ .....	32
3/ VÝPOČET A POSOUZENÍ VNITŘNÍCH SIL .....	33
MEZIOKENNÍ PILÍŘ 1.NP ŠÍŘKY 500 MM .....	34
1/ GEOMETRICKÉ SCHÉMA .....	34
2/ SVISLÉ ZATÍŽENÍ .....	34
3/ VÝPOČET A POSOUZENÍ VNITŘNÍCH SIL .....	35
MEZIOKENNÍ PILÍŘ 1.NP ŠÍŘKY 500 MM .....	36
1/ GEOMETRICKÉ SCHÉMA .....	36
2/ SVISLÉ ZATÍŽENÍ .....	36
3/ VÝPOČET A POSOUZENÍ VNITŘNÍCH SIL .....	37
ŽB SLOUPY V 1.PP .....	38
1/ GEOMETRICKÉ SCHÉMA .....	38
2/ SVISLÉ ZATÍŽENÍ .....	38
3/ VÝPOČET VNITŘNÍCH SIL .....	38
4/ POSOUZENÍ VNITŘNÍCH SIL .....	39
ZÁKLADOVÉ KONSTRUKCE .....	42
ZÁKLADOVÝ PAS POD OBVODOVÉ ZDIVO .....	42
1/ GEOMETRICKÉ SCHÉMA .....	42
2/ VÝPOČET A POSOUZENÍ VNITŘNÍCH SIL A DEFORMACÍ .....	42
ZÁKLADOVÁ PATKA POD ŽB SLOUPY .....	46
1/ GEOMETRICKÉ SCHÉMA .....	46
2/ VÝPOČET A POSOUZENÍ VNITŘNÍCH SIL A DEFORMACÍ .....	46
<b>STAVEBNÍ ÚPRAVY STÁVAJÍCÍHO OBJEKTU D3 .....</b>	<b>50</b>
VODOROVNÉ KONSTRUKCE .....	50
ZASLEPENÍ STÁVAJÍCÍCH SVĚTLÍKŮ – OCELOVÝ NOSNÍK .....	50
1/ GEOMETRICKÉ SCHÉMA .....	50
2/ ZATÍŽENÍ .....	50

3/ VÝPOČET A PÚOSOUZENÍ VNITŘNÍCH SIL A DEFORMACÍ.....	50
ZASLEPENÍ STÁVAJÍCÍCH SVĚTLÍKŮ – TRAPÉZOVÝ PLECH .....	55
1/ GEOMETRICKÉ SCHÉMA .....	55
2/ ZATÍŽENÍ.....	55
3/ VÝPOČET VNITŘNÍCH SIL.....	55
4/ POSUDEK TRAPÉZOVÉHO PLECHU TR50/250/0,88 – KOVOVÉ PROFILY PRAHA .....	55
ZASTROPEŇ STÁVAJÍCÍ JÍMKY – OCELOVÝ NOSNÍK.....	56
1/ GEOMETRICKÉ SCHÉMA .....	56
2/ ZATÍŽENÍ.....	56
3/ VÝPOČET A PÚOSOUZENÍ VNITŘNÍCH SIL A DEFORMACÍ.....	56
ZASTROPEŇ STÁVAJÍCÍ JÍMKY – TRAPÉZOVÝ PLECH .....	60
1/ GEOMETRICKÉ SCHÉMA .....	60
2/ ZATÍŽENÍ.....	61
3/ VÝPOČET VNITŘNÍCH SIL.....	61
4/ POSUDEK TRAPÉZOVÉHO PLECHU TR50/250/0,88 – KOVOVÉ PROFILY PRAHA .....	61

# ZATÍŽENÍ

## STÁLÉ ZATÍŽENÍ

### PLOCHÁ STŘECHA ST1

Hydroizolace  
Tepelná izolace  
Separace a parozábrana  
Instalace  
Podhled

0,30m * 1,5kN/m <sup>3</sup> =	0,30	kN/m <sup>2</sup>
	0,45	kN/m <sup>2</sup>
	0,05	kN/m <sup>2</sup>
	0,25	kN/m <sup>2</sup>
	0,25	kN/m <sup>2</sup>
ST1 =	1,30	kN/m <sup>2</sup>

### PODLAHA TYPICKÁ - G1

Nášpalná vrtva  
Cementový potěr  
Separační vrstava  
Kročejová izolace  
Omítka nebo podhled

0,055m * 23,0kN/m <sup>3</sup> =	0,20	kN/m <sup>2</sup>
	1,27	kN/m <sup>2</sup>
	0,04	kN/m <sup>2</sup>
0,040m * 2,0kN/m <sup>3</sup> =	0,08	kN/m <sup>2</sup>
	0,25	kN/m <sup>2</sup>
G1 =	1,84	kN/m <sup>2</sup>

### PODLAHA VE VYŠETŘOVNĚ MRI - G2

Vyrovňávací stěrka  
Betonová mazanina  
Omítka nebo podhled

0,005m * 23,0kN/m <sup>3</sup> =	0,12	kN/m <sup>2</sup>
0,075m * 25,0kN/m <sup>3</sup> =	1,88	kN/m <sup>2</sup>
	0,25	kN/m <sup>2</sup>
G2 =	2,24	kN/m <sup>2</sup>

### STÁVAJÍCÍ PODLAHA - SG1

Odhad

SG1 =	2,00	kN/m <sup>2</sup>
	2,00	kN/m <sup>2</sup>

### STÁVAJÍCÍ STŘECHA - SG2

Odhad

SG2 =	2,00	kN/m <sup>2</sup>
	2,00	kN/m <sup>2</sup>

## PROMĚNNÉ ZATÍŽENÍ UŽITNÉ

### UŽITNÉ - SHROMAŽDOVACÍ PLOCHY (kategorie C3 dle ČSN EN 1991-1-1)

$$Q1 = 3,00 \text{ kN/m}^2$$

### REZERVA PRO ZAŘÍZENÍ NA STŘEŠE PŘÍSTAVBY (kategorie E dle ČSN EN 1991-1-1)

$$Q2 = 1,50 \text{ kN/m}^2$$

### NOVÉ VZT ZAŘÍZENÍ NA STÁVAJÍCÍ STŘEŠE (kategorie E dle ČSN EN 1991-1-1)

$$Q3 = 5,00 \text{ kN/m}^2$$

### UŽITNÉ - SCHODIŠTĚ (kategorie C dle ČSN EN 1991-1-1)

$$Q4 = 5,00 \text{ kN/m}^2$$

## PROMĚNNÉ ZATÍŽENÍ PŘÍČKY

### KERAMICKÉ PŘÍČKY - tl. 150 mm - PLOŠNÉ ZATÍŽENÍ (kategorie E dle ČSN EN 1991-1-1)

$$P1 = (3,85m * 1,9kN/m^2 * 43,0m0) / 125 m^2 = 2,48 \text{ kN/m}^2$$

## PROMĚNNÉ ZATÍŽENÍ OD MAGNETICKÉ REZONANCE

### UVAŽOVANÁ MR 1,5 TESLA + KABINA MR - PLOŠNÉ ZATÍŽENÍ (kategorie E dle ČSN EN 1991-1-1)

$$MR1 = (70kN + 50kN) / 4,5 m^2 = 26,67 \text{ kN/m}^2$$

## PROMĚNNÉ ZATÍŽENÍ SNĚHEM

### SNÍH NA STŘEŠE - S1 (III. sněhová oblast dle ČSN EN 1991-1-3:Z1:2006)

tvarový součinitel (zachytávače sněhu)

charakteristická hodnota

$$\mu = \begin{array}{l} 0,80 \\ 1,50 \end{array} \text{ kN/m}^2$$

$$S_1 = \mu * 1,0 * 1,0 * s_k = \begin{array}{l} 1,20 \end{array} \text{ kN/m}^2$$

## PROMĚNNÉ ZATÍŽENÍ VĚTREM

Větrová oblast

Kategorie terénu

Normová základní rychlosť větru  $V_{b,0}$

Měrná hmotnost vzduchu  $\rho$

Součinitel směru  $c_{dir}$

Součinitel orografie  $c_o$

Součinitel ročního období  $c_{season}$

Referenční výška  $z$

Součinitel turbulence  $k_l$

Parametr drsnosti terénu  $z_0$

Parametr drsnosti terénu  $z_{min}$

Parametr drsnosti terénu  $z_{0,II}$

Rychlosť větru  $v_b$

Základní dynamický tlak větru  $q_b$

Součinitel terénu  $k_r$

Směrod. odchylka rychlosťi větru  $\sigma_v$

Součinitel drsnosti terénu  $c_r$

Střední rychlosť větru  $v_m$

Intenzita turbulence  $I_v(z)$

Maximální dyn. tlak větru  $q_p(z)$

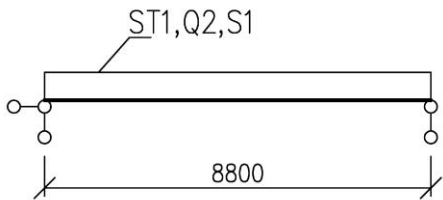
II	II
25,00	m/s
1,25	kg/m <sup>3</sup>
1,00	
1,00	
1,00	
7,50	m
1,00	
0,05	m
2,00	m
0,05	m
25,00	m/s
390,63	N/m <sup>2</sup>
0,19	
4,75	m/s
0,95	
23,80	m/s
0,20	
848,6	N/m <sup>2</sup>

# PŘÍSTAVBA MAGNETICKÉ REZONANCE

## STŘEŠNÍ KONSTRUKCE

### PREFABRIKOVANÉ PŘEDPÍNANÉ PANELY NAD 1.NP

#### 1/ GEOMETRICKÉ SCHÉMA



Teoretické rozpětí

$$L = 8,80 \text{ m}$$

#### 2/ ZATÍŽENÍ

##### STÁLÉ ZATÍŽENÍ:

Střecha nad 1.NP

$$\begin{array}{rcl} ST1 & = & 1,30 \text{ kN/m}^2 \\ G_k & = & 1,30 \text{ kN/m}^2 \end{array}$$

##### PROMĚNNÁ UŽITNÉ:

Rezerva pro zařízení

$$\begin{array}{rcl} Q2 & = & 1,50 \text{ kN/m}^2 \\ Q_k & = & 1,50 \text{ kN/m}^2 \end{array}$$

##### SNÍH:

$$\begin{array}{rcl} S1 & = & 1,20 \text{ kN} \\ S_k & = & 1,20 \text{ kN/m}^2 \end{array}$$

#### 3/ POSOUZENÍ PŘEDPÍNANÉHO PANELU TL. 250 MM - PPD258

##### ZATÍŽENÍ - CHAKTERISTICKÉ:

$$E_k = G_k + Q_{k1} + J_{k1} = 4,00 \text{ kN/m}^2$$

##### ÚNOSNOST -CHARKTERISTICKÁ:

$$\begin{array}{rcl} G_{ku} & = & 1,50 \text{ kN/m}^2 \\ Q_{ku} & = & 4,92 \text{ kN/m}^2 \\ \hline E_{ku} = G_{ku} + Q_{ku} & = & 6,42 \text{ kN/m}^2 \end{array}$$

$$\boxed{\begin{array}{ccc} E_k < E_{ku} \\ 4,00 < 6,42 \end{array}} \text{ kN/m}^2$$

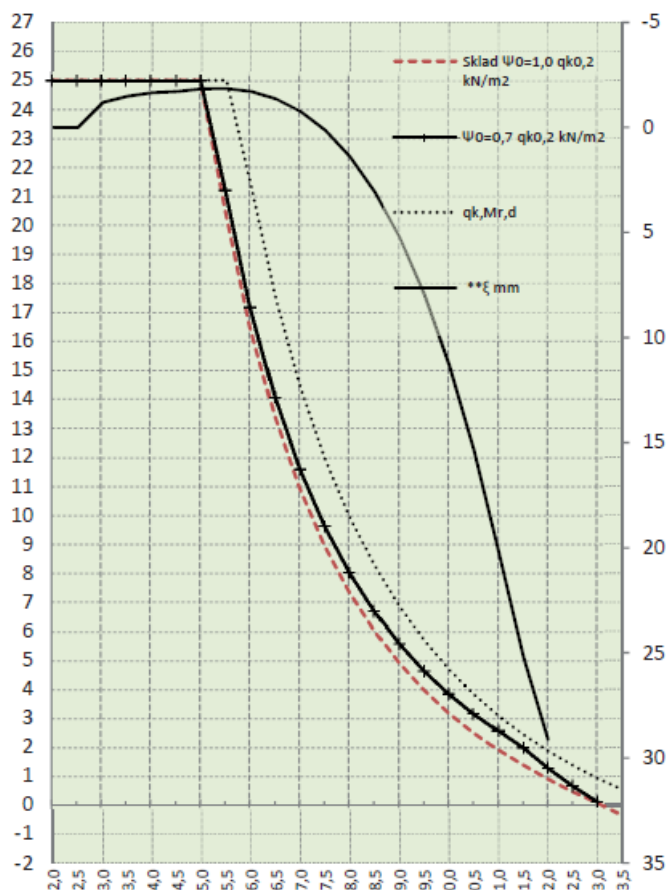
VYHOVUJE

## STATICKÝ VÝPOČET PPD 258 (LANA – DOLE: 8x12,5 + NAHOŘE: 0)

L [m]	Sklad $\Psi_0 (1,0)$ $qk^{0,2}$ [kN/m <sup>2</sup> ]	$\Psi_0 (0,7)$ $qk^{0,2}$ [kN/m <sup>2</sup> ]	Mr,dek [kNm]	Mr,cr [kNm]	Mr0,2 [kNm]	Mr,d [kNm]	** $\xi$ [mm]	*Vrdct1 [kN]
2,0	25,00	<b>25,00</b>						
2,5	25,00	<b>25,00</b>						
3,0	25,00	<b>25,00</b>	91,9	104,6	<b>114,3</b>	129,2	-1,19	129,7
3,5	25,00	<b>25,00</b>	91,1	117,2	135,2	152,8	-1,49	<b>129,6</b>
4,0	25,00	<b>25,00</b>	90,5	128,1	<b>155,9</b>	175,9	-1,66	<b>129,5</b>
4,5	25,00	<b>25,00</b>	90,7	128,3	<b>159,9</b>	198,4	-1,71	129,6
5,0	25,00	<b>25,00</b>	91,0	128,5	<b>160,3</b>	198,4	-1,84	129,7
5,5	20,54	<b>21,20</b>	91,2	128,8	<b>160,7</b>	198,4	-1,85	129,7
6,0	16,51	<b>17,17</b>	91,5	129,1	<b>161,1</b>	198,4	-1,70	129,8
6,5	13,40	<b>14,06</b>	91,8	129,4	<b>161,6</b>	198,4	-1,35	129,9
7,0	10,94	<b>11,60</b>	92,2	129,8	<b>162,1</b>	198,4	-0,76	130,0
7,5	8,97	<b>9,63</b>	92,5	130,1	<b>162,6</b>	198,4	0,14	130,0
8,0	7,36	<b>8,02</b>	92,9	130,5	<b>163,2</b>	198,4	1,41	130,1
8,5	-0,02	<b>-0,02</b>	93,4	130,9	<b>163,9</b>	198,4	-0,02	130,2
9,0	4,92	<b>5,58</b>	93,8	131,4	<b>164,5</b>	198,4	5,25	130,3
9,5	7,00	<b>7,61</b>	94,7	131,9	<b>165,2</b>	198,4	7,05	130,3
10,0	3,19	<b>3,85</b>	94,6	132,4	<b>165,9</b>	198,4	11,30	130,2
10,5	2,50	<b>3,16</b>	95,1	132,8	<b>166,7</b>	198,4	15,35	130,2
11,0	1,91	<b>2,57</b>	95,5	133,3	<b>167,5</b>	198,4	20,17	130,2
11,5	1,39	<b>1,98</b>	96,0	133,8	<b>168,2</b>	198,4	25,17	130,2
12,0	0,90	<b>1,28</b>	96,6	134,3	<b>167,9</b>	198,4	29,12	130,2
12,5	0,47	<b>0,67</b>	97,1	134,5	<b>167,5</b>	198,4	33,54	130,2
13,0	0,08	<b>0,12</b>	97,7	134,2	<b>167,1</b>	198,4	38,47	130,3
13,5	-0,35	<b>-0,50</b>	97,5	133,9	167,0	198,4	<b>43,98</b>	130,3

$qd(kN/m^2) = \gamma G^*(g_0 + 1,5) + \Psi_0 * \gamma Q * qk_0,2$   
 $qd(kN/m^2) = \gamma G^* \xi^*(g_0 + 1,5) + \gamma Q * qk_0,2$   
 $\gamma G (1,35)$  ..... návrhový koeficient  
 $\xi (0,85)$  ..... redukční součinitel  
 $g_0 (kN/m^2)$  ..... vlastní tíha  
 $\gamma Q (1,50)$  ..... návrhový koeficient  
 $1,5 (kN/m^2)$  ..... g1 tíha úprav  
 $qk (kN/m^2)$  ..... charakteristické zatížení  
 $\Psi_0 (1,0)$  ..... skladky  
 $\Psi_0 (0,7)$  ..... ostatní  
ECO ČSN EN 1990 rovnice 6.10a 6.10b  
EC2 ČSN EN 1992 -1-1 (CZ); ČSN EN 1168+A3  
Mr,dek (kNm/1,2m) ..... moment na mezi dekomprese XC2/XC3  
Mr,cr [kNm/1,2m] .... moment na mezi vzniku trhlin  
Mr0,2 [kNm/1,2m] ..... moment na mezi šířky trhlin  
Mr,d [kNm/1,2m] ..... moment na mezi únosnosti  
\*\* $\xi$  [mm] ..... průhyb  
\*Vrdct1 (kNm/1,2m) ..... smyková únosnost pro oblast bez trhlin

\* Pro oblast s trhlinami se doporučuje redukovat smyk. únosnost na 80%  
\*\* Skutečné hodnoty se mohou lišit od zde odhadnutých hodnot, skutečný průhyb závisí od historie zatížení apod. (EC2 čl. 7.4.1)  
Obvykle s průhybem spirollu nebývají žádné problémy.



**Rozměry**  
výška/šířka/sklad./uložení  
250/1 190/1 200/150 mm

**Ocel**  
fpk/fpk 0,1%  
1 770/1 520 MPa

**Krytí lan**  
dolní řada/střední/horní  
29/-/- mm

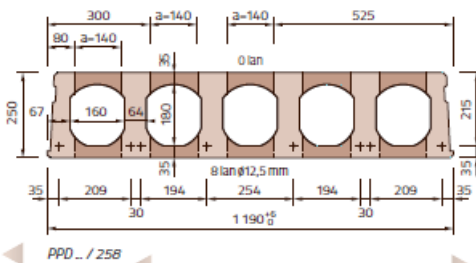
**Tepelný odpor**  
0,23 m<sup>2</sup>K/W

**Hmotnosti**  
manipulační/se zálivkou/  
zálivka  
4 15/442/27 kg/m<sup>3</sup>

**REI Požární odolnost**  
50 minut  
**Vzduchová neprůzvučnost**  
4 15/442/27 kg/m<sup>3</sup> 53 db

**Beton**  
C45/55 XC1  
45 MPa

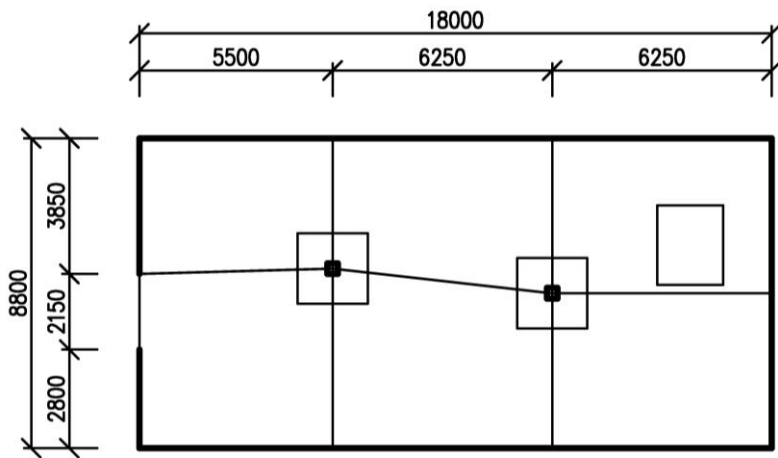
**Vážená, normalizovaná**  
hladina kročejového zvuku  
83 db



# STROPNÍ KONSTRUKCE

## ŽB DESKA NAD 1.PP

### 1/ GEOMETRICKÉ SCHÉMA



### 2/ ZATÍŽENÍ

#### 1.ZS Vlastní hmotnost

Viz Scia

#### 2. ZS Stálé

Podlaha typická

$$G1 = \begin{array}{|c|c|} \hline 1,84 & \text{kN/m}^2 \\ \hline \end{array}$$

$$G11 = \begin{array}{|c|c|} \hline 1,84 & \text{kN/m}^2 \\ \hline \end{array}$$

$$G2 = \begin{array}{|c|c|} \hline 2,24 & \text{kN/m}^2 \\ \hline \end{array}$$

$$G12 = \begin{array}{|c|c|} \hline 2,24 & \text{kN/m}^2 \\ \hline \end{array}$$

#### 3.-6.-ZS Proměnné - Užitné kat. C

Shromažďovací plochy

$$Q1 = \begin{array}{|c|c|} \hline 3,00 & \text{kN/m}^2 \\ \hline \end{array}$$

$$Q11 = \begin{array}{|c|c|} \hline 3,00 & \text{kN/m}^2 \\ \hline \end{array}$$

#### 7.-10.-ZS Proměnné kat. E

Příčky keramické - plošné zatížení

$$P1 = \begin{array}{|c|c|} \hline 2,48 & \text{kN/m}^2 \\ \hline \end{array}$$

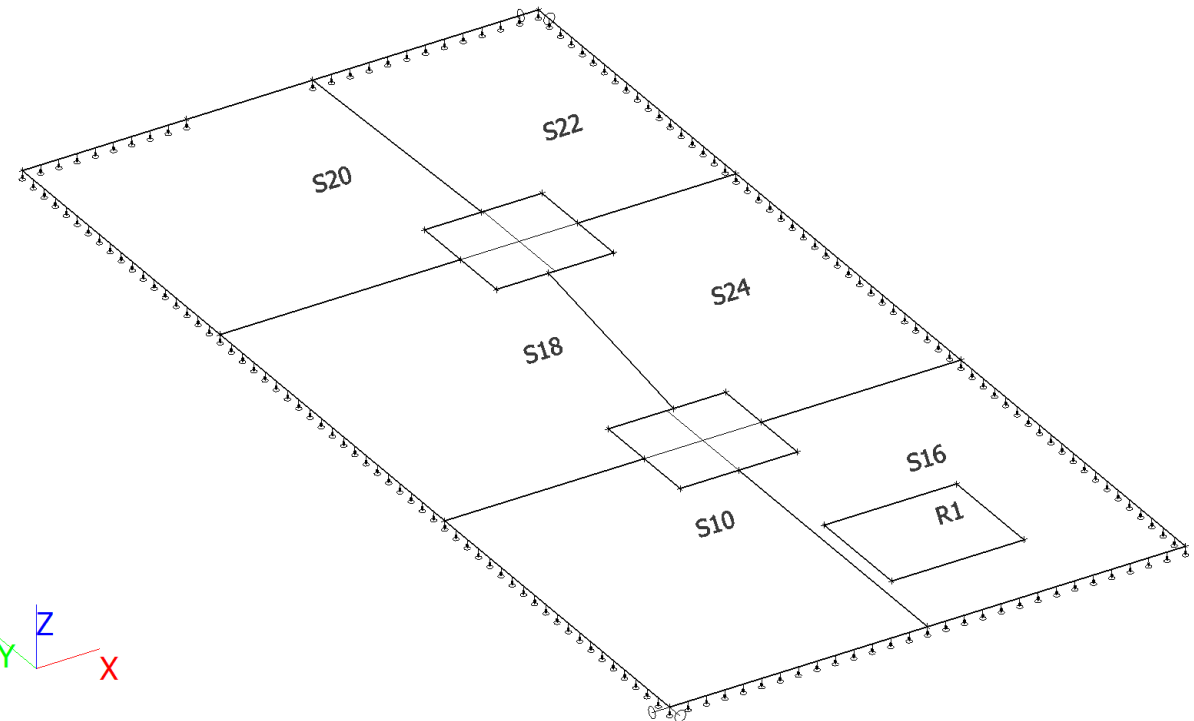
$$P11 = \begin{array}{|c|c|} \hline 2,48 & \text{kN/m}^2 \\ \hline \end{array}$$

$$MR1 = \begin{array}{|c|c|} \hline 26,67 & \text{kN/m}^2 \\ \hline \end{array}$$

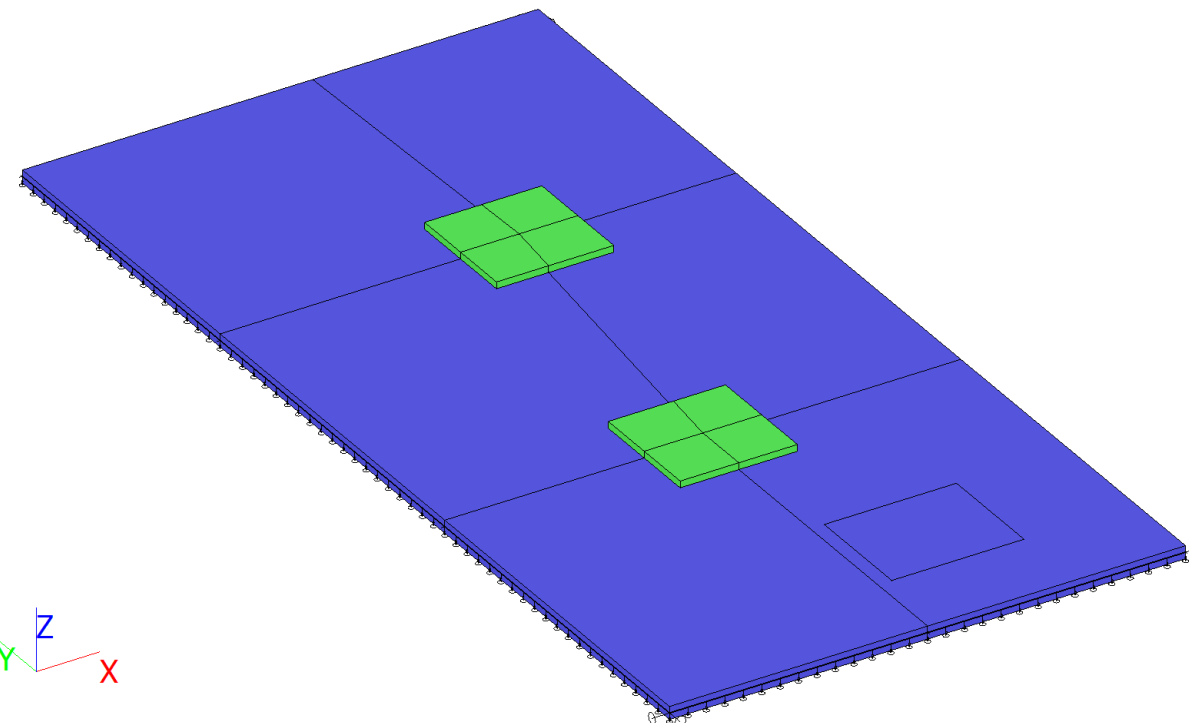
$$P12 = \begin{array}{|c|c|} \hline 26,67 & \text{kN/m}^2 \\ \hline \end{array}$$

### 3/ VÝPOČET VNITŘNÍCH SIL A DEFORMACÍ

#### 1. Výpočtový model



#### 2. Výpočtový model



#### 3. Vrstvy

Jméno	Pouze konstrukční model	Barva
podklad	Ne	■

Jméno	Pouze konstrukční model	Barva
konstrukce	Ne	█
Hlavice	Ne	█

#### 4. Materiály

Jméno	Typ	$\rho$ [kg/m <sup>3</sup> ]	Hustota v čerstvém stavu [kg/m <sup>3</sup> ]	$E_{mod}$ [MPa]	$\mu$	$a$ [m/mK]	$f_{c.k.28}$ [MPa]	Barva
C25/30	Beton	2500,0	2600,0	3,1500e+04	0,2	0,00	25,00	█

Vysvětlivky symbolů	
Hustota v čerstvém stavu	Hodnota hustoty v čerstvém stavu se použije pouze v případě, že je zadána spřažená deska a její vlastní tíha se zohledňuje.

#### 5. Zatěžovací stavy

Jméno	Popis	Typ působení	Skupina zatížení	Směr	Působení	Rídící zat. stav
	Spec	Typ zatížení				
ZS1	Vlastní tíha	Stálé	SZ1	-Z		
		Vlastní tíha				
ZS2	Stálé	Stálé	SZ1			
		Standard				
ZS3	Užitné kat. C I.	Proměnné	SZ2		Krátkodobé	Žádný
	Standard	Statické				
ZS4	Užitné kat. C II.	Proměnné	SZ2		Krátkodobé	Žádný
	Standard	Statické				
ZS5	Užitné kat. C III.	Proměnné	SZ2		Krátkodobé	Žádný
	Standard	Statické				
ZS6	Užitné kat. C IV.	Proměnné	SZ2		Krátkodobé	Žádný
	Standard	Statické				
ZS7	Užitné kat. E I.	Proměnné	SZ3		Krátkodobé	Žádný
	Standard	Statické				
ZS8	Užitné kat. E II.	Proměnné	SZ3		Krátkodobé	Žádný
	Standard	Statické				
ZS9	Užitné kat. E III.	Proměnné	SZ3		Krátkodobé	Žádný
	Standard	Statické				
ZS10	Užitné kat. E IV.	Proměnné	SZ3		Krátkodobé	Žádný
	Standard	Statické				

#### 6. Skupiny zatížení

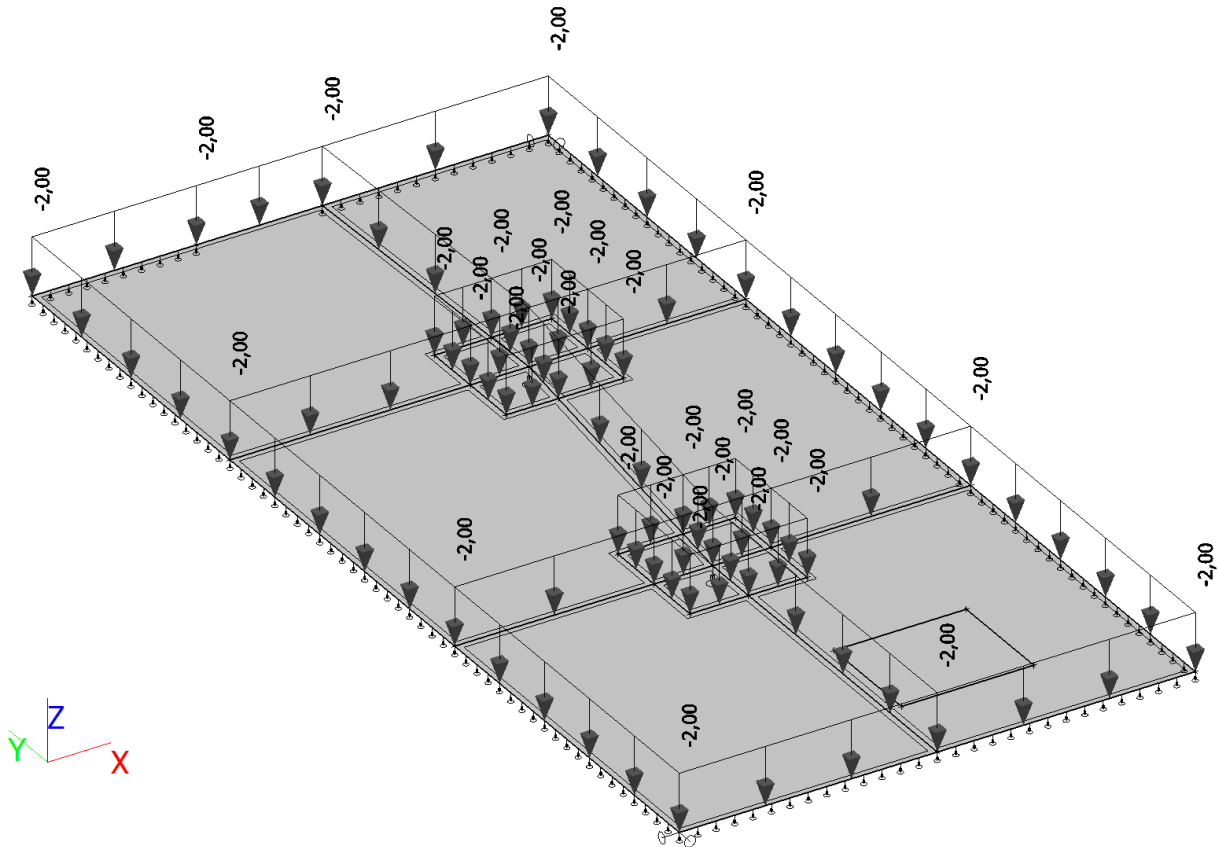
Jméno	Zatížení	Vztah	Typ
SZ1	Stálé		
SZ2	Proměnné	Standard	Kat C : shromáždění
SZ3	Proměnné	Standard	Kat E : sklady

#### 7. Kombinace

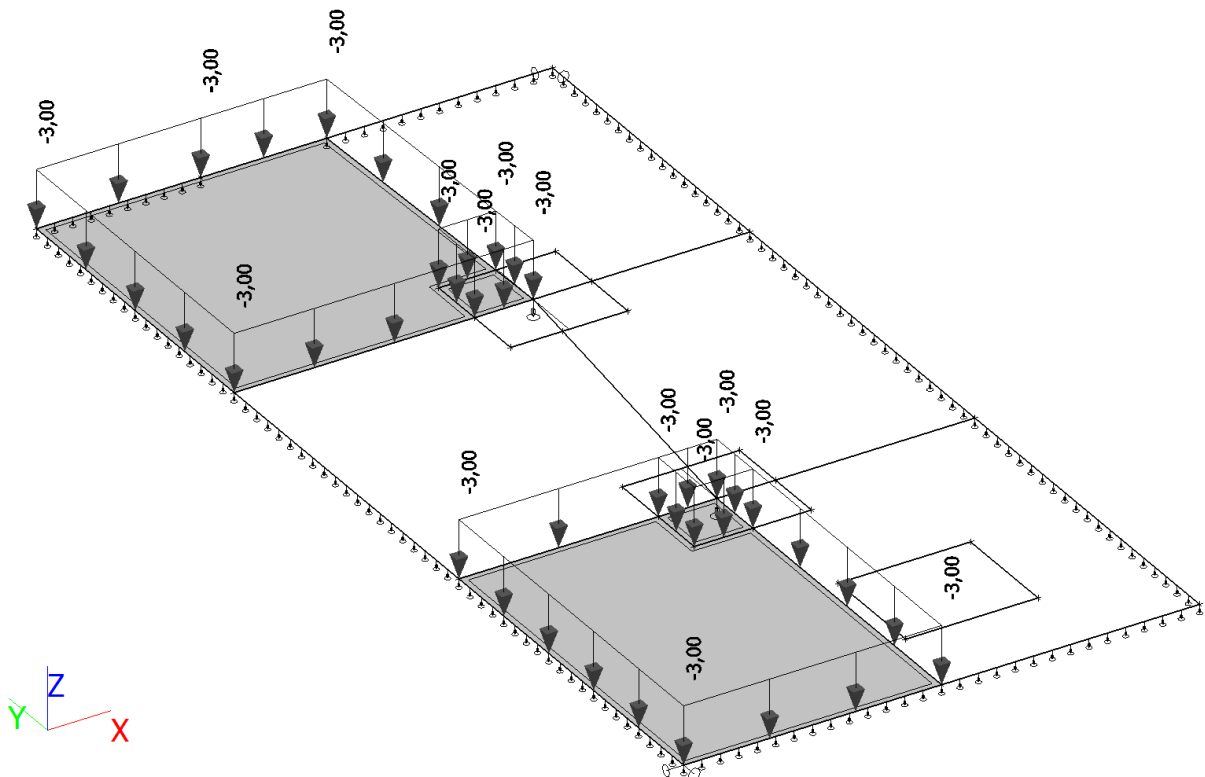
Jméno	Popis	Typ	Zatěžovací stavы	Souč. [-]
MSÚ-Sada B (auto)		EN-MSÚ (STR/GEO) Soubor B	ZS1 - Vlastní tíha ZS2 - Stálé ZS3 - Užitné kat. C I. ZS4 - Užitné kat. C II. ZS5 - Užitné kat. C III. ZS6 - Užitné kat. C IV. ZS7 - Užitné kat. E I. ZS8 - Užitné kat. E II. ZS9 - Užitné kat. E III. ZS10 - Užitné kat. E IV.	1,00 1,00 1,00 1,00 1,00 1,00 1,00 1,00 1,00 1,00
MSP-Char (auto)		EN-MSP charakteristická	ZS1 - Vlastní tíha ZS2 - Stálé ZS3 - Užitné kat. C I. ZS4 - Užitné kat. C II.	1,00 1,00 1,00 1,00

Jméno	Popis	Typ	Zatěžovací stav	Souč. [-]
			ZS5 - Užitné kat. C III.	1,00
			ZS6 - Užitné kat. C IV.	1,00
			ZS7 - Užitné kat. E I.	1,00
			ZS8 - Užitné kat. E II.	1,00
			ZS9 - Užitné kat. E III.	1,00
			ZS10 - Užitné kat. E IV.	1,00
MSP-Kvazi (auto)	EN-MSP kvazistálá	ZS1 - Vlastní tíha	ZS1 - Vlastní tíha	1,00
		ZS2 - Stálé	ZS2 - Stálé	1,00
		ZS3 - Užitné kat. C I.	ZS3 - Užitné kat. C I.	1,00
		ZS4 - Užitné kat. C II.	ZS4 - Užitné kat. C II.	1,00
		ZS5 - Užitné kat. C III.	ZS5 - Užitné kat. C III.	1,00
		ZS6 - Užitné kat. C IV.	ZS6 - Užitné kat. C IV.	1,00
		ZS7 - Užitné kat. E I.	ZS7 - Užitné kat. E I.	1,00
		ZS8 - Užitné kat. E II.	ZS8 - Užitné kat. E II.	1,00
		ZS9 - Užitné kat. E III.	ZS9 - Užitné kat. E III.	1,00
		ZS10 - Užitné kat. E IV.	ZS10 - Užitné kat. E IV.	1,00

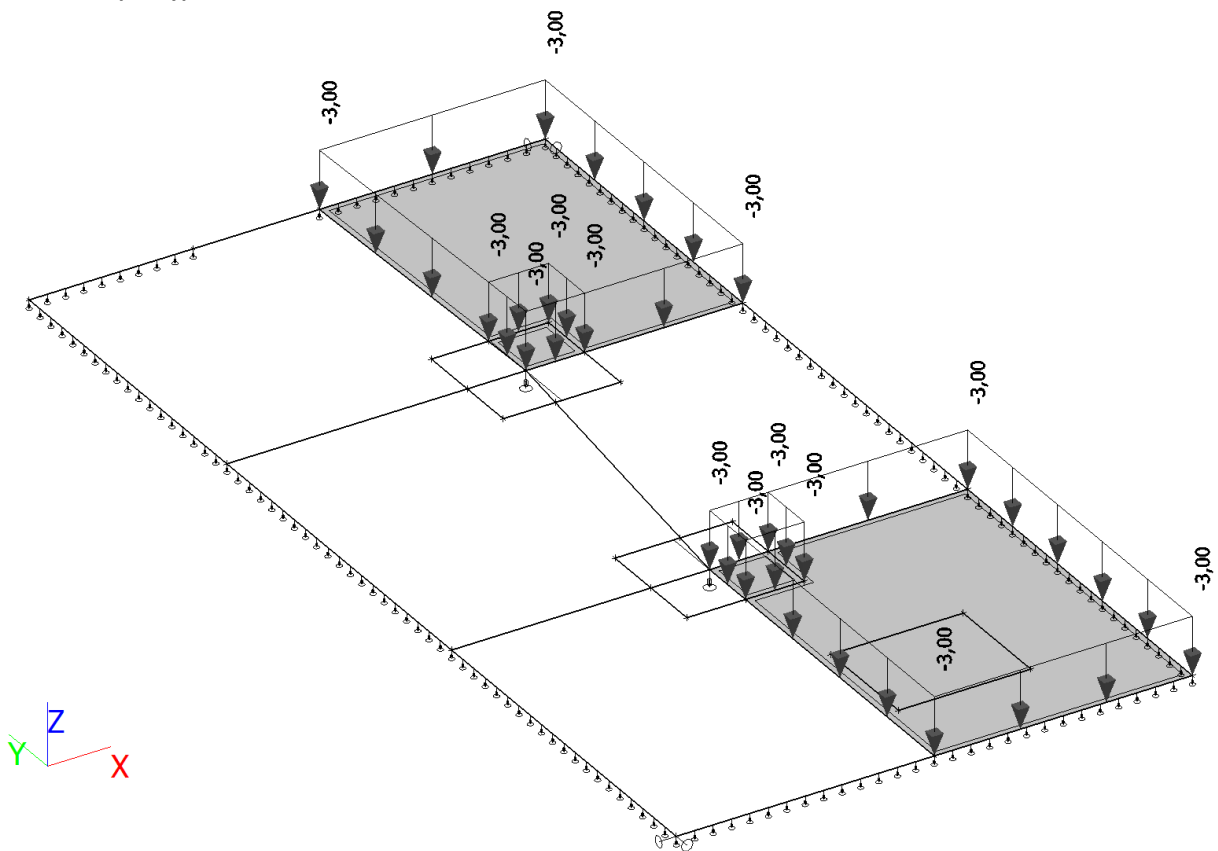
#### 8. ZS2 / Hodnota pro výpočet



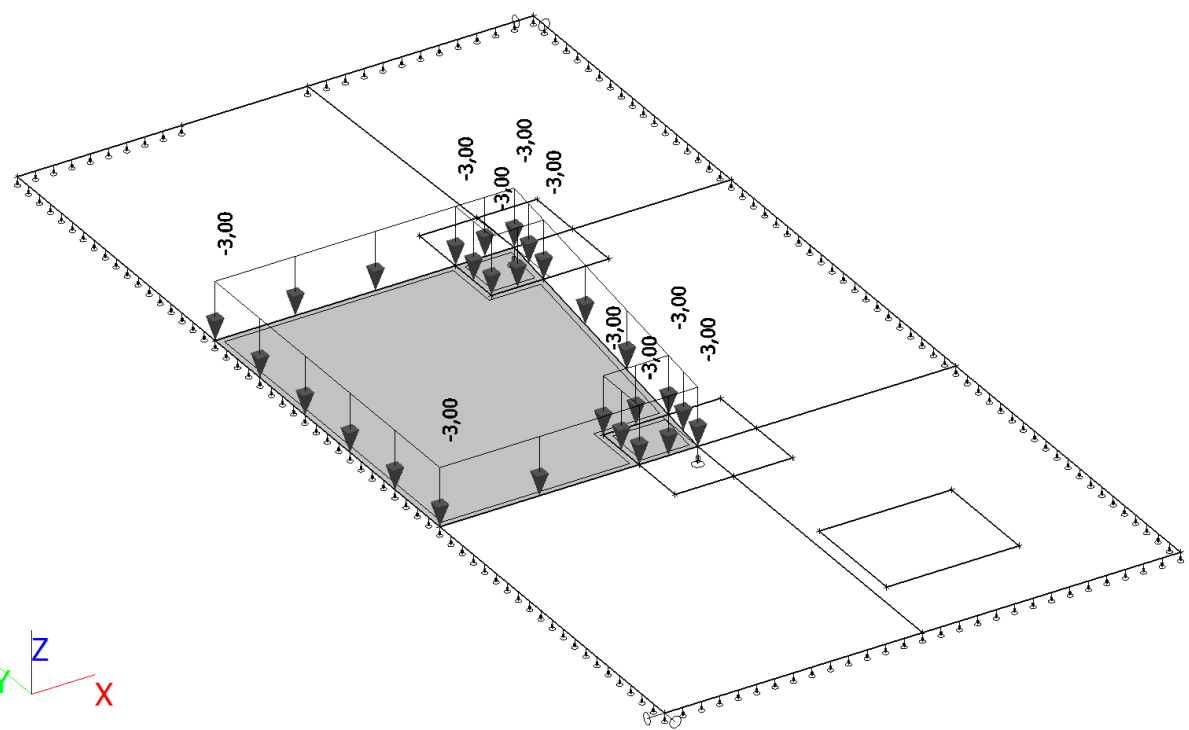
**9. ZS3 / Hodnota pro výpočet**



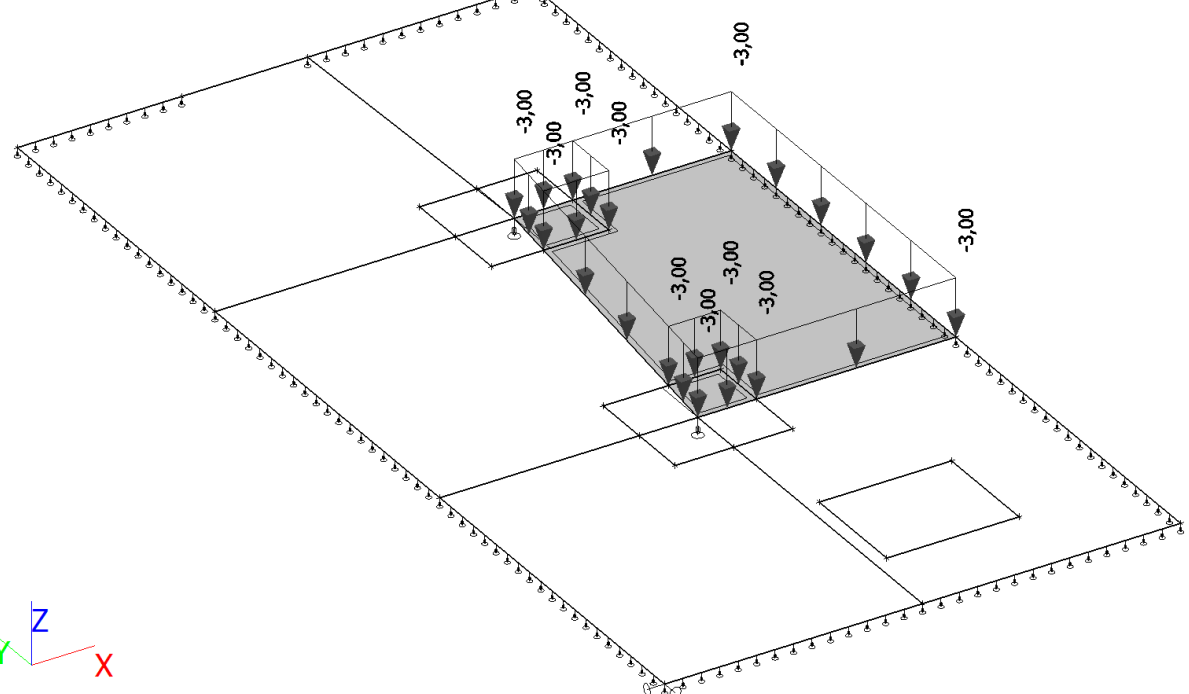
**10. ZS4 / Hodnota pro výpočet**



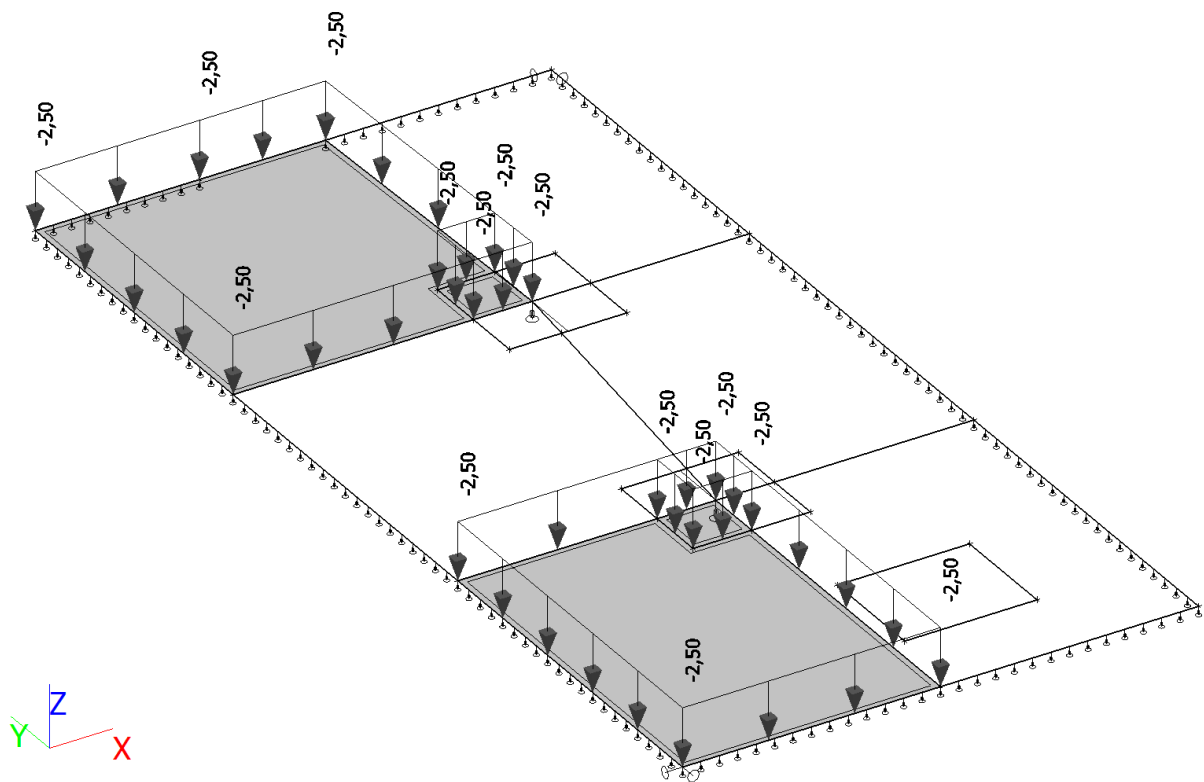
**11. ZS5 / Hodnota pro výpočet**



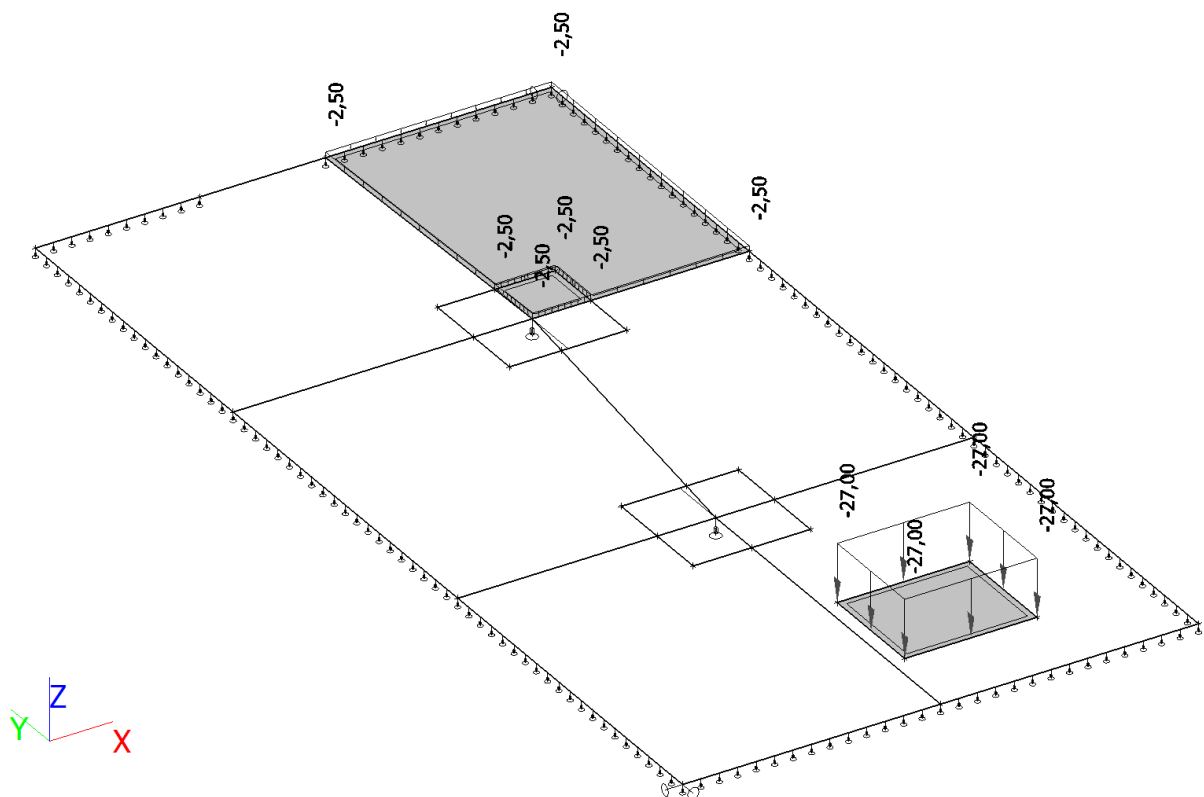
**12. ZS6 / Hodnota pro výpočet**



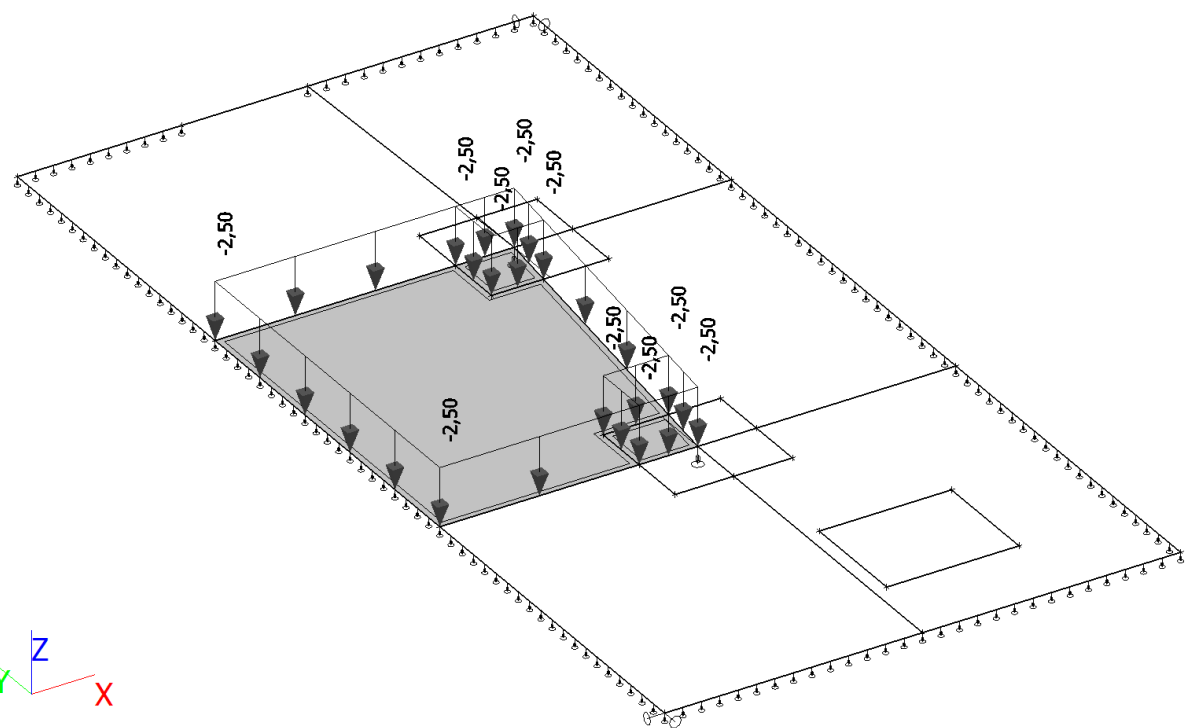
13. ZS7 / Hodnota pro výpočet



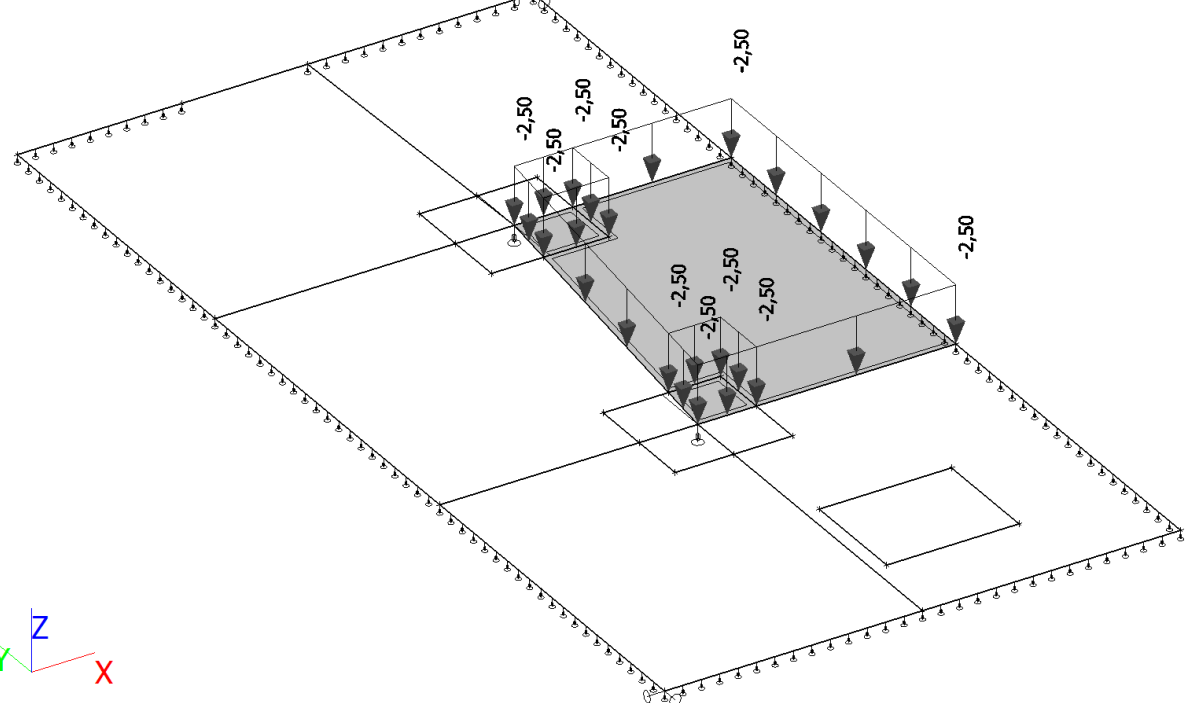
14. ZS8 / Hodnota pro výpočet



15. ZS9 / Hodnota pro výpočet

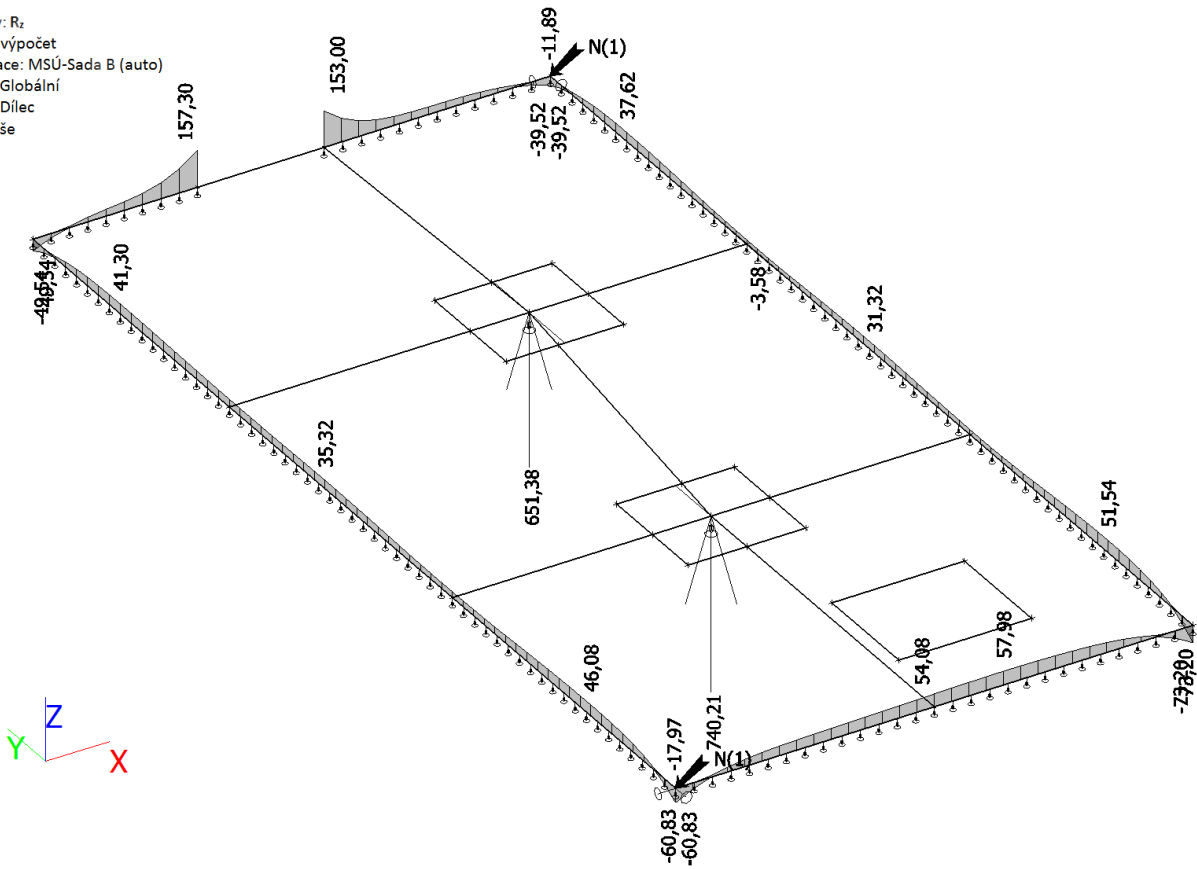


16. ZS10 / Hodnota pro výpočet



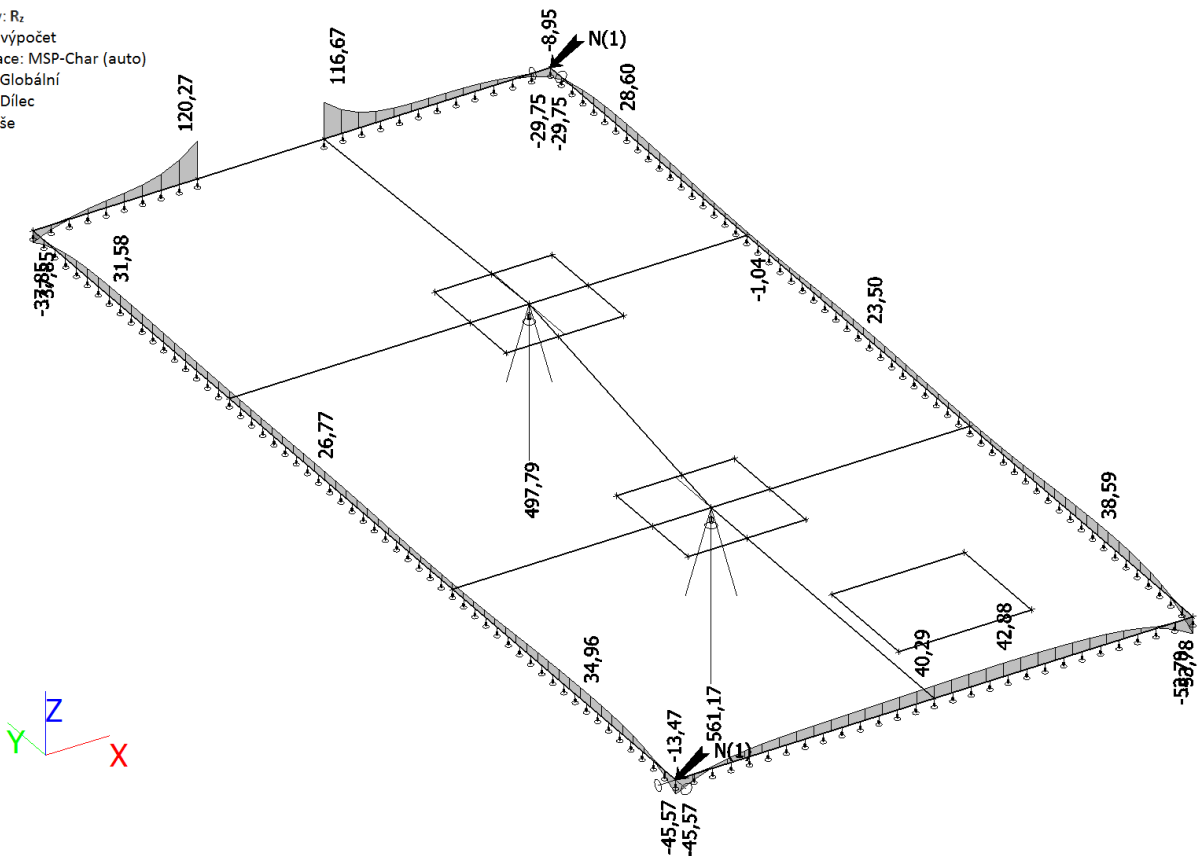
### 17. Reakce; R\_z

Hodnoty: R<sub>z</sub>  
Lineární výpočet  
Kombinace: MSU-Sada B (auto)  
Systém: Globální  
Extrém: Dílec  
Výběr: Vše



### 18. Reakce; R\_z

Hodnoty: R<sub>z</sub>  
Lineární výpočet  
Kombinace: MSP-Char (auto)  
Systém: Globální  
Extrém: Dílec  
Výběr: Vše



### 19. 2D vnitřní síly; m\_xD+

Hodnoty: m<sub>x0+</sub>  
Lineární výpočet

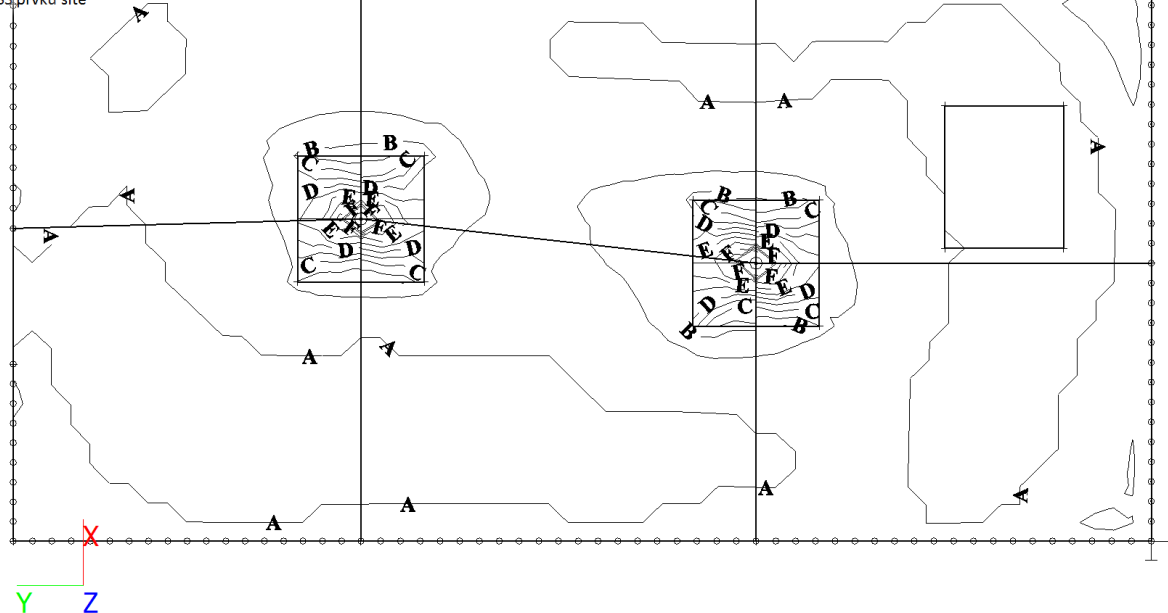
Kombinace: MSÚ-Sada B (auto)

Extrém: Dílec

Výběr: Vše

Pořadí: V uzelích s průměrováním na makro. Systém:

LSS prvku sítě



### 20. 2D vnitřní síly; m\_yD+

Hodnoty: m<sub>y0+</sub>  
Lineární výpočet

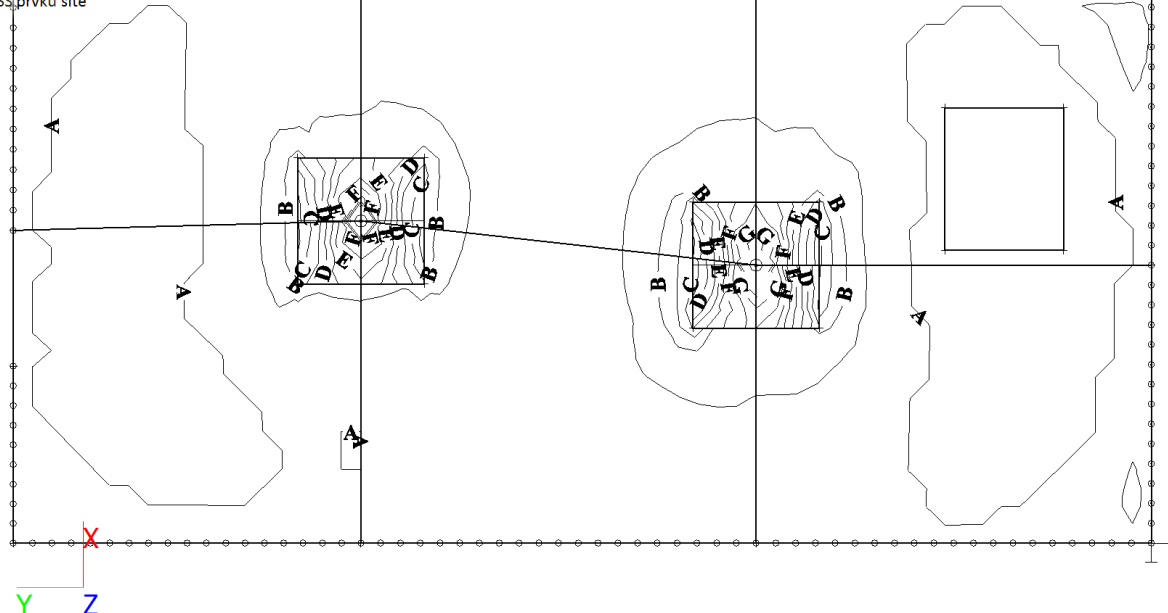
Kombinace: MSÚ-Sada B (auto)

Extrém: Dílec

Výběr: Vše

Pořadí: V uzelích s průměrováním na makro. Systém:

LSS prvku sítě

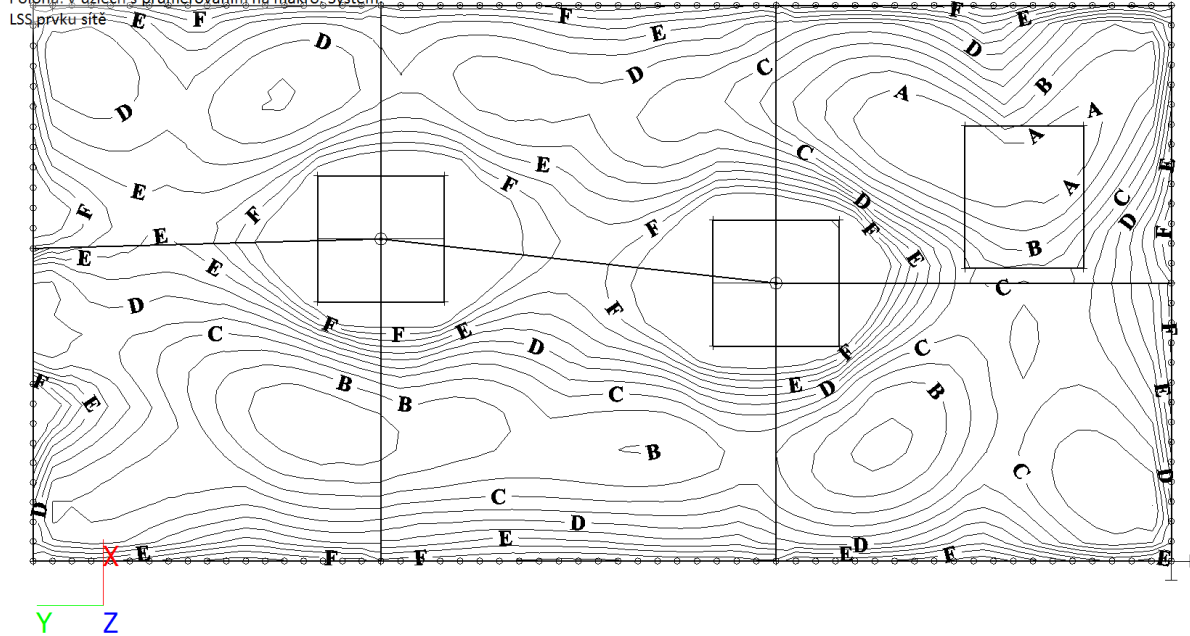


## 21. 2D vnitřní síly; m\_xD-

Hodnoty: m\_xD-  
Lineární výpočet  
Kombinace: MSÚ-Sada B (auto)

Extrém: Dílec  
Vyběr: Vše

Pořadí: V uzlech s průměrováním na makro Systém:

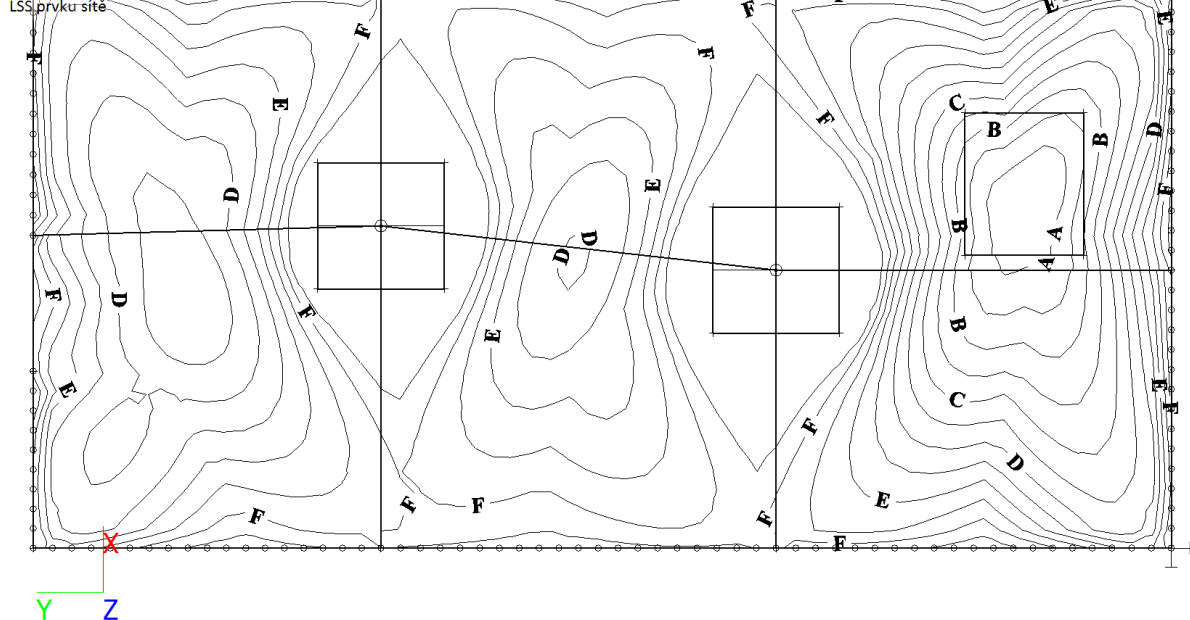


## 22. 2D vnitřní síly; m\_yD-

Hodnoty: m\_yD-  
Lineární výpočet  
Kombinace: MSÚ-Sada B (auto)

Extrém: Dílec  
Vyběr: Vše

Pořadí: V uzlech s průměrováním na makro Systém:



mxD- [kNm/m]

myD- [kNm/m]

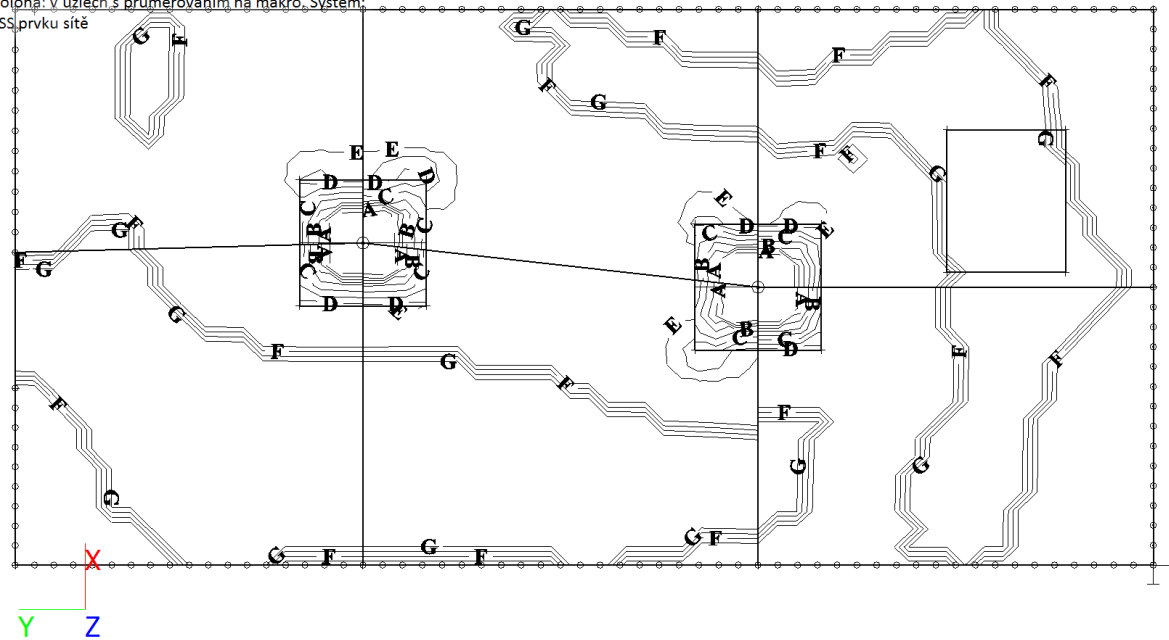
### 23. Návrh výzvuze (MSÚ+MSP); As,req,1+

Hodnoty: As,req,1+  
 Lineární výpočet  
 Kombinace: MSÚ-Sada B (auto)

Extrém: Dílec  
 Výběr: Vše

Pořadí: V uzlech s průměrováním na makro. Systém:

LSS,prvku sítě



### 24. Návrh výzvuze (MSÚ+MSP); As,req,2+

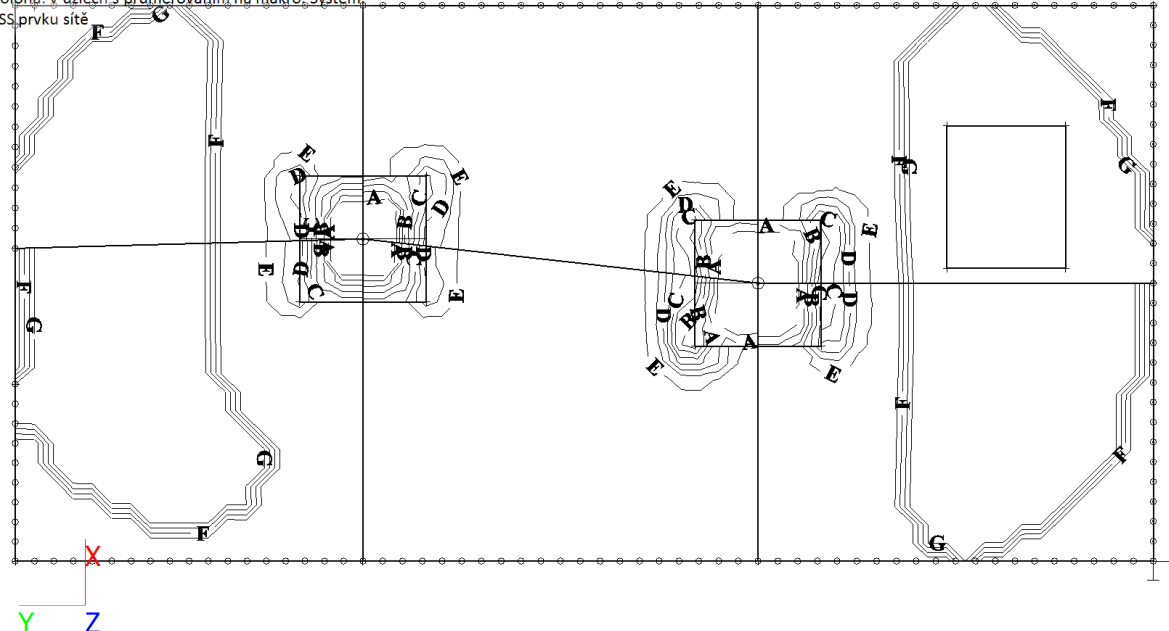
Hodnoty: As,req,2+  
 Lineární výpočet  
 Kombinace: MSÚ-Sada B (auto)

Extrém: Dílec

Výběr: Vše

Pořadí: V uzlech s průměrováním na makro. Systém:

LSS,prvku sítě



As,req,1+[mm²/m]

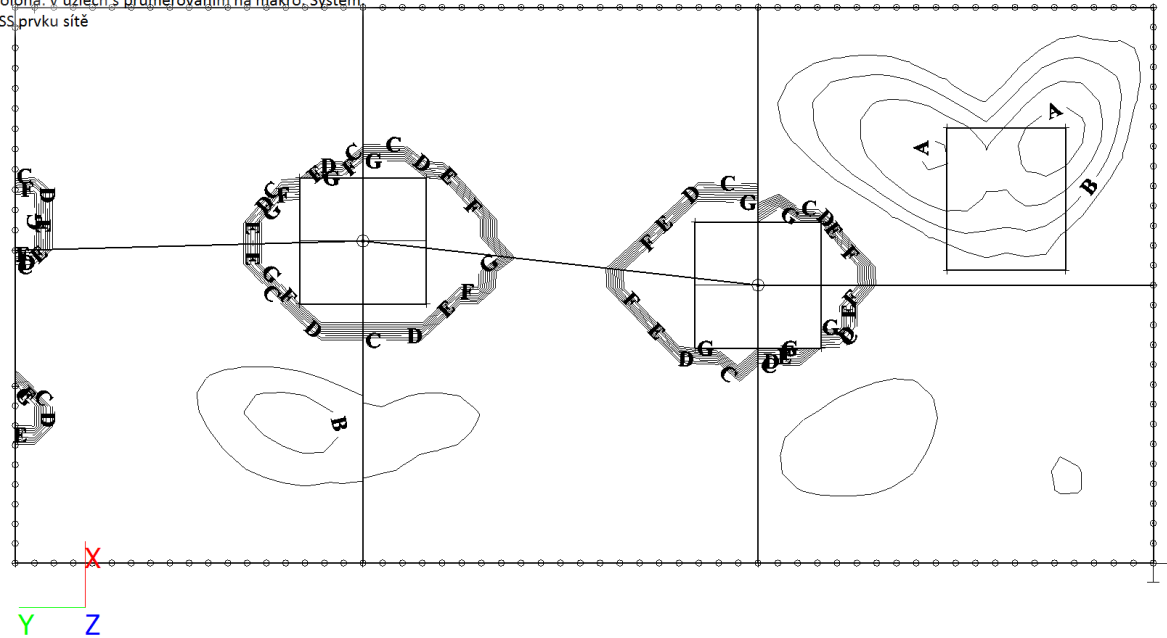
A 1200  
 B 1000  
 C 800  
 D 600  
 E 400  
 F 200  
 G 0

As,req,2+[mm²/m]

A 1200  
 B 1000  
 C 800  
 D 600  
 E 400  
 F 200  
 G 0

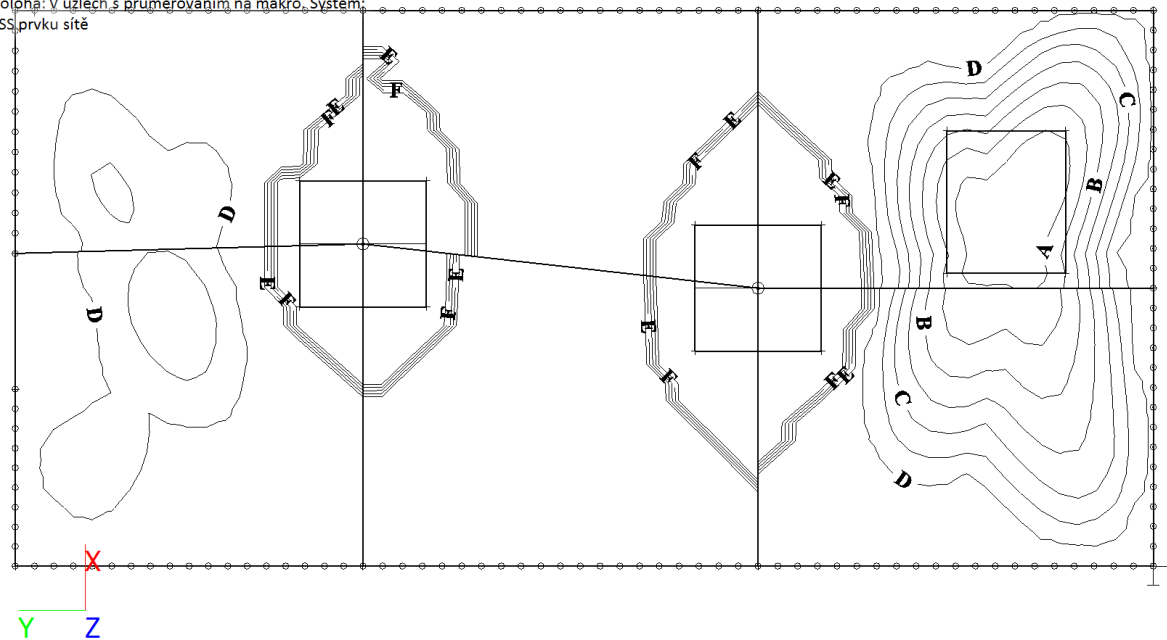
### 25. Návrh výzvuže (MSÚ+MSP); As,req,1-

Hodnoty:  $A_s,req,1$ -  
 Lineární výpočet  
 Kombinace: MSÚ-Sada B (auto)  
 Extrém: Dílec  
 Výběr: Vše  
 Poloha: V uzlech s průměrováním na makro, Systém:  
 LSS,prvku sítě



### 26. Návrh výzvuže (MSÚ+MSP); As,req,2-

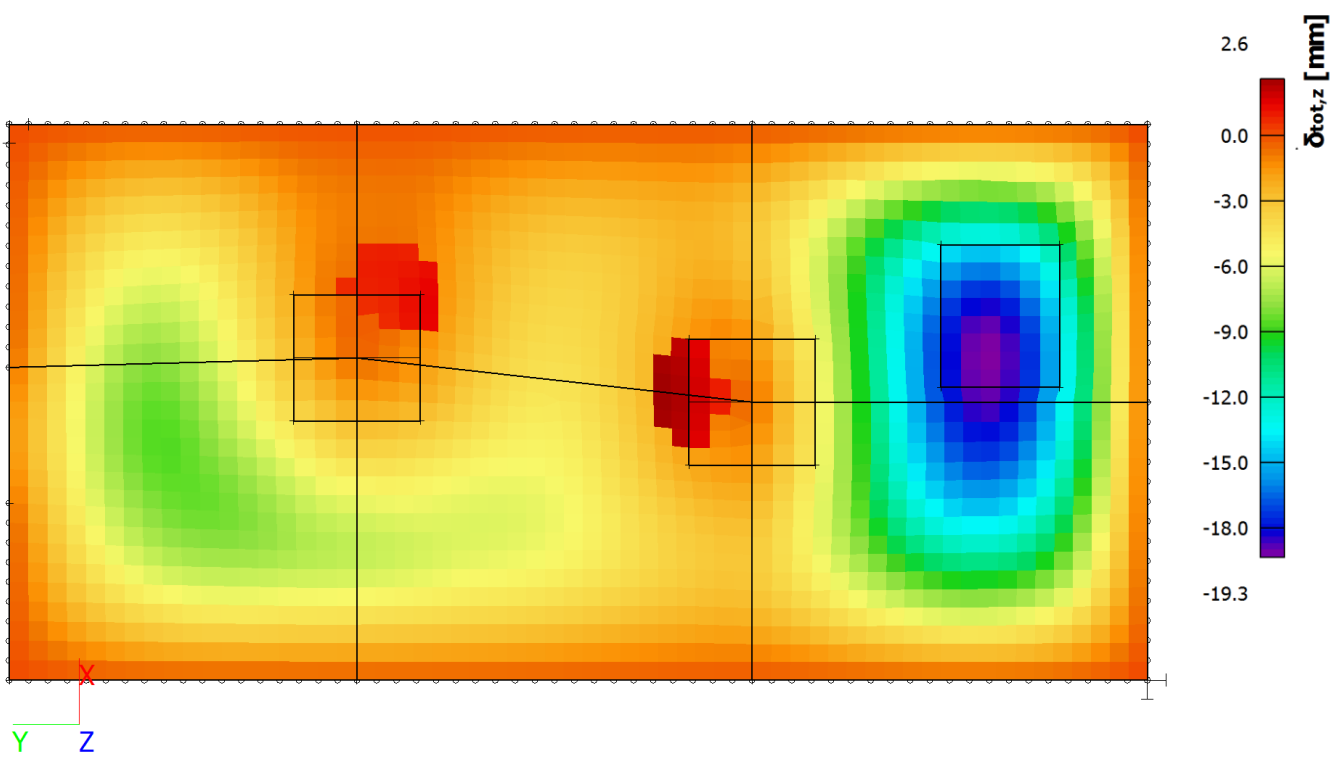
Hodnoty:  $A_s,req,2$ -  
 Lineární výpočet  
 Kombinace: MSÚ-Sada B (auto)  
 Extrém: Dílec  
 Výběr: Vše  
 Poloha: V uzlech s průměrováním na makro, Systém:  
 LSS,prvku sítě



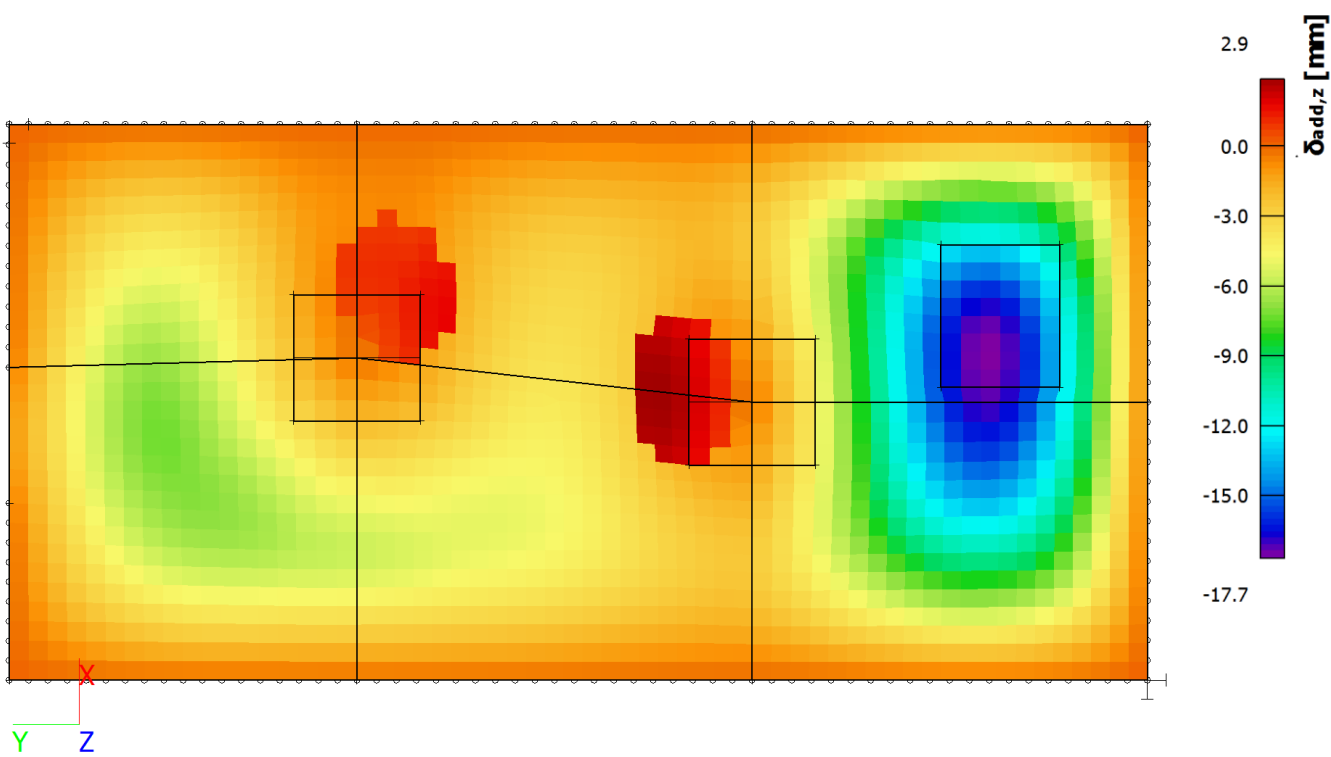
$A_s,req,1$ - [mm<sup>2</sup>/m]

$A_s,req,2$ - [mm<sup>2</sup>/m]

27. Normově závislý průhyb;  $\delta_{\text{tot}}$



28. Normově závislý průhyb;  $\delta_{\text{add}}$



## 29. Normově závislý průhyb

Lineární výpočet  
Kombinace: MSP-Kvazi (auto) Extrém: Globální

Výběr: Vše

Poloha: V těžištích. Systém: LSS prvku sítě

Složky vnitřních sil rovnoběžné se žebrem se zohlední jako nulové uvnitř efektivní šírky žebra.

Systém: LSS prvku sítě

Výběr NZP: Vše

Pro 2D dílec

Jméno	Sít'	Stav Typ výztuže	$\varphi(t,t_0)$ [-]	$\delta_{lin,z}$ [mm]	$\delta_{imm,z}$ [mm]	$\delta_{short,z}$ [mm]	$\delta_{creep,z}$ [mm]	$\delta_{add,z}$ [mm]	$\delta_{add,lim,z}$ [mm]	$\delta_{tot,z}$ [mm]	$\delta_{tot,lim,z}$ [mm]	UC [-] Posudek
S16	Prvek: 629	MSP-Kvazi (auto)/1 Nut.	2,59	-3,5	-1,7	-8,2	-11,2	-17,7	20,0	<b>-19,3</b>	24,0	0,88 OK
S18	Prvek: 724	MSP-Kvazi (auto)/1 Nut.	2,59	0,2	-0,3	0,7	1,9	2,9	20,0	<b>2,6</b>	24,0	0,14 OK

Jméno	Klíč kombinace
MSP-Kvazi (auto)/1	ZS1 + ZS2 + 0.60*ZS3 + 0.60*ZS4 + 0.80*ZS7 + 0.80*ZS8

## 30. Šířka trhlin (MSP); w-

Hodnoty: w-

Lineární výpočet

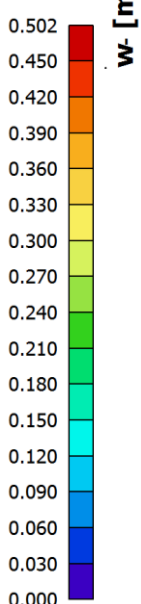
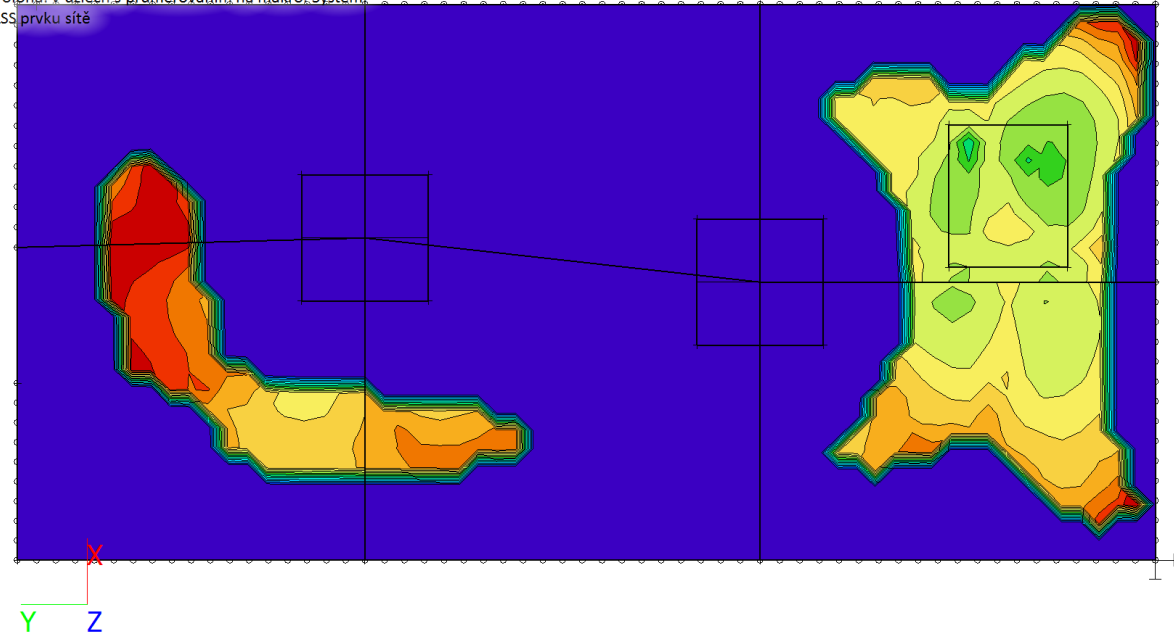
Kombinace: MSP-Kvazi (auto)

Extrém: Globální

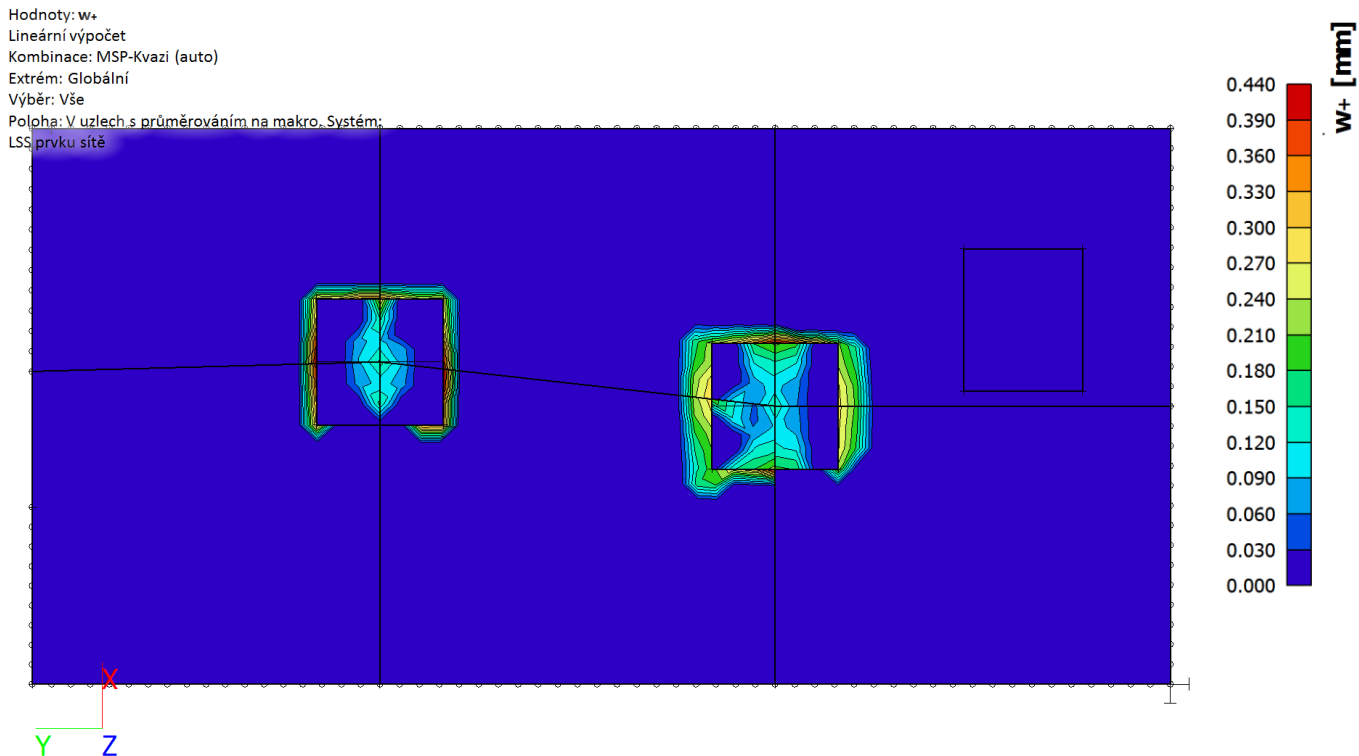
Výběr: Vše

Pořadí: V uzlech s průměrováním na makro. Systém:

LSS prvku sítě



### 31. Šířka trhlin (MSP); w+



### 32. Šířka trhlin (MSP)

Lineární výpočet  
Kombinace: MSP-Kvazi (auto)  
Extrém: Globální  
Výběr: Vše  
Položka: V uzlech s průměrováním na makro. Systém: LSS prvku sítě  
Horní povrch

Jméno	Sít'	Pozice [m]	Stav	$m_{1+}$ [kNm/m] $m_{2+}$ [kNm/m]	$n_{1+}$ [kN/m] $n_{2+}$ [kN/m]	$A_{s,1+}$ [mm <sup>2</sup> ] $A_{s,2+}$ [mm <sup>2</sup> ]	$\sigma_{s,1+}$ [MPa] $\sigma_{s,2+}$ [MPa]	$s_{r,max,1+}$ [mm] $s_{r,max,2+}$ [mm]	$\epsilon_{(sm-cm),1+}$ [1e-4] $\epsilon_{(sm-cm),2+}$ [1e-4]	$w_{1+}$ [mm] $w_{2+}$ [mm]	$w_{max+}$ [mm]	$UC_{1+}$ [-] $UC_{2+}$ [-]
S18	Prvek: 737 Uzel: 21	4,988 11,500 0,000	MSP-Kvazi (auto)/1	-28,95 -14,21	0,00 0,00	528 0	286,5 0,0	511,899 0,000	8,6 0,0	0,440 0,000	<b>0,400</b> 0,00	<b>1,10</b> 0,00
S9	Prvek: 7 Uzel: 4	4,400 6,250 0,000	MSP-Kvazi (auto)/1	-253,99 -210,03	0,00 0,00	2070 1918	277,7 249,5	131,820 131,820	11,0 9,8	0,145 0,130	0,400	0,36 <b>0,32</b>

Spodní povrch

Jméno	Sít'	Pozice [m]	Stav	$m_{1-}$ [kNm/m] $m_{2-}$ [kNm/m]	$n_{1-}$ [kN/m] $n_{2-}$ [kN/m]	$A_{s,1-}$ [mm <sup>2</sup> ] $A_{s,2-}$ [mm <sup>2</sup> ]	$\sigma_{s,1-}$ [MPa] $\sigma_{s,2-}$ [MPa]	$s_{r,max,1-}$ [mm] $s_{r,max,2-}$ [mm]	$\epsilon_{(sm-cm),1-}$ [1e-4] $\epsilon_{(sm-cm),2-}$ [1e-4]	$w_{1-}$ [mm] $w_{2-}$ [mm]	$w_{max-}$ [mm]	$UC_{1-}$ [-] $UC_{2-}$ [-]
S20	Prvek: 1207 Uzel: 1292	4,991 16,500 0,000	MSP-Kvazi (auto)/2	22,73 8,30	0,00 0,00	425 0	273,4 0,0	612,611 0,000	8,2 0,0	0,502 0,000	<b>0,400</b> 0,00	<b>1,26</b> 0,00
S16	Prvek: 621 Uzel: 686	5,202 2,324 0,000	MSP-Kvazi (auto)/2	41,88 23,23	0,00 0,00	814 440	262,6 243,5	366,393 444,262	7,9 7,3	0,289 0,325	0,400	0,72 <b>0,81</b>

Jméno	Klíč kombinace
MSP-Kvazi (auto)/1	ZS1 + ZS2
MSP-Kvazi (auto)/2	ZS1 + ZS2 + 0.60*ZS3 + 0.60*ZS4 + 0.80*ZS7 + 0.80*ZS8

## 4/ POSOUZENÍ VNITŘNÍCH SIL A DEFORMACÍ

### 4.1/ ÚNOSNOST – 1.MS

viz minimální stupeň využitění

### 4.2/ DEFORMACE – 2.MS

#### DEFORMACE CELKOVÁ - 2.MS

$L_y =$	6,25	m
$w_{tot,inst} =$	19,30	mm
$w_{tot,lim} =$	1/250	$L_y$
	$w_{tot,inst} < w_{tot,lim}$	

19,30 < 25,00 mm

VYHOVUJE

#### PŘÍDAVNÁ DEFORMACE - 2.MS

$L_y =$	6,25	m
$w_{add,inst} =$	17,70	mm
$w_{add,lim} =$	1/300	$L_y$
	$w_{add,inst} < w_{add,lim}$	

17,70 < 20,83 mm

VYHOVUJE

#### DEFORMACE PO ZABUDOVÁNÍ PŘÍČEK - 2.MS

$L_y =$	6,25	m
$w_{creep,inst} =$	11,20	mm
$w_{creep,lim} =$	15,00	mm
$w_{creep,lim} =$	1/500	$L_y$
	$w_{creep,inst} < w_{creep,lim}$	

11,20 < 12,50 mm

VYHOVUJE

## 4.3/ ŠÍŘKA TRHLIN – 2.MS

#### PŘI SPODNÍM POVRCHU

$w_{inst} =$	0,502	mm
$w_{lim} =$	0,400	mm
	$w_{inst} < w_{lim}$	

0,502 < 0,400 mm

NEVYHOVUJE

#### PŘI HORNÍM POVRCHU

$w_{inst} =$	0,440	mm
$w_{lim} =$	0,400	mm
	$w_{inst} < w_{lim}$	

0,440 < 0,400 mm

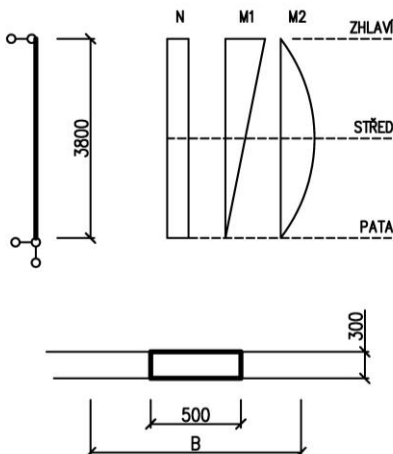
NEVYHOVUJE

	001 Projekt P 1	Strana: 1
<b>Účinky zatížení</b>		
Zatížení způsobující protlačení		
Podíl dynamického zatížení		
Součinitel excentricity zat. b	$V_{Ed} = 740 \text{ kN}$ $V_{Ed,dyn} = 0 \text{ kN}$ $\beta = 1+k \cdot M_{Ed}/V_{Ed} \cdot u_{crit}/W = 1,35$	
<b>Rozměr - Vnitřní sloup Obdélníkový průřez</b>		
Šířka sloupu	$a = 300 \text{ mm}$	
Tloušťka sloupu	$b = 300 \text{ mm}$	
Tloušťka desky	$h = 450 \text{ mm}$	
Účinná výška průřezu	$d = 409 \text{ mm}$	
Krytí horní (spodní) výztuže	$c_o; c_u = 25; 25 \text{ mm}$	
<b>Materiál</b>		
Beton	C25/30 ( $f_{ck} = 25,0 \text{ N/mm}^2$ )	
Ocel	B500 ( $f_y = 500 \text{ N/mm}^2$ )	
Stupeň vyztužení	$\rho = (\rho_x \cdot \rho_y)^{1/2} = (0,37 \cdot 0,37)^{1/2} = 0,37 \%$	
$A_{sx} = 15,3 \text{ cm}^2/\text{m} (\sim \varnothing 16/132 \text{ mm})$ ; $A_{sy} = 15,3 \text{ cm}^2/\text{m} (\sim \varnothing 16/132 \text{ mm})$		
Nad podporou je nutno umístit následující výztuž proti řetězovému zřícení:		
$V_{Ed} / 1,4 / f_y = 10,6 \text{ cm}^2$		
<b>Posouzení na protlačení dle EC2:2014 + ETA</b>		
Faktor $\kappa$	$\kappa = \min\{1+(200/d)^{1/2}; 2\} = 1,70$	
Vliv tloušťky desky	$\eta = 1+(d-200)/1000 \{\min 1,0; \max 1,6\} = 1,21$	
Faktor $C_{Rd,c}$	$C_{Rd,c} = 0,18/\gamma_c = 0,12$	
Minimální únosnost betonu	$V_{min} = (0,0525/\gamma_c) \cdot \kappa^{3/2} \cdot f_{ck}^{1/2} = 387,6 \text{ kN/m}^2$	
Únosnost betonu	$V_{Rd,c} = \max\{C_{Rd,c} \cdot \kappa \cdot (\rho \cdot f_{ck})^{1/3}; V_{min}\} = 429,3 \text{ kN/m}^2$	
<b>Okraj sloupu <math>u_0</math></b>		
Délka kontrolovaného obvodu	$u_0 = 1,200 \text{ m}$	
Únosnost betonu	$V_{Rd,c,max,u0} = 0,4 \cdot V_{Rd,c} = 3600,0 \text{ kN/m}^2$	
Únosnost betonu	$V_{Rd,c,max,u0} = V_{Rd,c,max,u0} \cdot d \cdot u_0 = 1766,9 \text{ kN}$	
<b>Kritický obvod <math>u_{crit}</math></b>		
Kritická vzdálenost	$a_{crit} = 2,0d = 818 \text{ mm}$	
Délka kontrolovaného obvodu	$u_{crit} = 6,340 \text{ m}$	
Působící posouvající síla	$V_{Ed,B} = \beta \cdot V_{Ed} = 1001,1 \text{ kN}$	
Únosnost betonu	$V_{Rd,c,crit} = V_{Rd,c} \cdot d \cdot u_{crit} = 1113,3 \text{ kN}$	
Maximální únosnost	$V_{Rd,max,crit} = V_{Rd,c,crit, (CRdc=0,11)} \cdot 1,96 = 1970,1 \text{ kN}$	
$V_{Ed,B} = 1001,1 \text{ kN} \leq V_{Rd,c,crit} = 1113,3 \text{ kN}$		
<b>Výztuž proti protlačení není nutná!</b>		
-/-	Datum: 30.3.2021	

# SVISLÉ KONSTRUKCE

## MEZIOKENNÍ PILÍŘ 1.NP ŠÍŘKY 500 MM

### 1/ GEOMETRICKÉ SCHÉMA



zatěžovací šířka  
 zatěžovací délka  
 statická výška posuzovaného pilíře  
 šířka pružku  
 tloušťka pružku

$B = 2,50$  m  
 $D = 4,60$  m  
 $L = 3,80$  m  
 $b = 0,50$  m  
 $H = 0,30$  m

### 2/ SVISLÉ ZATÍŽENÍ

#### ZHLAVÍ STĚNY:

Vlastní tíha panelů

Stálé

Užitné

Sníh

$$\begin{aligned}
 3,31 \text{kN/m}^2 * B * D * 1,35 &= 51,39 \text{ kN} \\
 ST1 * B * D * 1,35 &= 20,18 \text{ kN} \\
 Q2 * B * D * 1,5 &= 25,88 \text{ kN} \\
 S1 * B * D * 1,5 &= 20,70 \text{ kN} \\
 Nd1 &= 118,15 \text{ kN}
 \end{aligned}$$

#### ZHLAVÍ STĚNY:

Svislé zatížení:

Reakce od vrchních pater

$$N_{d1,max} = 118,15 \text{ kN}$$

#### Moment od excentricity - Y:

excentricita stropu

$$\begin{aligned}
 N_{d,strop} &= 118,15 \text{ kN} \\
 M_{y1e} = N_{d,strop} * 0,08m &= 9,45 \text{ kNm}
 \end{aligned}$$

#### Moment od větru - Y:

Vítr-tlak

Exteriér-tlak

Interiér-sání

$$\begin{aligned}
 qp(z) &= 0,85 \text{ kN/m}^2 \\
 Cpe,10 &= 0,80 \\
 Cpi,10 &= 0,30 \\
 W_{1k} = qp(z) * (Cpe+Cpei) * B &= 2,33 \text{ kN/m}^1 \\
 W_{1d} = W_{1k} * 1,5 * 0,6 &= 2,10 \text{ kN/m}^1 \\
 M_{y1w} = 1/8 * W_{1d} * L^2 &= 0,00 \text{ kN/m}
 \end{aligned}$$

#### Moment excentricity a větru - Y:

$$M_{y1} = M_{y1e} + M_{y1w} = 9,45 \text{ kN/m}$$

#### STŘEDÍ STĚNY:

$$N_{dm,max} = N_{d1,max} + L/2 * b * 3,2 * 1,35 = 122,25 \text{ kN}$$

#### Moment od excentricity - Y:

$$M_{yme} = 0,5 * M_{y1e} = 4,73 \text{ kN/m}$$

#### Moment od větru - Y:

$$\begin{aligned}
 W_{1d} &= 2,10 \text{ kN/m}^2 \\
 M_{ymw} = 1/8 * W_{1d} * L^2 &= 3,79 \text{ kN/m}
 \end{aligned}$$

#### Moment excentricity a větru - Y:

$$M_{ym} = M_{yme} + M_{ymw} = 8,52 \text{ kN/m}$$

#### PATA STĚNY:

Svislé zatížení:

$$N_{dm,max} = N_{d1,max} + L * b * 3,2 * 1,35 = \boxed{126,35} \text{ kN}$$

Moment od excentricity - Y:

$$M_{y2e} = 0 * M_{y1e} = \boxed{0,00} \text{ kN/m}$$

Moment od větru - Y:

$$W_{1d} = \boxed{2,10} \text{ kN/m}^2$$

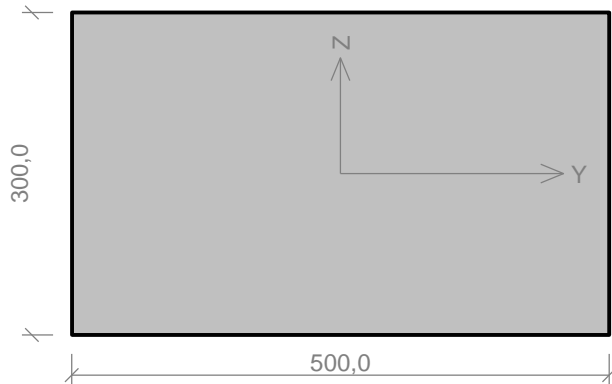
$$M_{y2w} = 1/8 * W_{1d} * L^2 = \boxed{0,00} \text{ kN/m}$$

Moment excentricity a větru - Y:  $M_{y2} = M_{y2e} + M_{y2w} = \boxed{0,00} \text{ kN/m}$

### 3/ VÝPOČET A POSOUZENÍ VNITŘNÍCH SIL

#### 1.1 Vstupní data

Průřez



#### Materiál

Název: Zdivo pálené P15 - Malta pro tenké spáry

Pevnost v tlaku  $f_k = 4,66 \text{ MPa}$

Pevnost ve smyku  $f_{vko} = 0,3 \text{ MPa}$

Pevnost v tahu za ohybu okolo vodorovné osy  $f_{xk1} = 0,15 \text{ MPa}$

Pevnost v tahu za ohybu okolo svislé osy  $f_{xk2} = 0,15 \text{ MPa}$

Dílčí součinitel materiálu  $\gamma_M = 2$

Součinitel dotvarování  $\varphi_\infty = 1$

Objemová hmotnost  $\rho = 1 065 \text{ kg/m}^3$

#### Vnitřní síly

č.	Název zatěžovacího případu	$N_{Ed}$ [kN]	$M_{Edy}$ [kNm]	$M_{Edz}$ [kNm]	$V_{Edz}$ [kN]	$V_{Edy}$ [kN]	Typ
1	Zat. případ 1	-118,20	9,50	0,00	0,00	0,00	Hlava
		-122,30	8,50	0,00	0,00	0,00	Střed
		-126,40	0,00	0,00	0,00	0,00	Pata

#### Vzpěr

Typ výpočtu: Imperfekce a vzpěr řešeny samostatně ve směru os

Vzpěrná délka Y:  $3,800 \times 1,00 = 3,800\text{m}$

Vzpěrná délka Z:  $3,800 \times 1,00 = 3,800\text{m}$

#### 1.2 Výsledky

##### Mezní stav únosnosti

Štíhlost prvku  $h_{ef}/t_{ef} = 12,67 \leq 27 \Rightarrow \text{Vyhovuje}$

č.	Název	$N_{Ed}$	$M_{Edy}$	$M_{Edz}$	$V_{Edz}$	$V_{Edy}$	Využití	Posouzení
		$N_{Rd}$	$M_{Rdy}$	$M_{Rdz}$	$V_{Rdz}$	$V_{Rdy}$		
		[kN]	[kNm]	[kNm]	[kN]	[kN]		
1	Zat. případ 1 - Hlava	-118,20	9,50	0,00	0,00	0,00	82,9 %	Vyhovuje
		-142,55	-	-	36,06	0,00		
	Zat. případ 1 - Střed	-122,30	8,50	0,00	0,00	0,00	99,7 %	Vyhovuje
	Zat. případ 1 - Pata	-122,65	-	-	38,54	0,00	40,2 %	Vyhovuje
		-126,40	0,00	0,00	0,00	0,00		
		-314,53	-	-	47,78	0,00		

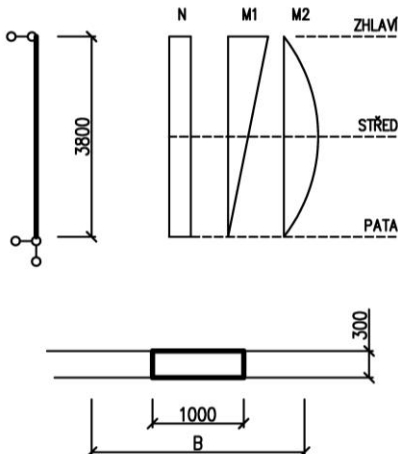
Mezní stav únosnosti - Vyhovuje - 99,7 %

Celkové posouzení - Průřez Vyhovuje

Využití průřezu: 99,7 %

## MEZIOKENNÍ PILÍŘ 1.NP ŠÍŘKY 500 MM

### 1/ GEOMETRICKÉ SCHÉMA



zatěžovací šířka  
zatěžovací délka  
statická výška posuzovaného pilíře  
šířka pružku  
tloušťka pružku

B = 3,00 m  
D = 4,60 m  
L = 3,80 m  
b = 1,00 m  
H = 0,30 m

### 2/ SVISLÉ ZATÍŽENÍ

#### ZHLAVÍ STĚNY:

Vlastní tíha panelů

Stálé

Užitné

Sníh

$$\begin{aligned} 3,31 \text{ kN/m}^2 * B * D * 1,35 &= 61,67 \text{ kN} \\ ST1 * B * D * 1,35 &= 24,22 \text{ kN} \\ Q2 * B * D * 1,5 &= 31,05 \text{ kN} \\ S1 * B * D * 1,5 &= 24,84 \text{ kN} \\ Nd1 &= 141,77 \text{ kN} \end{aligned}$$

#### ZHLAVÍ STĚNY:

Svislé zatížení:

Reakce od vrchních patér

$$N_{d1,max} = 141,77 \text{ kN}$$

#### Moment od excentricity - Y:

excentricita stropu

$$\begin{aligned} N_{d,strop} &= 141,77 \text{ kN} \\ M_{y1e} = N_{d,strop} * 0,08m &= 11,34 \text{ kNm} \end{aligned}$$

#### Moment od větru - Y:

Vítr-tlak

Exteriér-tlak

Interiér-sání

$$\begin{aligned} qp(z) &= 0,85 \text{ kN/m}^2 \\ Cpe,10 &= 0,80 \\ Cpi,10 &= 0,30 \\ W_{1k} = qp(z) * (Cpe+Cpei) * B &= 2,80 \text{ kN/m}^1 \\ W_{1d} = W_{1k} * 1,5 * 0,6 &= 2,52 \text{ kN/m}^1 \\ M_{y1w} = 1/8 * W_{1d} * L^2 &= 0,00 \text{ kNm} \end{aligned}$$

Moment excentricity a větru - Y:

$$M_{y1} = M_{y1e} + M_{y1w} = \boxed{11,34} \text{ kN/m}$$

### STŘEDÍ STĚNY:

$$N_{dm,max} = N_{d1,max} + L/2 * b * 3,2 * 1,35 = \boxed{149,98} \text{ kN}$$

Moment od excentricity - Y:

$$M_{yme} = 0,5 * M_{y1e} = \boxed{5,67} \text{ kN/m}$$

Moment od větru - Y:

$$\begin{aligned} W_{1d} &= \boxed{2,52} \text{ kN/m}^2 \\ M_{ymw} &= 1/8 * W_{1d} * L^2 = \boxed{4,55} \text{ kN/m} \end{aligned}$$

Moment excentricity a větru - Y:

$$M_{ym} = M_{yme} + M_{ymw} = \boxed{10,22} \text{ kN/m}$$

### PATA STĚNY:

Svislé zatížení:

$$N_{dm,max} = N_{d1,max} + L * b * 3,2 * 1,35 = \boxed{158,19} \text{ kN}$$

Moment od excentricity - Y:

$$M_{y2e} = 0 * M_{y1e} = \boxed{0,00} \text{ kN/m}$$

Moment od větru - Y:

$$\begin{aligned} W_{1d} &= \boxed{2,52} \text{ kN/m}^2 \\ M_{y2w} &= 1/8 * W_{1d} * L^2 = \boxed{0,00} \text{ kN/m} \end{aligned}$$

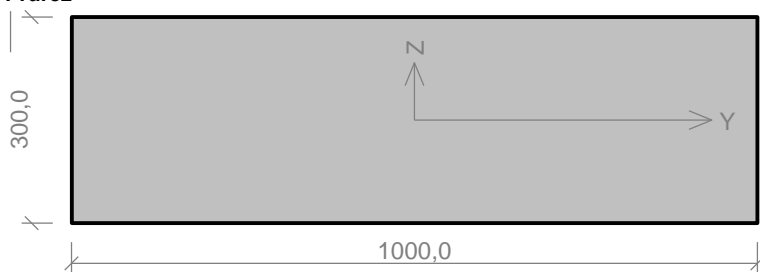
Moment excentricity a větru - Y:

$$M_{y2} = M_{y2e} + M_{y2w} = \boxed{0,00} \text{ kN/m}$$

## 3/ VÝPOČET A POSOUZENÍ VNITŘNÍCH SIL

### 1.1 Vstupní data

Průřez



#### Materiál

Název: Zdivo pálené P15 - Malta pro tenké spáry

Pevnost v tlaku  $f_k = 4,66 \text{ MPa}$

Pevnost ve smyku  $f_{vko} = 0,3 \text{ MPa}$

Pevnost v tahu za ohybu okolo vodorovné osy  $f_{xk1} = 0,15 \text{ MPa}$

Pevnost v tahu za ohybu okolo svislé osy  $f_{xk2} = 0,15 \text{ MPa}$

Dlžší součinitel materiálu  $\gamma_M = 2$

Součinitel dotvarování  $\varphi_\infty = 1$

Objemová hmotnost  $\rho = 1 065 \text{ kg/m}^3$

#### Vnitřní síly

č.	Název zatěžovacího případu	$N_{Ed}$ [kN]	$M_{Edy}$ [kNm]	$M_{Edz}$ [kNm]	$V_{Edz}$ [kN]	$V_{Edy}$ [kN]	Typ
1	Zat. případ 1	-142,00	11,35	0,00	0,00	0,00	Hlava
		-150,00	10,20	0,00	0,00	0,00	Střed
		-158,20	0,00	0,00	0,00	0,00	Pata

#### Vzpěr

Typ výpočtu: Imperfekce a vzpěr řešeny samostatně ve směru os

Vzpěrná délka Y:  $3,800 \times 1,00 = 3,800\text{m}$

Vzpěrná délka Z:  $3,800 \times 1,00 = 3,800\text{m}$

### 1.2 Výsledky

#### Mezní stav únosnosti

Štíhlosť prvku  $h_{ef}/t_{ef} = 12,67 \leq 27 \Rightarrow$  Vyhovuje

č.	Název	$N_{Ed}$	$M_{Edy}$	$M_{Edz}$	$V_{Edz}$	$V_{Edy}$	Využití	Posouzení
		$N_{Rd}$	$M_{Rdy}$	$M_{Rdz}$	$V_{Rdz}$	$V_{Rdy}$		
		[kN]	[kNm]	[kNm]	[kN]	[kN]		
1	Zat. případ 1 - Hlava	-142,00	11,35	0,00	0,00	0,00	49,4 %	Vyhovuje
		-287,16	-	-	57,46	0,00		
	Zat. případ 1 - Střed	-150,00	10,20	0,00	0,00	0,00	59,4 %	Vyhovuje
		-252,53	-	-	62,03	0,00		
	Zat. případ 1 - Pata	-158,20	0,00	0,00	0,00	0,00	25,1 %	Vyhovuje
		-629,07	-	-	76,64	0,00		

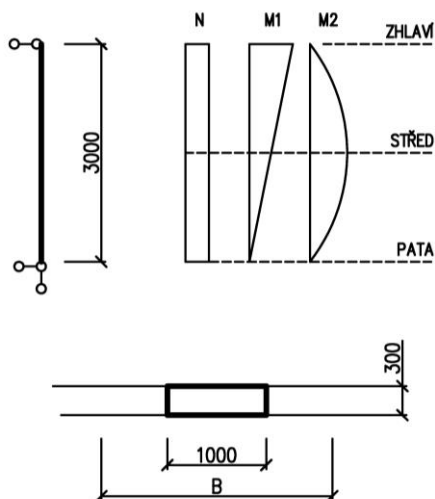
Mezní stav únosnosti - Vyhovuje - 59,4 %

Celkové posouzení - Průřez Vyhovuje

Využití průřezu: 59,4 %

## MEZIOKENNÍ PILÍŘ 1.NP ŠÍŘKY 500 MM

### 1/ GEOMETRICKÉ SCHÉMA



zatěžovací šířka  
zatěžovací délka  
statická výška posuzovaného pilíře  
šířka pružku  
tloušťka pružku

B = 3,00 m  
D = 4,60 m  
L = 3,00 m  
b = 1,00 m  
H = 0,30 m

### 2/ SVISLÉ ZATÍŽENÍ

#### ZHLAVÍ STĚNY:

Vlastní tíha panelů

Stálé

Užitné

Sníh

Stěna v 1.NP

Reakce od stropní desky nad 1.PP

$$\begin{aligned}
 3,31 \text{kN/m}^2 * B * D * 1,35 &= 61,67 \text{ kN} \\
 ST1 * B * D * 1,35 &= 24,22 \text{ kN} \\
 Q2 * B * D * 1,5 &= 31,05 \text{ kN} \\
 S1 * B * D * 1,5 &= 24,84 \text{ kN} \\
 3,8 \text{m} * 1,0 \text{m} * 3,2 \text{kN/m}^2 * 1,35 &= 16,42 \text{ kN} \\
 &\quad 46,00 \text{ kN} \\
 Nd1 &= 204,19 \text{ kN}
 \end{aligned}$$

#### ZHLAVÍ STĚNY:

##### Svislé zatížení:

Reakce od vrchních patér

$$N_{d1,max} = 204,19 \text{ kN}$$

##### Moment od excentricity - Y:

excentricita stropu

$$\begin{aligned}
 N_{d,strop} &= 46,00 \text{ kN} \\
 M_{y1e} = N_{d,strop} * 0,05 \text{m} &= 2,30 \text{ kNm}
 \end{aligned}$$

##### Moment od větru - Y:

Vítr-tlak

$$qp(z) = 0,85 \text{ kN/m}^2$$

Exteriér-tlak  
Interiér-sání

Cpe,10 =	0,80
Cpi,10 =	0,30
$W_{1k} = qp(z) * (Cpe+Cpei)*B =$	2,80 kN/m <sup>1</sup>
$W_{1d} = W_{1k} * 1,5 * 0,6 =$	2,52 kN/m <sup>1</sup>
$M_{y1w} = 1/8 * W_{1d} * L^2 =$	0,00 kN/m

Moment excentricity a větru - Y:

$$M_{y1} = M_{y1e} + M_{y1w} = 2,30 \text{ kN/m}$$

### STŘEDÍ STĚNY:

$$N_{dm,max} = N_{d1,max} + L/2 * b * 3,2 * 1,35 = 210,67 \text{ kN}$$

Moment od excentricity - Y:

$$M_{yme} = 0,5 * M_{y1e} = 1,15 \text{ kN/m}$$

Moment od větru - Y:

$$\begin{aligned} W_{1d} &= 2,52 \text{ kN/m}^2 \\ M_{ymw} = 1/8 * W_{1d} * L^2 &= 2,84 \text{ kN/m} \end{aligned}$$

Moment excentricity a větru - Y:

$$M_{ym} = M_{yme} + M_{ymw} = 3,99 \text{ kN/m}$$

### PATA STĚNY:

Svislé zatížení:

$$N_{dm,max} = N_{d1,max} + L * b * 3,2 * 1,35 = 217,15 \text{ kN}$$

Moment od excentricity - Y:

$$M_{y2e} = 0 * M_{y1e} = 0,00 \text{ kN/m}$$

Moment od větru - Y:

$$\begin{aligned} W_{1d} &= 2,52 \text{ kN/m}^2 \\ M_{y2w} = 1/8 * W_{1d} * L^2 &= 0,00 \text{ kN/m} \end{aligned}$$

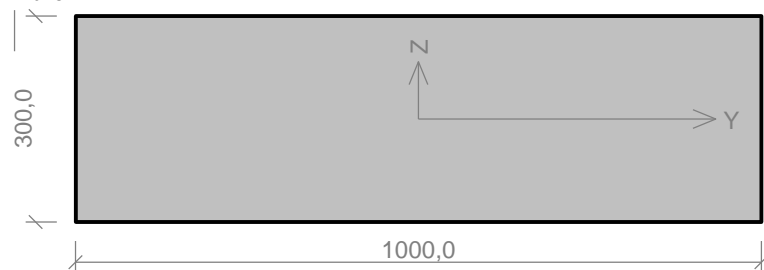
Moment excentricity a větru - Y:

$$M_{y2} = M_{y2e} + M_{y2w} = 0,00 \text{ kN/m}$$

## 3/ VÝPOČET A POSOUZENÍ VNITŘNÍCH SIL

### 1.1 Vstupní data

Průřez



#### Materiál

Název: Zdivo pálené P15 - Malta pro tenké spáry

Pevnost v tlaku  $f_k = 4,66 \text{ MPa}$

Pevnost ve smyku  $f_{vko} = 0,3 \text{ MPa}$

Pevnost v tahu za ohybu okolo vodorovné osy  $f_{xk1} = 0,15 \text{ MPa}$

Pevnost v tahu za ohybu okolo svislé osy  $f_{xk2} = 0,15 \text{ MPa}$

Dílčí součinitel materiálu  $\gamma_M = 2$

Součinitel dotvarování  $\varphi_\infty = 1$

Objemová hmotnost  $\rho = 1 065 \text{ kg/m}^{-3}$

#### Vnitřní síly

č.	Název zatěžovacího případu	$N_{Ed}$ [kN]	$M_{Edy}$ [kNm]	$M_{Edz}$ [kNm]	$V_{Edz}$ [kN]	$V_{Edy}$ [kN]	Typ
1	Zat. případ 1	-204,20	2,30	0,00	0,00	0,00	Hlava
		-210,67	4,00	0,00	0,00	0,00	Střed
		-217,14	0,00	0,00	0,00	0,00	Pata

#### Vzpěr

Typ výpočtu: Imperfekce a vzpěr řešeny samostatně ve směru os

Vzpěrná délka Y:  $3,000 \times 1,00 = 3,000\text{m}$

Vzpěrná délka Z:  $3,000 \times 1,00 = 3,000\text{m}$

## 1.2 Výsledky

### Mezní stav únosnosti

Štíhlosť prvku  $h_{\text{ef}}/t_{\text{ef}} = 10 \leq 27 \Rightarrow \text{Vyhovuje}$

č.	Název	$N_{\text{Ed}}$	$M_{\text{Edy}}$	$M_{\text{Edz}}$	$V_{\text{Edz}}$	$V_{\text{Edy}}$	Využití	Posouzení
		$N_{\text{Rd}}$	$M_{\text{Rdy}}$	$M_{\text{Rdz}}$	$V_{\text{Rdz}}$	$V_{\text{Rdy}}$		
		[kN]	[kNm]	[kNm]	[kN]	[kN]		
1	Zat. případ 1 - Hlava	-204,20	2,30	0,00	0,00	0,00	33,2 %	Vyhovuje
		-615,41	-	-	85,84	0,00		
	Zat. případ 1 - Střed	-210,67	4,00	0,00	0,00	0,00	39,4 %	Vyhovuje
		-534,45	-	-	87,13	0,00		
	Zat. případ 1 - Pata	-217,14	0,00	0,00	0,00	0,00	34,5 %	Vyhovuje
		-629,07	-	-	88,43	0,00		

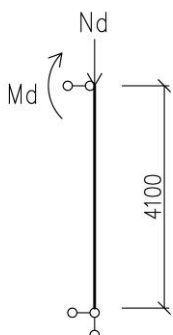
Mezní stav únosnosti - Vyhovuje - 39,4 %

Celkové posouzení - Průřez Vyhovuje

Využití průřezu: 39,4 %

## ŽB SLOUPY V 1.PP

### 1/ GEOMETRICKÉ SCHÉMA



statická výška posuzovaného pilíře

šířka průřezu

tloušťka průřezu

$$L = 4,10 \text{ m}$$

$$b = 0,30 \text{ m}$$

$$H = 0,30 \text{ m}$$

### 2/ SVISLÉ ZATÍŽENÍ

#### 1.ZS Vlastní hmotnost (návrhové hodnoty)

VL. Tíha žb sloupu

$$L^*H*b*25\text{kN}/\text{m}^3*1,35 = 12,45 \text{ kN}$$

$$G11 = 12,45 \text{ kN}$$

#### 2. ZS Ostatní (návrhové hodnoty)

Reakce od ŽB desky

$$G12 = 740,00 \text{ kN}$$

$$G12 = 740,00 \text{ kN}$$

### 3/ VÝPOČET VNITŘNÍCH SIL

#### Základní návrhové síly:

Osová síla

$$F_d = G11*H+G12 = 752,45 \text{ kN}$$

Moment od excentricity - Y:

$$M_{y1,d} = F_d * 0,02\text{m} = 15,05 \text{ kNm}$$

Moment od excentricity - Z:

$$M_{z1,d} = F_d * 0,02\text{m} = 15,05 \text{ kNm}$$

#### Charakteristické síly:

Osová síla

$$F_k = 570,23 \text{ kN}$$

Moment od excentricity - Y:

$$M_{y1,k} = F_k * 0,02\text{m} = 11,40 \text{ kNm}$$

Moment od excentricity - Z:

$$M_{z1,d} = F_k * 0,02m = 11,40 \text{ kNm}$$

**Kvazistálé síly:**

Osová síla

$$F_{kv} = 497,23 \text{ kN}$$

Moment od excentricity - Y:

$$M_{y1,d} = F_{kv} * 0,02m = 9,94 \text{ kNm}$$

Moment od excentricity - Z:

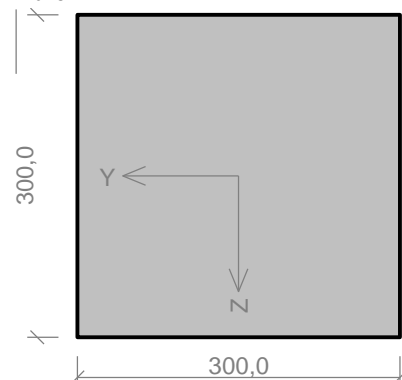
$$M_{z1,d} = F_{kv} * 0,02m = 9,94 \text{ kNm}$$

**4/ POSOUZENÍ VNITŘNÍCH SIL****1.1 Vstupní data**

Typ pravu: sloup

Prostředí: XC1

Délka dílce: 4,10m

**Průřez****Materiály****Beton: C 25/30** $f_{ck} = 25,0 \text{ MPa}; f_{ctm} = 2,6 \text{ MPa}; E_{cm} = 31000 \text{ MPa}$ **Ocel podélná: B500B** $f_{yk} = 500,0 \text{ MPa}; E_s = 200000 \text{ MPa}$ **Ocel příčná: B500** $f_{yk} = 500,0 \text{ MPa}; E_s = 200000 \text{ MPa}$ **Vnitřní síly - základní návrhová (MSÚ)**

č.	Název zatěžovacího případu	$N_{Ed}$ [kN]	$M_{Edy}$ [kNm]	$M_{Edz}$ [kNm]	$V_{Edz}$ [kN]	$V_{Edy}$ [kN]	$T_{Ed}$ [kNm]	QP koef. [-]
1	Zat. případ 1	-752,50	15,00	15,00	0,00	0,00	0,00	1,000

**Vnitřní síly - charakteristická (MSP)**

č.	Název zatěžovacího případu	$N_{Ed}$ [kN]	$M_{Edy}$ [kNm]	$M_{Edz}$ [kNm]	QP koef. [-]
1	Zat. případ 2	-570,20	11,40	11,40	1,000

**Vnitřní síly - kvazistálá (MSP)**

č.	Název zatěžovacího případu	$N_{Ed}$ [kN]	$M_{Edy}$ [kNm]	$M_{Edz}$ [kNm]
1	Zat. případ 3	-497,20	10,00	10,00

**Vzpěr**

Délka pravu [m]	Koef. vzpěru [-]	Vzpěrná délka [m]	Kolmo k ose
4,10	1,00	4,10	Y
4,10	1,00	4,10	Z

**Podélná výztuž**

Počet	Profil [mm]	Krytí [mm]	Umístění
3	16	31,0	horní výztuž
2	16	142,0	horní výztuž

Počet	Profil [mm]	Krytí [mm]	Umístění
3	16	31,0	dolní výztuž
			3x16-kr.31,0
			2x16-kr.142,0
			3x16-kr.31,0

S tlačenou výztuží je počítáno.

### Smyková výztuž

#### Obvodové třmínky

Profil: 6 mm; Vzdálenost: 200,0 mm

#### Minimální krytí

31,0 mm (uživ.)

## 1.2 Výsledky

#### Posouzení min. a max. stupně využitění

Sloup (celková výztuž):

$$\rho_s = 0,0179 \geq \rho_{s,min} = 0,002 \Rightarrow \text{Vyhovuje}$$

$$\rho_s = 0,0179 \leq \rho_{s,max} = 0,04 \Rightarrow \text{Vyhovuje}$$

#### Posouzení konstrukčních zásad třmínek

Minimální průměr třmínek  $d = 6 \text{ mm} \Rightarrow \text{Vyhovuje}$

Maximální vzdálenost třmínek  $s_{cl,max} = 240,0 \text{ mm} \Rightarrow \text{Vyhovuje}$

#### Posouzení mezního stavu únosnosti

č.	Název	$N_{Ed}$ $N_{Rd}$ [kN]	$M_{Edy}$ $M_{Rdy}$ [kNm]	$M_{Edz}$ $M_{Rdz}$ [kNm]	$V_{Edz}$ $V_{Rdz}$ [kN]	$V_{Edy}$ $V_{Rdy}$ [kN]	Využití [%]	Posouzení
1	Zat. případ 1	-752,50	15,00 → 52,79	15,00 → 52,79	0,00	0,00	83,7	Vyhovuje
		-2143,40	63,05	63,05	0,00	0,00		

Mezní stav únosnosti **VYHOVUJE - 83,7 %**

#### Posouzení mezního stavu použitelnosti

#### Mezní stav omezení napětí

č.	Název	$N_{Ed}$ [kN]	$M_{Edy}$ [kNm]	$M_{Edz}$ [kNm]	$\sigma_c$ [MPa]	$\sigma_{s,max}$ [MPa]	$\sigma_{s,min}$ [MPa]	Využití [%]	Posouzení
1	Zat. případ 2	-570,20	11,40 → 42,62	11,40 → 42,62	27,73	94,97	138,00	23,7	Vyhovuje
Limitní hodnoty $k_3 \times f_y$									

#### Mezní stav omezení šířky trhlin

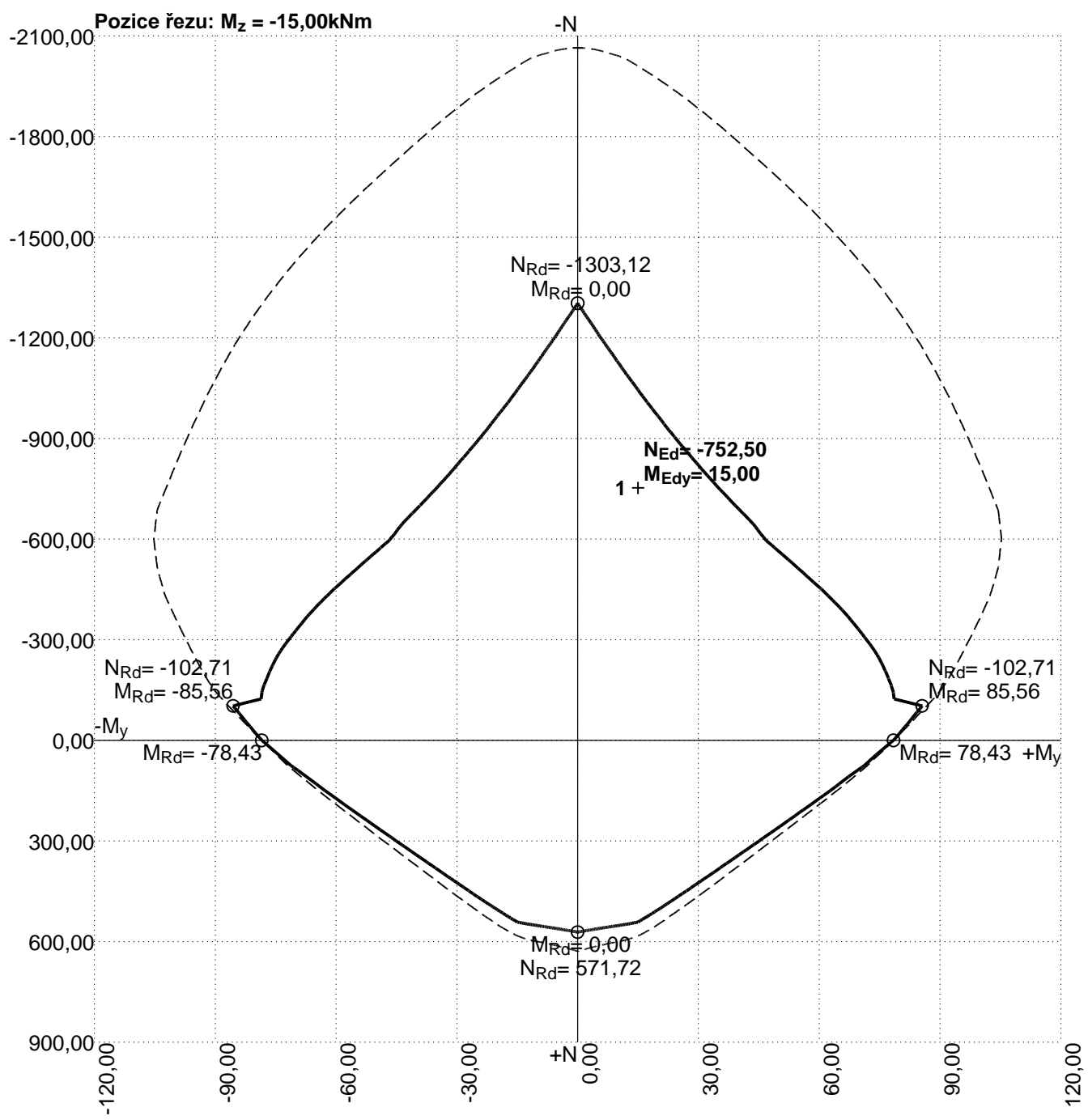
č.	Název	$N_{Ed}$ [kN]	$M_{Edy}$ [kNm]	$M_{Edz}$ [kNm]	$\Delta\epsilon$ [-]	$s_{r,max}$ [m]	w [mm]	Využití [%]	Posouzení
1	Zat. případ 3	-497,20	10,00 → 37,22	10,00 → 37,22	$286 \cdot 10^{-6}$	0,142	0,041	10,1	Vyhovuje
Maximální povolená šířka $w_{max}$									

Mezní stav použitelnosti **VYHOVUJE - 23,7 %**

#### Celkové posouzení - Průřez **VYHOVUJE**

Využití: 83,7 %

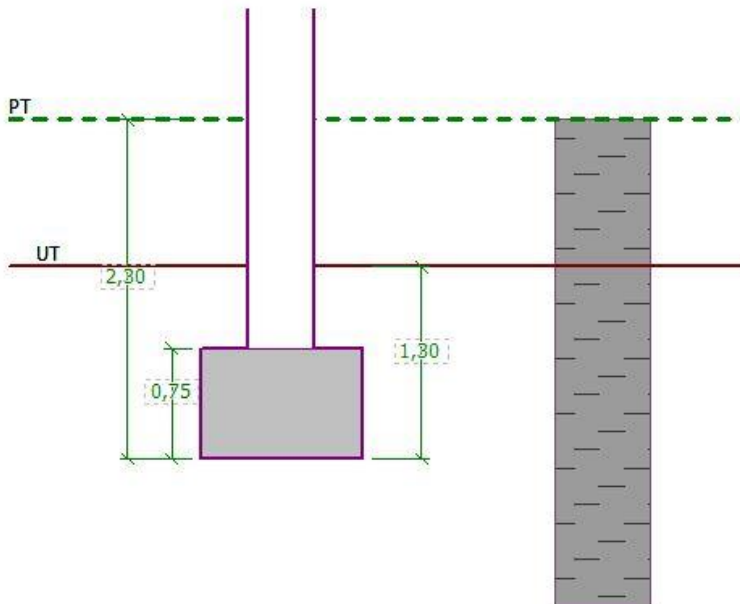
#### Interakční diagram N-M<sub>y</sub>



# ZÁKLADOVÉ KONSTRUKCE

## ZÁKLADOVÝ PAS POD OBVODOVÉ ZDIVO

### 1/ GEOMETRICKÉ SCHÉMA



### 2/ VÝPOČET A POSOUZENÍ VNITŘNÍCH SIL A DEFORMACÍ

#### **Posouzení plošného základu**

##### **Vstupní data**

###### **Projekt**

Datum : 18.3.2021

###### **Nastavení**

Standardní - EN 1997 - DA2

###### **Materiály a normy**

Betonové konstrukce : EN 1992-1-1 (EC2)

Součinitele EN 1992-1-1 : standardní

###### **Sedání**

Metoda výpočtu : ČSN 73 1001 (Výpočet pomocí edometrického modulu)

Omezení deformační zóny : procentem Sigma,Or

Koef. omezení deformační zóny : 10,0 [%]

###### **Patky**

Výpočet pro odvodněné podmínky : EC 7-1 (EN 1997-1:2003)

Posouzení tažené patky : standardní postup

Dovolená excentricita : 0,333

Metodika posouzení : výpočet podle EN 1997

Návrhový přístup : 2 - redukce zatížení a odporu

Součinitel redukce zatížení (F)			
Trvalá návrhová situace			
		Nepříznivé	Příznivé
Stálé zatížení :	$\gamma_G =$	1,35 [-]	1,00 [-]
Součinitel redukce odporu (R)			
Trvalá návrhová situace			
Součinitel redukce svíslé únosnosti :		$\gamma_{Rvs} =$	1,40 [-]

Součinitele redukce odporu (R)							
Trvalá návrhová situace							
Součinitel redukce vodorovné únosnosti :				$\gamma_{Rhs} =$		1,10	[--]

#### Základní parametry zemin

Číslo	Název	Vzorek	$\phi_{ef}$ [°]	$c_{ef}$ [kPa]	$\gamma$ [kN/m <sup>3</sup> ]	$\gamma_{su}$ [kN/m <sup>3</sup> ]	$\delta$ [°]
1	Třída F5, konzistence tuhá		21,00	12,00	20,00	10,00	

Pro výpočet tlaku v klidu jsou všechny zeminy zadány jako nesoudržné.

#### Parametry zemin

##### Třída F5, konzistence tuhá

Objemová těža :  $\gamma = 20,00 \text{ kN/m}^3$

Úhel vnitřního tření :  $\phi_{ef} = 21,00^\circ$

Soudržnost zeminy :  $c_{ef} = 12,00 \text{ kPa}$

Edometrický modul :  $E_{oed} = 8,50 \text{ MPa}$

Obj.těha sat.zeminy :  $\gamma_{sat} = 20,00 \text{ kN/m}^3$

#### Založení

##### Typ základu: základový pas

Hloubka od původního terénu  $h_z = 2,30 \text{ m}$

Hloubka základové spáry  $d = 1,30 \text{ m}$

Tloušťka základu  $t = 0,75 \text{ m}$

Sklon upraveného terénu  $s_1 = 0,00^\circ$

Sklon základové spáry  $s_2 = 0,00^\circ$

#### Nadloží

Typ: zadat objemovou těžu

Objemová těža zeminy nad základem =  $20,00 \text{ kN/m}^3$

#### Geometrie konstrukce

##### Typ základu: základový pas

Celková délka pasu =  $20,00 \text{ m}$

Šířka pasu (x) =  $1,10 \text{ m}$

Šířka sloupku ve směru x =  $0,45 \text{ m}$

Zadané zatížení je uvažováno na 1bm délky pasu.

Objem pasu =  $0,82 \text{ m}^3/\text{m}$

Objem výkopu =  $1,43 \text{ m}^3/\text{m}$

Objem zásypu =  $0,36 \text{ m}^3/\text{m}$

#### Materiál konstrukce

Objemová těža  $\gamma = 23,00 \text{ kN/m}^3$

Výpočet betonových konstrukcí proveden podle normy EN 1992-1-1 (EC2).

#### Beton: C 20/25

Válcová pevnost v tlaku  $f_{ck} = 20,00 \text{ MPa}$

Pevnost v tahu  $f_{ctm} = 2,20 \text{ MPa}$

Modul pružnosti  $E_{cm} = 30000,00 \text{ MPa}$

#### Ocel podélná: B500

Mez kluzu  $f_{yk} = 500,00 \text{ MPa}$

#### Ocel příčná: B500

Mez kluzu  $f_{yk} = 500,00 \text{ MPa}$

#### Geologický profil a přiřazení zemin

Číslo	Mocnost vrstvy t [m]	Hloubka z [m]	Přiřazená zemina	Vzorek
1	-	0,00 .. $\infty$	Třída F5, konzistence tuhá	

#### Zatížení

Číslo	Zatížení		Název	Typ	N [kN/m]	M <sub>y</sub> [kNm/m]	H <sub>x</sub> [kN/m]
	nové	změna					
1	Ano		Zatížení č. 1	Návrhové	217,20	0,00	0,00
2	Ano		Zatížení č. 1 - provozní	Užitné	167,08	0,00	0,00

#### Celkové nastavení výpočtu

Typ výpočtu : výpočet pro odvodněné podmínky

#### Nastavení výpočtu fáze

Návrhová situace : trvalá

#### Posouzení čís. 1

##### Posouzení zatěžovacích stavů

Název	Vl. tíha příznivě	e <sub>x</sub> [m]	e <sub>y</sub> [m]	σ [kPa]	R <sub>d</sub> [kPa]	Využití [%]	Vyhovuje
Zatížení č. 1	Ano	0,00	0,00	221,20	308,59	71,68	Ano
Zatížení č. 1	Ne	0,00	0,00	229,52	308,59	74,38	Ano

Výpočet proveden s automatickým výběrem nejnepříznivějších zatěžovacích stavů.

Spočtená vlastní tíha pasu G = 25,62 kN/m

Spočtená tíha nadloží Z = 9,65 kN/m

##### Posouzení svislé únosnosti

Tvar kontaktního napětí : obdélník

Nejnepříznivější zatěžovací stav číslo 1. (Zatížení č. 1)

Parametry smykové plochy pod základem:

Hloubka smykové plochy z<sub>sp</sub> = 1,32 m

Dosah smykové plochy l<sub>sp</sub> = 3,48 m

Výpočtová únosnost zákl. půdy R<sub>d</sub> = 308,59 kPa

Extrémní kontaktní napětí σ = 229,52 kPa

#### Svislá únosnost VYHOVUJE

##### Posouzení excentricity zatížení

Max. excentricita ve směru délky patky e<sub>x</sub> = 0,000<0,333

Max. excentricita ve směru šířky patky e<sub>y</sub> = 0,000<0,333

Max. prostorová excentricita e<sub>t</sub> = 0,000<0,333

#### Excentricita zatížení základu VYHOVUJE

##### Posouzení vodorovné únosnosti

Nejnepříznivější zatěžovací stav číslo 1. (Zatížení č. 1)

Zemní odpor: klidový

Výpočtová velikost zemního odporu S<sub>pd</sub> = 8,90 kN

Horizontální únosnost základu R<sub>dh</sub> = 105,01 kN

Extrémní horizontální síla H = 0,00 kN

#### Vodorovná únosnost VYHOVUJE

##### Únosnost základu VYHOVUJE

#### Posouzení čís. 1

##### Sednutí a natočení základu - vstupní data

Výpočet proveden s automatickým výběrem nejnepříznivějších zatěžovacích stavů.

Výpočet proveden s uvažováním koeficientu κ<sub>1</sub> (vliv hloubky založení).

Napětí v základové spáře uvažováno od upraveného terénu.

Spočtená vlastní tíha pasu G = 18,98 kN/m

Spočtená tíha nadloží Z = 7,15 kN/m

Sednutí středu délkové hrany = 11,5 mm

Sednutí středu šířkové hrany 1 = 22,1 mm

Sednutí středu šířkové hrany 2 = 22,1 mm

(1-hrana max.tlačená; 2-hrana min.tlačená)

##### Sednutí a natočení základu - výsledky

**Tuhost základu:**

Spočtený vážený průměrný modul přetvárnosti  $E_{def} = 3,97 \text{ MPa}$

Základ je ve směru délky tuhý ( $k=2397,18$ )

Základ je ve směru šířky tuhý ( $k=3190,65$ )

**Posouzení excentricity zatížení**

Max. excentricita ve směru délky patky  $e_x = 0,000 < 0,333$

Max. excentricita ve směru šířky patky  $e_y = 0,000 < 0,333$

Max. prostorová excentricita  $e_t = 0,000 < 0,333$

**Excentricita zatížení základu VYHOVUJE****Celkové sednutí a natočení základu:**

Sednutí základu = 22,6 mm

Hloubka deformační zóny = 4,90 m

Natočení ve směru šířky = 0,000 ( $\tan^* 1000$ ); (0,0E+00 °)

**Dimenzace čís. 1**

Výpočet proveden s automatickým výběrem nejlepší znivějších zatěžovacích stavů.

**Posouzení podélné výztuže základu ve směru x**

$0,33 \text{ m} \leq 0,38 \text{ m}$

Maximální vyložení patky je menší než  $0,50 * \text{tloušťka patky}$ , výztuž není nutná.

**Posouzení základu na protlačení**

Normálová síla v sloupu = 217,20 kN

**Maximální únosnost na obvodu sloupu**

Síla přenesená roznášením do zákl. půdy = 88,85 kN

Síla přenášená smykovou pevností patky = 128,35 kN

Uvažovaný obvod sloupu  $u_0 = 2,00 \text{ m}$

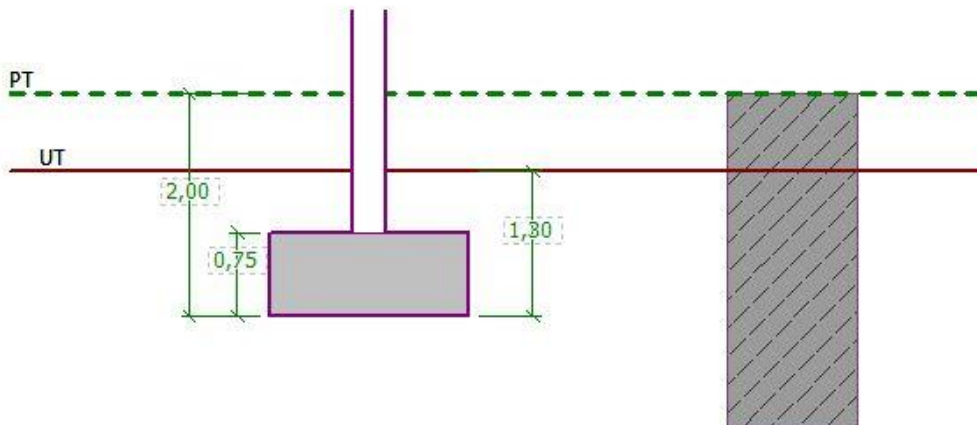
Smykové napětí na obvodu sloupu  $v_{Ed,max} = 0,09 \text{ MPa}$

Únosnost na obvodu sloupu  $v_{Rd,max} = 2,94 \text{ MPa}$

**Základ na protlačení VYHOVUJE**

# ZÁKLADOVÁ PATKA POD ŽB SLOUPY

## 1/ GEOMETRICKÉ SCHÉMA



## 2/ VÝPOČET A POSOUZENÍ VNITŘNÍCH SIL A DEFORMACÍ

### Posouzení plošného základu

#### Vstupní data

##### Projekt

Datum : 18.3.2021

##### Nastavení

Standardní - EN 1997 - DA2

##### Materiály a normy

Betonové konstrukce : EN 1992-1-1 (EC2)

Součinitele EN 1992-1-1 : standardní

##### Sedání

Metoda výpočtu : ČSN 73 1001 (Výpočet pomocí edometrického modulu)

Omezení deformační zóny : procentem Sigma,Or

Koef. omezení deformační zóny : 10,0 [%]

##### Patky

Výpočet pro odvodněné podmínky : EC 7-1 (EN 1997-1:2003)

Posouzení tažené patky : standardní postup

Dovolená excentricita : 0,333

Metodika posouzení : výpočet podle EN 1997

Návrhový přístup : 2 - redukce zatížení a odporu

Součinitely redukce zatížení (F)			
Trvalá návrhová situace			
		Nepříznivé	Příznivé
Stálé zatížení :	$\gamma_G =$	1,35 [-]	1,00 [-]

Součinitely redukce odporu (R)			
Trvalá návrhová situace			
Součinitel redukce svislé únosnosti :		$\gamma_{Rvs} =$	1,40 [-]
Součinitel redukce vodorovné únosnosti :		$\gamma_{Rhs} =$	1,10 [-]

Základní parametry zemin

Číslo	Název	Vzorek	$\phi_{ef}$ [°]	$c_{ef}$ [kPa]	$\gamma$ [kN/m <sup>3</sup> ]	$\gamma_{su}$ [kN/m <sup>3</sup> ]	$\delta$ [°]
1	Třída F5, konzistence tuhá		21,00	12,00	20,00	10,00	

Pro výpočet tlaku v klidu jsou všechny zeminy zadány jako nesoudržné.

#### Parametry zemin

##### Třída F5, konzistence tuhá

Objemová těža :  $\gamma = 20,00 \text{ kN/m}^3$

Úhel vnitřního tření :  $\phi_{ef} = 21,00^\circ$

Soudržnost zeminy :  $c_{ef} = 12,00 \text{ kPa}$

Edometrický modul :  $E_{oed} = 8,50 \text{ MPa}$

Obj.těža sat.zeminy :  $\gamma_{sat} = 20,00 \text{ kN/m}^3$

#### Založení

##### Typ základu: centrická patka

Hloubka od původního terénu  $h_z = 2,00 \text{ m}$

Hloubka základové spáry  $d = 1,30 \text{ m}$

Tloušťka základu  $t = 0,75 \text{ m}$

Sklon upraveného terénu  $s_1 = 0,00^\circ$

Sklon základové spáry  $s_2 = 0,00^\circ$

#### Nadloží

Typ: zadat objemovou těžu

Objemová těža zeminy nad základem = 20,00 kN/m<sup>3</sup>

#### Geometrie konstrukce

##### Typ základu: centrická patka

Délka patky  $x = 1,80 \text{ m}$

Šířka patky  $y = 1,80 \text{ m}$

Šířka sloupu ve směru x  $c_x = 0,30 \text{ m}$

Šířka sloupu ve směru y  $c_y = 0,30 \text{ m}$

Objem patky = 2,43 m<sup>3</sup>

Objem výkopu = 4,21 m<sup>3</sup>

Objem zásypu = 1,73 m<sup>3</sup>

#### Materiál konstrukce

Objemová těža  $\gamma = 23,00 \text{ kN/m}^3$

Výpočet betonových konstrukcí proveden podle normy EN 1992-1-1 (EC2).

#### Beton: C 20/25

Válcová pevnost v tlaku  $f_{ck} = 20,00 \text{ MPa}$

Pevnost v tahu  $f_{ctm} = 2,20 \text{ MPa}$

Modul pružnosti  $E_{cm} = 30000,00 \text{ MPa}$

#### Ocel podélná: B500

Mez kluzu  $f_{yk} = 500,00 \text{ MPa}$

#### Ocel příčná: B500

Mez kluzu  $f_{yk} = 500,00 \text{ MPa}$

#### Geologický profil a přiřazení zemin

Číslo	Mocnost vrstvy $t [m]$	Hloubka $z [m]$	Přiřazená zemina		Vzorek
1	-	0,00 .. ∞	Třída F5, konzistence tuhá		

#### Zatížení

Číslo	Zatížení nové	Zatížení změna	Název	Typ	N [kN]	M <sub>x</sub> [kNm]	M <sub>y</sub> [kNm]	H <sub>x</sub> [kN]	H <sub>y</sub> [kN]
1	Ano		Zatížení č. 1	Návrhové	752,50	40,00	40,00	0,00	0,00
2	Ano		Zatížení č. 1 - provozní	Užitné	578,85	30,77	30,77	0,00	0,00

#### Celkové nastavení výpočtu

Typ výpočtu : výpočet pro odvodněné podmínky

#### Nastavení výpočtu fáze

Návrhová situace : trvalá

### Posouzení čís. 1

#### Posouzení zatěžovacích stavů

Název	Vl. tíha příznivě	$e_x$ [m]	$e_y$ [m]	$\sigma$ [kPa]	$R_d$ [kPa]	Využití [%]	Vyhovuje
Zatížení č. 1	Ano	-0,05	-0,05	289,97	410,25	70,68	Ano
Zatížení č. 1	Ne	-0,05	-0,05	299,66	410,33	73,03	Ano

Výpočet proveden s automatickým výběrem nejnepříznivějších zatěžovacích stavů.

Spočtená vlastní tíha patky  $G = 75,45 \text{ kN}$

Spočtená tíha nadloží  $Z = 46,78 \text{ kN}$

#### Posouzení svislé únosnosti

Tvar kontaktního napětí : obdélník

Nejnepříznivější zatěžovací stav číslo 1. (Zatížení č. 1)

Parametry smykové plochy pod základem:

Hloubka smykové plochy  $z_{sp} = 2,15 \text{ m}$

Dosah smykové plochy  $l_{sp} = 5,69 \text{ m}$

Výpočtová únosnost zákl. půdy  $R_d = 410,33 \text{ kPa}$

Extrémní kontaktní napětí  $\sigma = 299,66 \text{ kPa}$

#### Svislá únosnost VYHOVUJE

#### Posouzení excentricity zatížení

Max. excentricita ve směru délky patky  $e_x = 0,026 < 0,333$

Max. excentricita ve směru šířky patky  $e_y = 0,026 < 0,333$

Max. prostorová excentricita  $e_t = 0,037 < 0,333$

#### Excentricita zatížení základu VYHOVUJE

#### Posouzení vodorovné únosnosti

Nejnepříznivější zatěžovací stav číslo 1. (Zatížení č. 1)

Zemní odporník: klidový

Výpočtová velikost zemního odporu  $S_{pd} = 16,02 \text{ kN}$

Horizontální únosnost základu  $R_{dh} = 340,48 \text{ kN}$

Extrémní horizontální síla  $H = 0,00 \text{ kN}$

#### Vodorovná únosnost VYHOVUJE

#### Únosnost základu VYHOVUJE

### Posouzení čís. 1

#### Sednutí a natočení základu - vstupní data

Výpočet proveden s automatickým výběrem nejnepříznivějších zatěžovacích stavů.

Výpočet proveden s uvažováním koeficientu  $\kappa_1$  (vliv hloubky založení).

Napětí v základové spáře uvažováno od upraveného terénu.

Spočtená vlastní tíha patky  $G = 55,89 \text{ kN}$

Spočtená tíha nadloží  $Z = 34,65 \text{ kN}$

Sednutí středu hrany x - 1 = 19,1 mm

Sednutí středu hrany x - 2 = 16,4 mm

Sednutí středu hrany y - 1 = 19,1 mm

Sednutí středu hrany y - 2 = 16,4 mm

Sednutí středu základu = 27,8 mm

Sednutí charakterist. bodu = 20,1 mm

(1-hrana max.tlačená; 2-hrana min.tlačená)

#### Sednutí a natočení základu - výsledky

#### Tuhost základu:

Spočtený vážený průměrný modul přetvárnosti  $E_{def} = 3,97 \text{ MPa}$

Základ je ve směru délky tuhý ( $k=547,09$ )

Základ je ve směru šířky tuhý ( $k=547,09$ )

#### Posouzení excentricity zatížení

Max. excentricita ve směru délky patky  $e_x = 0,026 < 0,333$   
Max. excentricita ve směru šířky patky  $e_y = 0,026 < 0,333$   
Max. prostorová excentricita  $e_t = 0,036 < 0,333$

#### Excentricita zatížení základu VYHOVUJE

##### Celkové sednutí a natočení základu:

Sednutí základu = 20,1 mm  
Hloubka deformační zóny = 3,86 m

Natočení ve směru x = 1,473 ( $\tan^{-1}1000$ ); (8,4E-02 °)  
Natočení ve směru y = 1,473 ( $\tan^{-1}1000$ ); (8,4E-02 °)

#### Dimenzace čís. 1

Výpočet proveden s automatickým výběrem nejnepříznivějších zatěžovacích stavů.

##### Posouzení podélné výztuže základu ve směru x

10 ks profil 16,0 mm, krytí 40,0 mm  
Šířka průřezu = 1,80 m  
Výška průřezu = 0,75 m  
Stupeň vyztužení  $\rho = 0,16 \%$  >  $0,13 \%$  =  $\rho_{min}$   
Poloha neutrálnej osy  $x = 0,05 \text{ m} < 0,43 \text{ m} = x_{max}$   
Moment na mezi únosnosti  $M_{Rd} = 597,76 \text{ kNm} > 137,04 \text{ kNm} = M_{Ed}$

##### Průřez VYHOVUJE.

##### Posouzení podélné výztuže základu ve směru y

10 ks profil 16,0 mm, krytí 40,0 mm  
Šířka průřezu = 1,80 m  
Výška průřezu = 0,75 m  
Stupeň vyztužení  $\rho = 0,16 \%$  >  $0,13 \%$  =  $\rho_{min}$   
Poloha neutrálnej osy  $x = 0,05 \text{ m} < 0,43 \text{ m} = x_{max}$   
Moment na mezi únosnosti  $M_{Rd} = 597,76 \text{ kNm} > 137,04 \text{ kNm} = M_{Ed}$

##### Průřez VYHOVUJE.

##### Posouzení základu na protlačení

Normálová síla v sloupu = 752,50 kN

##### Maximální únosnost na obvodu sloupu

Síla přenesená roznášením do zákl. půdy = 20,90 kN  
Síla přenášená smykovou pevností patky = 731,60 kN  
Uvažovaný obvod sloupu  $u_0 = 1,20 \text{ m}$   
Smykové napětí na obvodu sloupu  $v_{Ed,max} = 1,25 \text{ MPa}$   
Únosnost na obvodu sloupu  $v_{Rd,max} = 2,94 \text{ MPa}$

##### Kritický průřez bez smykové výztuže

Síla přenesená roznášením do zákl. půdy = 208,58 kN  
Síla přenášená smykovou pevností patky = 543,92 kN  
Vzdálenost průřezu od sloupu = 0,35 m  
Délka průřezu  $u = 3,41 \text{ m}$   
Smykové napětí na průřezu  $v_{Ed} = 0,27 \text{ MPa}$   
Únosnost nevyztuženého průřezu  $v_{Rd,c} = 1,19 \text{ MPa}$

$v_{Ed} < v_{Rd,c} \Rightarrow$  Výztuž není nutná

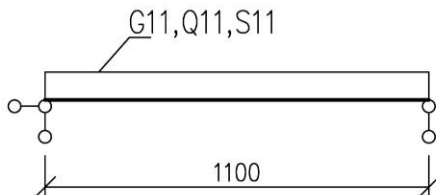
#### Základ na protlačení VYHOVUJE

# STAVEBNÍ ÚPRAVY STÁVAJÍCÍHO OBJEKTU D3

## VODOROVNÉ KONSTRUKCE

### ZASLEPENÍ STÁVAJÍCÍCH SVĚTLÍKŮ – OCELOVÝ NOSNÍK

#### 1/ GEOMETRICKÉ SCHÉMA



Teoretické rozpětí pole  
Zatěžovací šířka

$$L = \boxed{1,10} \text{ m}$$

$$B = \boxed{0,90} \text{ m}$$

#### 2/ ZATÍŽENÍ

##### 1.ZS Vlastní hmotnost

Viz FINE

##### 2. ZS Stálé

Stávající střecha

$$\begin{aligned} SG2 &= \boxed{2,00} \text{ kN/m}^2 \\ G11 = SG2 * B &= \boxed{1,80} \text{ kN/m}^2 \end{aligned}$$

##### 3.ZS Proměnné - užitné

Nové VZT zařízení

$$\begin{aligned} Q3 &= \boxed{5,00} \text{ kN/m}^2 \\ Q11 = Q3 * B &= \boxed{4,50} \text{ kN/m}^2 \end{aligned}$$

##### 4.ZS Proměnné - sníh

Reakce od střešní desky

$$\begin{aligned} S1 &= \boxed{1,20} \text{ kN/m}^2 \\ S11 = S1 * B &= \boxed{1,08} \text{ kN/m}^2 \end{aligned}$$

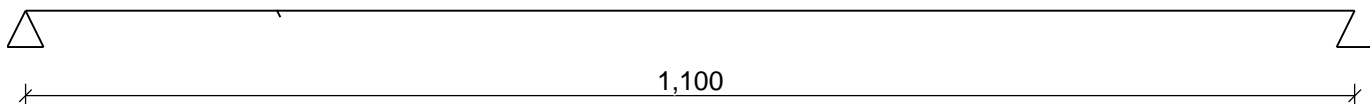
#### 3/ VÝPOČET A PÚOSOUZENÍ VNITŘNÍCH SIL A DEFORMACÍ

##### 1.1 Vstupní data

Délka dílce: 1,100 m

Geometrie

x [m]	Typ uzlu	A/L [m]	I/L [m <sup>3</sup> ]
0,000	kloub	-	-
1,100	kloub	-	-



##### Průřez

Úsek č.	Začátek [m]	Konec [m]	Průřez	Natočení [°]
1	0,000	1,100	I(IPN) 100	0,0

##### Materiál

Název: EN 10210-1 : S 235

Zatěžovací stavy

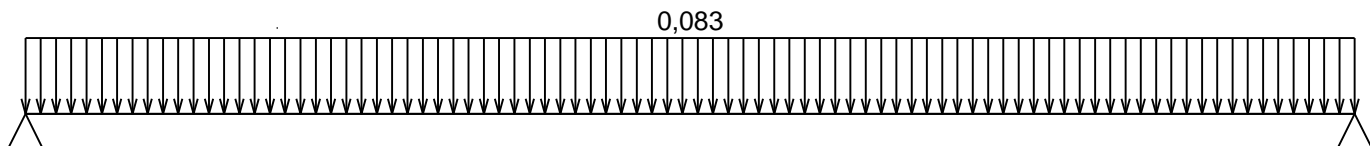
č.	Název	Kód	Typ	$\gamma_f (\gamma_{f,inf})^*$	Součinitely pro kombinace				
					$\xi$	Kateg.**	$\psi_0$	$\psi_1$	$\psi_2$
1	G1 vlastní tíha-stálé	Vlastní tíha	Stálé	1,35(0,90)	0,85	-	-	-	-

č.	Název	Kód	Typ	$\gamma_f (\gamma_{f,inf})^*$	Součinitele pro kombinace				
					$\xi$	Kateg.**	$\psi_0$	$\psi_1$	$\psi_2$
2	G2 silové-stálé	Silové	Stálé	1,35(0,90)	0,85	-	-	-	-
3	Q3 silové-proměnné	Silové	Proměnné	1,50	-	E	1,00	0,90	0,80
4	S4 silové-proměnné	Silové	Proměnné sníh	1,50	-	H<1000	0,50	0,20	0,00

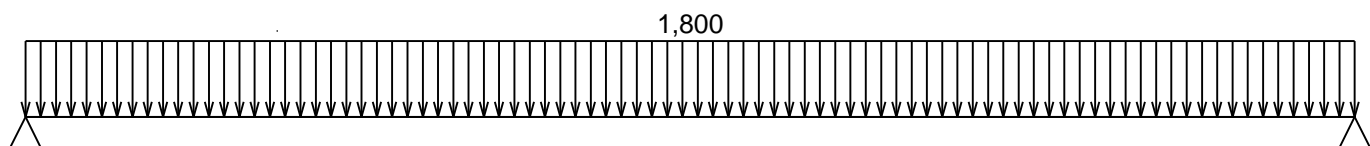
\*  $\gamma_{f,inf}$  pro příznivě působící stálá zatížení

\*\* Kategorie proměnných zatížení podle tabulky A1.1 v EN 1990

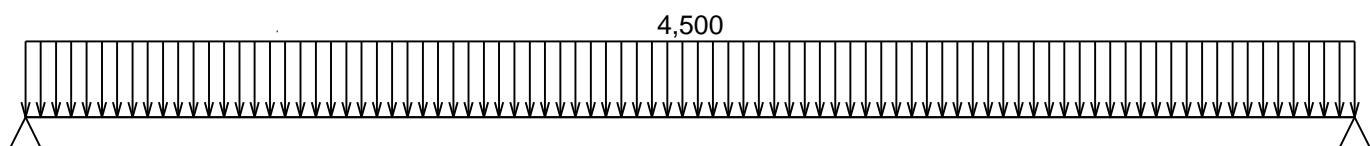
G1 vlastní tíha-stálé - zatížení				
Typ	Souř.x [m]	Délka [m]	Vel.1	Vel.2
pásové	0,000	1,100	0,083kN/m	-



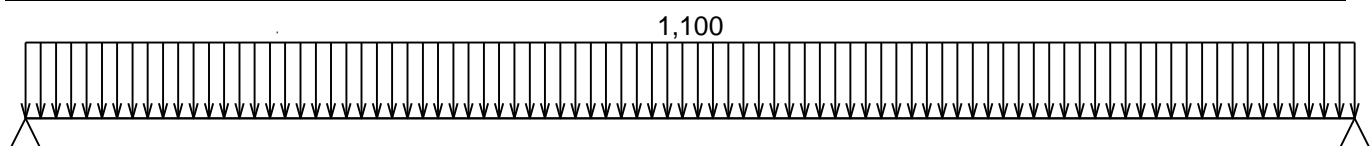
G2 silové-stálé - zatížení				
Typ	Souř.x [m]	Délka [m]	Vel.1	Vel.2
pásové	0,000	1,100	1,800kN/m	-



Q3 silové-proměnné - zatížení				
Typ	Souř.x [m]	Délka [m]	Vel.1	Vel.2
pásové	0,000	1,100	4,500kN/m	-



S4 silové-proměnné - zatížení				
Typ	Souř.x [m]	Délka [m]	Vel.1	Vel.2
pásové	0,000	1,100	1,100kN/m	-



### Kombinace

#### Kombinace 1. řad, pro posouzení mezního stavu únosnosti (MSÚ)

Číslo	Název a druh kombinace
	Složení
1(a)	Q3:G1+G2+S4 únosnost; alternativní - základní kombinace s redukcí zatížení $\gamma_{f,sup,1}(1,35)^*G1 + \gamma_{f,sup,2}(1,35)^*G2 + \gamma_{f,sup,3}(1,50)^*\psi_{0,3}(1,00)^*Q3 + \gamma_{f,sup,4}(1,50)^*\psi_{0,4}(0,50)^*S4$
1(b)	Q3:G1+G2+S4 únosnost; alternativní - základní kombinace s redukcí zatížení $\gamma_{f,sup,1}(1,35)^*\xi_{,1}(0,85)^*G1 + \gamma_{f,sup,2}(1,35)^*\xi_{,2}(0,85)^*G2 + \gamma_{f,sup,3}(1,50)^*Q3 + \gamma_{f,sup,4}(1,50)^*\psi_{0,4}(0,50)^*S4$

Vysvětlivky: varianta (a) = varianta s kombinační hodnotou hlavního proměnného zatížení

varianta (b) = varianta s redukovanými hodnotami stálých zatížení

#### Kombinace 1. řad, pro posouzení mezního stavu použitelnosti (MSP)

Číslo	Název a druh kombinace
	Složení
1	Q3:G1+G2+S4 častá; častá kombinace $G_1 + G_2 + \psi_{1,3}(0,90)*Q_3 + \psi_{2,4}(0,00)*S_4$
2	Q3:G1+G2+S4 char; charakteristická kombinace $G_1 + G_2 + Q_3 + \psi_{0,4}(0,50)*S_4$

#### Vnitřní síly

Celkový počet zatěžovacích případů: 4

častá:

	$V_3[\text{kN}]$	$M_2[\text{kNm}]$	$R_z[\text{kN}]$	$RO_x[\text{kNm}]$
Max. hodnota	3,263	0,897	3,263	-
Min. hodnota	-3,263	0,000	3,263	-

char:

	$V_3[\text{kN}]$	$M_2[\text{kNm}]$	$R_z[\text{kN}]$	$RO_x[\text{kNm}]$
Max. hodnota	3,813	1,049	3,813	-
Min. hodnota	-3,813	0,000	3,813	-

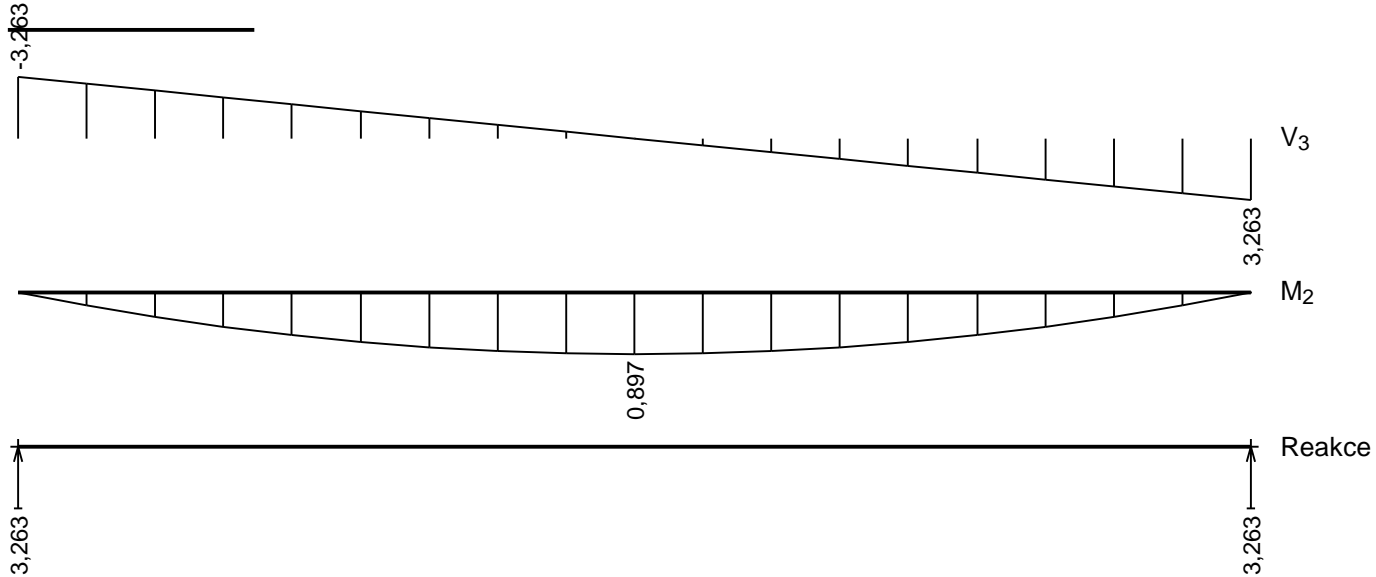
únosnost (var.a):

	$V_3[\text{kN}]$	$M_2[\text{kNm}]$	$R_z[\text{kN}]$	$RO_x[\text{kNm}]$
Max. hodnota	5,565	1,530	5,565	-
Min. hodnota	-5,565	0,000	5,565	-

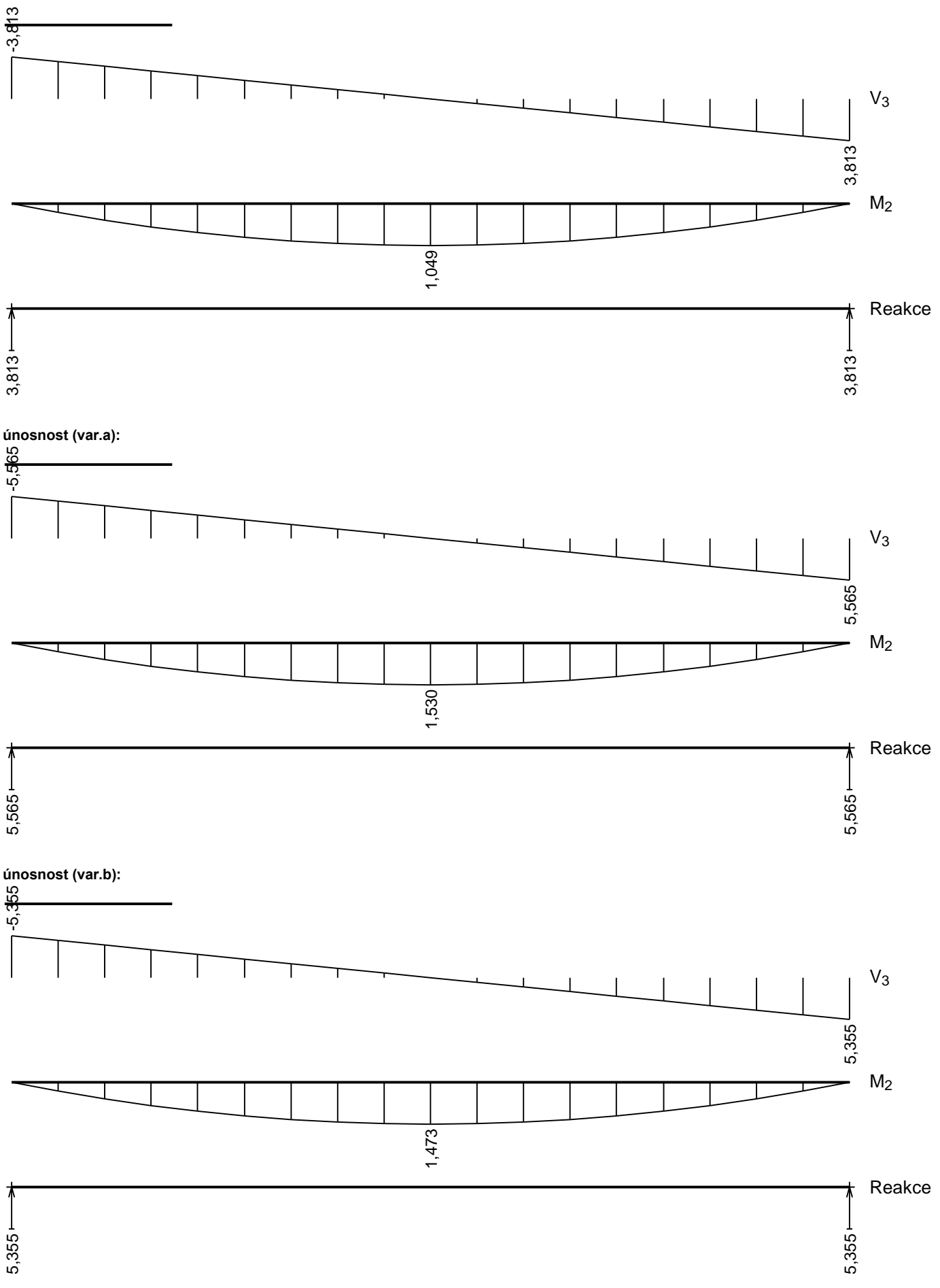
únosnost (var.b):

	$V_3[\text{kN}]$	$M_2[\text{kNm}]$	$R_z[\text{kN}]$	$RO_x[\text{kNm}]$
Max. hodnota	5,355	1,473	5,355	-
Min. hodnota	-5,355	0,000	5,355	-

častá:



char:



## Extrémy reakcí

Extrémy reakcí základní návrhová (MSÚ)	
x [m]	Reakce
0,000	Max R <sub>z</sub> = 5,565kN - únosnost (var.a)
0,000	Min R <sub>z</sub> = 5,355kN - únosnost (var.b)
1,100	Max R <sub>z</sub> = 5,565kN - únosnost (var.a)
1,100	Min R <sub>z</sub> = 5,355kN - únosnost (var.b)

Extrémy reakcí charakteristická (MSP)	
x [m]	Reakce
0,000	Max R <sub>z</sub> = 3,813kN - char
0,000	Min R <sub>z</sub> = 3,813kN - char
1,100	Max R <sub>z</sub> = 3,813kN - char
1,100	Min R <sub>z</sub> = 3,813kN - char

### Klopení

Klopení od momentu M<sub>y</sub>:

Úsek č.	Začátek [m]	Konec [m]	I <sub>z1</sub> [m]	Tvar momentové plochy	Poloha zatížení
1	0,000	1,100	1,100	Prostý nosník, spojité zatížení	1,000

Klopení od momentu M<sub>z</sub>:

Úsek č.	Začátek [m]	Konec [m]	I <sub>y1</sub> [m]	Tvar momentové plochy	Poloha zatížení
1	0,000	1,100	Nezadáno	Nezadáno	-

## 1.2 Výsledky

Celkové posouzení

Rozhodující zatěžovací případ: únosnost (var.a); Třída průřezu: 1

Ohybový moment: M<sub>y</sub> = 1,530 kNm

Posudek ohybu:

Únosnost: M<sub>y,R</sub> = 7,680 kNm

| 0,199 | < 1 **Vyhovuje**

Průřez vyhovuje

Využití

Využití průřezu: 19,9 %

Prúhyb

Charakteristické zatěžovací případy

Maximální deformace délce je 0,4mm v bodě x = 0,550m

Maximální povolená deformace délce je 1,100m / 250,0 = 4,4mm

0,4mm < 4,4mm ⇒ **Vyhovuje**

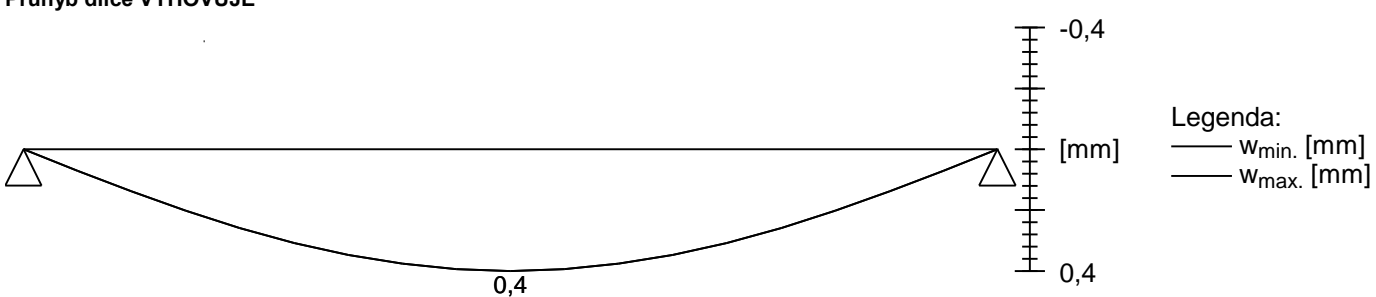
Časté zatěžovací případy

Maximální deformace délce je 0,3mm v bodě x = 0,550m

Maximální povolená deformace délce je 1,100m / 300,0 = 3,7mm

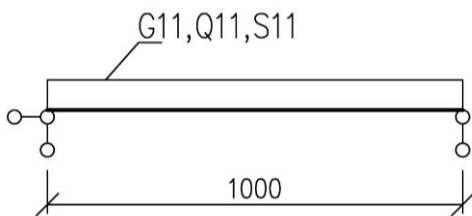
0,3mm < 3,7mm ⇒ **Vyhovuje**

Prúhyb délce VYHOVUJE



# ZASLEPENÍ STÁVAJÍCÍCH SVĚTLÍKŮ – TRAPÉZOVÝ PLECH

## 1/ GEOMETRICKÉ SCHÉMA



Teoretické rozpětí

$$L = \boxed{1,00} \text{ m}$$

## 2/ ZATÍŽENÍ

### 1. ZS Stálé

stávající střecha

$$\begin{aligned} SG_2 &= \boxed{2,00} \text{ kN/m}^2 \\ G_{11} &= \boxed{2,00} \text{ kN/m}^2 \end{aligned}$$

### 2.ZS Proměnné sníh

$$\begin{aligned} S_1 &= \boxed{1,20} \text{ kN/m}^2 \\ S_{11} &= \boxed{1,20} \text{ kN/m}^2 \end{aligned}$$

### 3.ZS Proměnné užitné

Proměnné užitné

$$\begin{aligned} Q_3 &= \boxed{5,00} \text{ kN/m}^2 \\ Q_{11} &= \boxed{5,00} \text{ kN/m}^2 \end{aligned}$$

## 3/ VÝPOČET VNITŘNÍCH SIL

### KOMBINACE -STÁLÉ+SNÍH

$$\begin{aligned} g_k &= G_{11} + S_{11} & g_{k,1} &= \boxed{3,20} \text{ kN/m}^2 \\ g_{d1} &= G_{11} * 1,35 + S_{11} * 0,5 * 1,50 & & \boxed{3,60} \text{ kN/m}^2 \\ g_{d2} &= G_{11} * 1,35 * 0,85 + S_{11} * 1,50 & & \boxed{3,96} \text{ kN/m}^2 \\ & & g_{d,1} &= \boxed{3,96} \text{ kN/m}^2 \end{aligned}$$

### KOMBINACE -STÁLÉ+UŽITNÉ

$$\begin{aligned} g_k &= G_{11} + Q_{11} & g_{k,2} &= \boxed{7,00} \text{ kN/m}^2 \\ g_{d1} &= G_{11} * 1,35 + Q_{11} * 0,7 * 1,50 & & \boxed{7,95} \text{ kN/m}^2 \\ g_{d2} &= G_{11} * 1,35 * 0,85 + Q_{11} * 1,50 & & \boxed{9,66} \text{ kN/m}^2 \\ & & g_{d,2} &= \boxed{9,66} \text{ kN/m}^2 \end{aligned}$$

### CHARAKTERISTICKÉ ZATÍŽENÍ

$$g_k = \max(g_{k,1}, g_{k,2}) = \boxed{7,00} \text{ kN/m}^2$$

### NÁVRHOVÉ ZATÍŽENÍ

$$g_d = \max(g_{d,1}, g_{d,2}) = \boxed{9,66} \text{ kN/m}^2$$

## 4/ POSUDEK TRAPÉZOVÉHO PLECHU TR50/250/0,88 – KOVOVÉ PROFILY PRAHA

### ÚNOSNOST - 1.MS

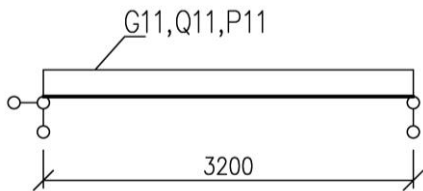
$$\begin{aligned} g_d &= \boxed{9,66} \text{ kN/m} \\ g_{d,lim} &= \boxed{12,31} \text{ kN/m} \\ \boxed{g_d < g_{d,lim}} & \quad \boxed{\text{kN/m}} \\ 9,66 & < 12,31 \quad \boxed{\text{kN/m}} \\ \text{VYHOVUJE} & \end{aligned}$$

### DEFORMACE - 2.MS

$$\begin{aligned} g_k &= \boxed{7,00} \text{ kN/m} \\ g_{k,lim} &= \boxed{21,36} \text{ kN/m} \\ \boxed{g_k < g_{k,lim}} & \quad \boxed{\text{kN/m}} \\ 7,00 & < 21,36 \quad \boxed{\text{kN/m}} \\ \text{VYHOVUJE} & \end{aligned}$$

# ZASTROPEŇÍ STÁVAJÍCÍ JÍMKY – OCELOVÝ NOSNÍK

## 1/ GEOMETRICKÉ SCHÉMA



Teoretické rozpětí pole  
Zatěžovací šířka

$$L = 3,20 \text{ m}$$

$$B = 0,90 \text{ m}$$

## 2/ ZATÍŽENÍ

### 1.ZS Vlastní hmotnost

Viz FINE

### 2. ZS Stálé

Stávající podlaha

$$SG1 = 2,00 \text{ kN/m}^2$$

$$G11 = SG1 * B = 1,80 \text{ kN/m}^2$$

### 3.ZS Proměnné - užitné

Shromažďovací plochy

$$Q1 = 3,00 \text{ kN/m}^2$$

$$Q11 = Q1 * B = 2,70 \text{ kN/m}^2$$

### 4.ZS Proměnné - příčky

Keramické příčky tl. 150 mm

$$P1 = 2,48 \text{ kN/m}^2$$

$$P11 = P1 * B = 2,24 \text{ kN/m}^2$$

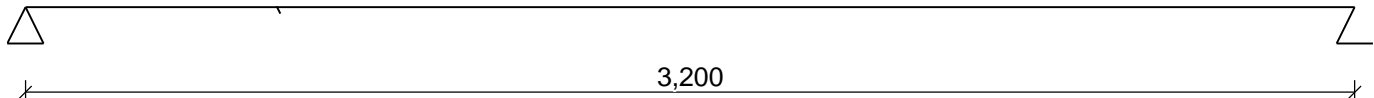
## 3/ VÝPOČET A PÚOSOUZENÍ VNITŘNÍCH SIL A DEFORMACÍ

### 1.1 Vstupní data

Délka dílce: 3,200 m

Geometrie

x [m]	Typ uzlu	A/L [m]	I/L [m <sup>3</sup> ]
0,000	kloub	-	-
3,200	kloub	-	-



### Průřez

Úsek č.	Začátek [m]	Konec [m]	Průřez	Natočení [°]
1	0,000	3,200	I(IPN) 160	0,0

### Materiál

Název: EN 10210-1 : S 235

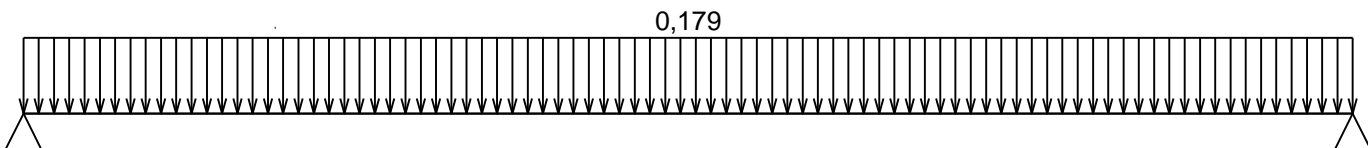
Zatěžovací stavy

č.	Název	Kód	Typ	$\gamma_f (\gamma_{f,inf})^*$	Součinitely pro kombinace				
					$\xi$	Kateg.**	$\psi_0$	$\psi_1$	$\psi_2$
1	G1 vlastní tíha-stálé	Vlastní tíha	Stálé	1,35(0,90)	0,85	-	-	-	-
2	G2 silové-stálé	Silové	Stálé	1,35(0,90)	0,85	-	-	-	-
3	Q3 silové-proměnné	Silové	Proměnné	1,50	-	C	0,70	0,70	0,60
4	Q4 silové-proměnné	Silové	Proměnné	1,50	-	E	1,00	0,90	0,80

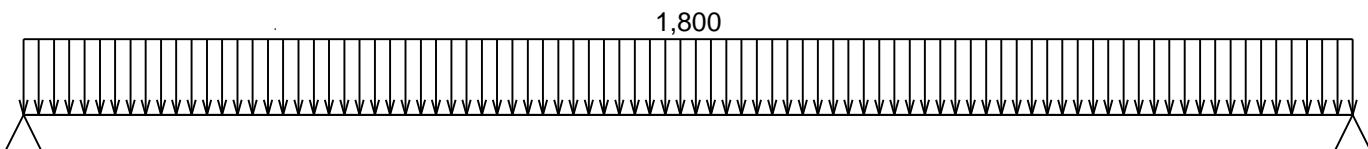
\*  $\gamma_{f,inf}$  pro příznivě působící stálá zatížení

\*\* Kategorie proměnných zatížení podle tabulky A1.1 v EN 1990

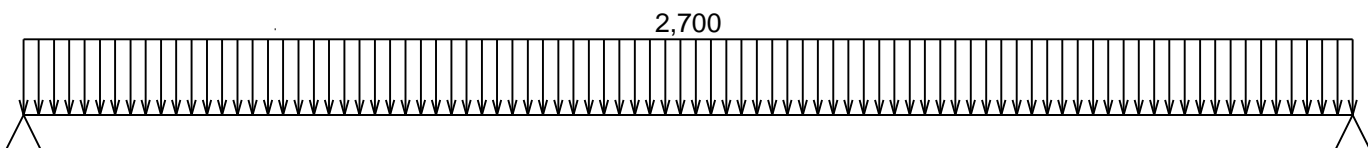
G1 vlastní tíha-stálé - zatížení				
Typ	Souř.x [m]	Délka [m]	Vel.1	Vel.2
pásové	0,000	3,200	0,179kN/m	-



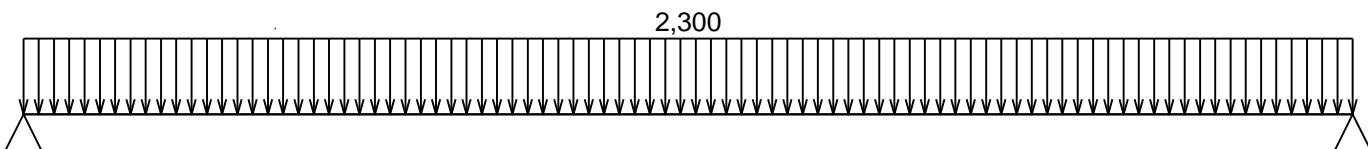
G2 silové-stálé - zatížení				
Typ	Souř.x [m]	Délka [m]	Vel.1	Vel.2
pásové	0,000	3,200	1,800kN/m	-



Q3 silové-proměnné - zatížení				
Typ	Souř.x [m]	Délka [m]	Vel.1	Vel.2
pásové	0,000	3,200	2,700kN/m	-



Q4 silové-proměnné - zatížení				
Typ	Souř.x [m]	Délka [m]	Vel.1	Vel.2
pásové	0,000	3,200	2,300kN/m	-



### Kombinace

#### Kombinace 1. řad, pro posouzení mezního stavu únosnosti (MSÚ)

Číslo	Název a druh kombinace
	Složení
1(a)	Q3:G1+G2+Q4 únosnost; alternativní - základní kombinace s redukcí zatížení $\gamma_{f,sup,1}(1,35)*G1 + \gamma_{f,sup,2}(1,35)*G2 + \gamma_{f,sup,3}(1,50)*\psi_{0,3}(0,70)*Q3 + \gamma_{f,sup,4}(1,50)*\psi_{0,4}(1,00)*Q4$
1(b)	Q3:G1+G2+Q4 únosnost; alternativní - základní kombinace s redukcí zatížení $\gamma_{f,sup,1}(1,35)*\xi_{1,1}(0,85)*G1 + \gamma_{f,sup,2}(1,35)*\xi_{2,2}(0,85)*G2 + \gamma_{f,sup,3}(1,50)*Q3 + \gamma_{f,sup,4}(1,50)*\psi_{0,4}(1,00)*Q4$

Vysvětlivky: varianta (a) = varianta s kombinační hodnotou hlavního proměnného zatížení  
varianta (b) = varianta s redukovanými hodnotami stálých zatížení

#### Kombinace 1. řad, pro posouzení mezního stavu použitelnosti (MSP)

Číslo	Název a druh kombinace
	Složení
1	Q3:G1+G2+Q4 častá; častá kombinace $G1 + G2 + \psi_{1,3}(0,70)*Q3 + \psi_{2,4}(0,80)*Q4$
2	Q3:G1+G2+Q4 char; charakteristická kombinace $G1 + G2 + Q3 + \psi_{0,4}(1,00)*Q4$

### Vnitřní síly

Celkový počet zatěžovacích případů: 4

častá:

	$V_3[\text{kN}]$	$M_2[\text{kNm}]$	$R_z[\text{kN}]$	$RO_x[\text{kNm}]$
Max. hodnota	9,134	7,307	9,134	-
Min. hodnota	-9,134	0,000	9,134	-

char:

	$V_3[\text{kN}]$	$M_2[\text{kNm}]$	$R_z[\text{kN}]$	$RO_x[\text{kNm}]$
Max. hodnota	11,166	8,933	11,166	-
Min. hodnota	-11,166	0,000	11,166	-

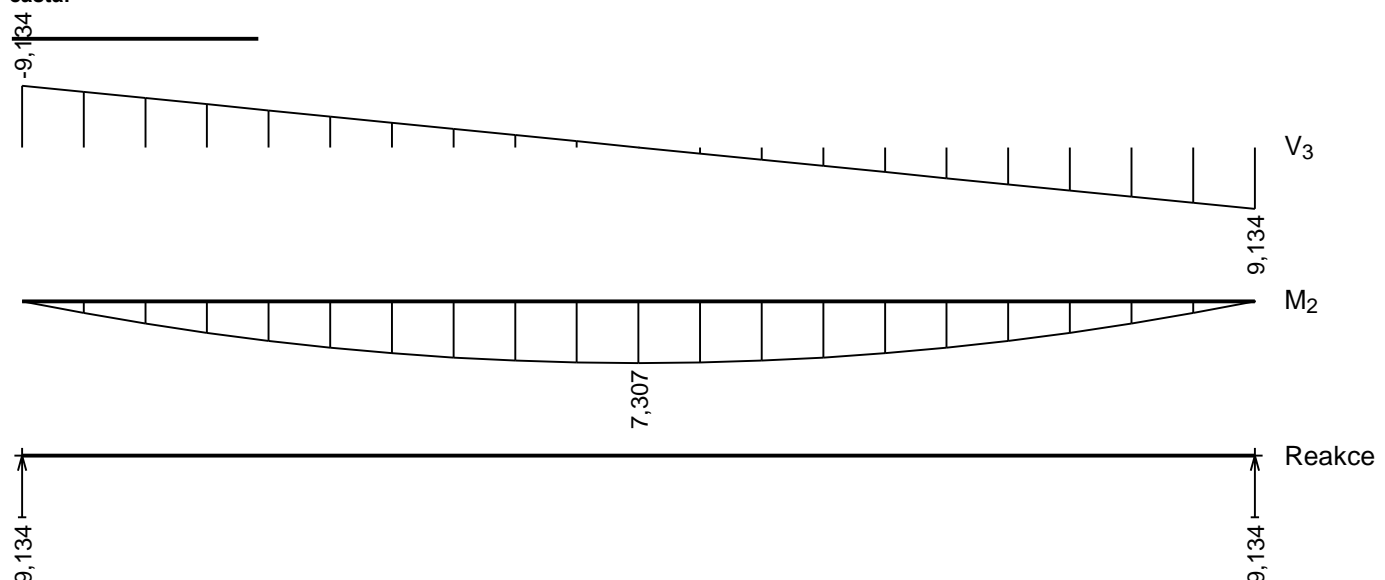
únosnost (var.a):

	$V_3[\text{kN}]$	$M_2[\text{kNm}]$	$R_z[\text{kN}]$	$RO_x[\text{kNm}]$
Max. hodnota	14,331	11,464	14,331	-
Min. hodnota	-14,331	0,000	14,331	-

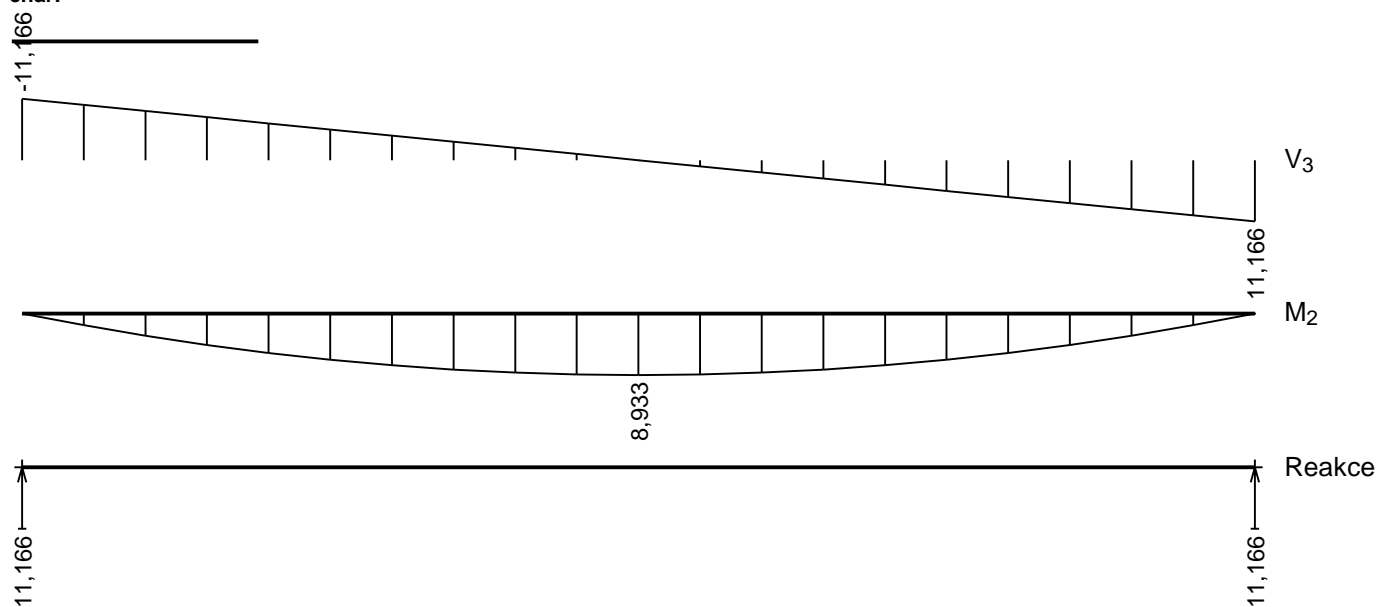
únosnost (var.b):

	$V_3[\text{kN}]$	$M_2[\text{kNm}]$	$R_z[\text{kN}]$	$RO_x[\text{kNm}]$
Max. hodnota	15,633	12,507	15,633	-
Min. hodnota	-15,633	0,000	15,633	-

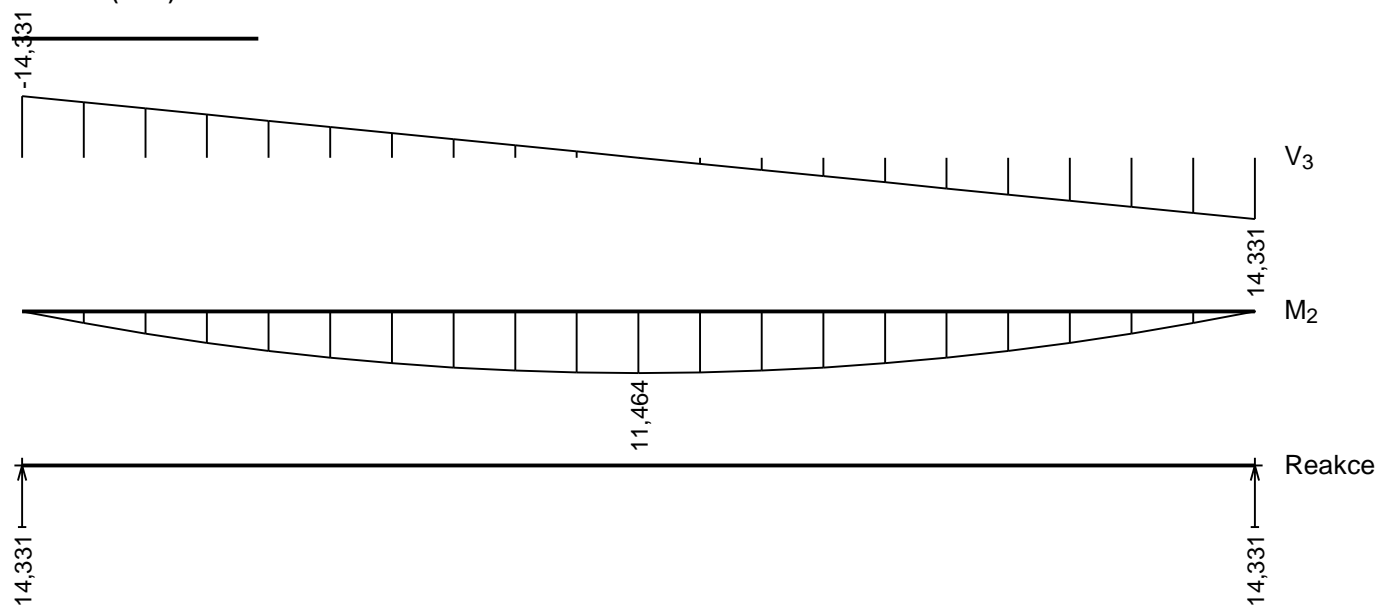
častá:



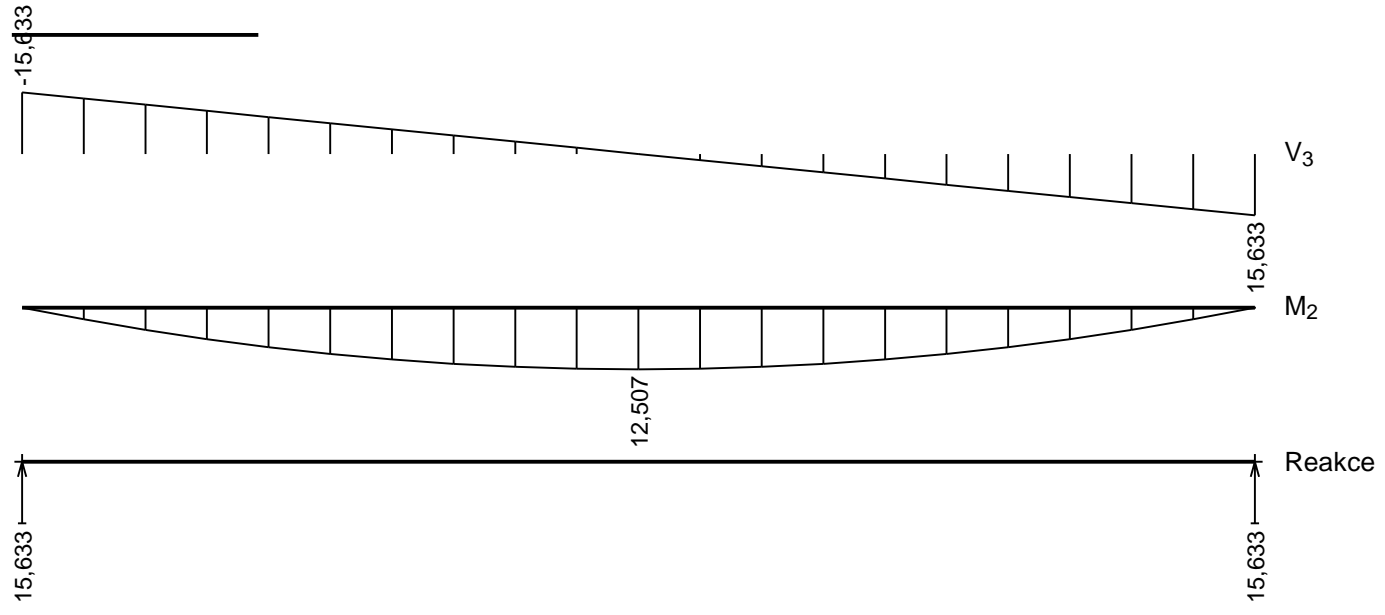
char:



únosnost (var.a):



únosnost (var.b):



#### Extrémy reakcí

Extrémy reakcí základní návrhová (MSÚ)	
x [m]	Reakce
0,000	Max $R_z = 15,633\text{kN}$ - únosnost (var.b)
0,000	Min $R_z = 14,331\text{kN}$ - únosnost (var.a)
3,200	Max $R_z = 15,633\text{kN}$ - únosnost (var.b)
3,200	Min $R_z = 14,331\text{kN}$ - únosnost (var.a)

#### Extrémy reakcí charakteristická (MSP)

x [m]	Reakce
0,000	Max $R_z = 11,166\text{kN}$ - char
0,000	Min $R_z = 11,166\text{kN}$ - char
3,200	Max $R_z = 11,166\text{kN}$ - char
3,200	Min $R_z = 11,166\text{kN}$ - char

Klopení

### Klopení od momentu $M_y$ :

Úsek č.	Začátek [m]	Konec [m]	$I_{z1}$ [m]	Tvar momentové plochy	Poloha zatížení
1	0,000	3,200	3,200	Prostý nosník, spojité zatížení	1,000

### Klopení od momentu $M_z$ :

Úsek č.	Začátek [m]	Konec [m]	$I_{y1}$ [m]	Tvar momentové plochy	Poloha zatížení
1	0,000	3,200	Nezadáno	Nezadáno	-

## 1.2 Výsledky

### Celkové posouzení

Rozhodující zatěžovací případ: únosnost (var.b); Třída průřezu: 1

Ohybový moment:  $M_y = 12,507 \text{ kNm}$

### Posudek ohybu:

Únosnost:  $M_{y,R} = 16,381 \text{ kNm}$

$|0,763| < 1 \quad \text{Vyhovuje}$

### Průřez vyhovuje

### Využití

Využití průřezu: 76,3 %

### Průhyb

### Charakteristické zatěžovací případy

Maximální deformace délce je 4,9mm v bodě  $x = 1,600\text{m}$

Maximální povolená deformace délce je  $3,200\text{m} / 250,0 = 12,8\text{mm}$

$4,9\text{mm} < 12,8\text{mm} \Rightarrow \text{Vyhovuje}$

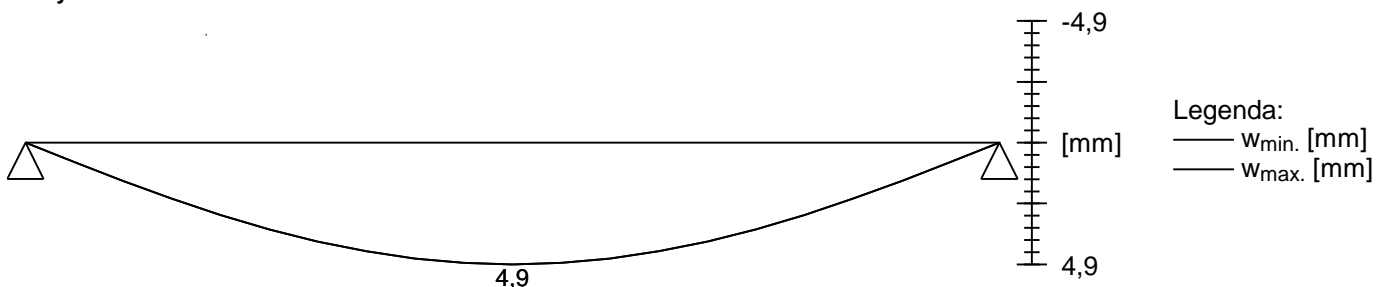
### Časté zatěžovací případy

Maximální deformace délce je 4,0mm v bodě  $x = 1,600\text{m}$

Maximální povolená deformace délce je  $3,200\text{m} / 300,0 = 10,7\text{mm}$

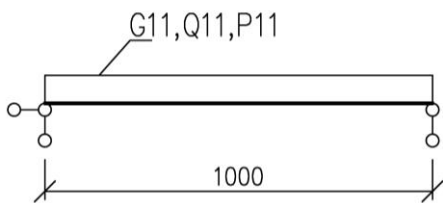
$4,0\text{mm} < 10,7\text{mm} \Rightarrow \text{Vyhovuje}$

Průhyb délce **VYHOVUJE**



## ZASTROPEŇÍ STÁVAJÍCÍ JÍMKY – TRAPÉZOVÝ PLECH

### 1/ GEOMETRICKÉ SCHÉMA



Teoretické rozpětí

$L = 1,00 \text{ m}$

## 2/ ZATÍŽENÍ

### 1. ZS Stálé

stávající podlaha

$$SG1 = \begin{array}{c} 2,00 \\ 2,00 \end{array} \text{ kN/m}^2$$

### 2.ZS Proměnné příčky

keramické příčky

$$P1 = \begin{array}{c} 2,48 \\ 2,48 \end{array} \text{ kN/m}^2$$

### 3.ZS Proměnné užitné

Shromažďovací plochy

$$Q1 = \begin{array}{c} 3,00 \\ 3,00 \end{array} \text{ kN/m}^2$$

## 3/ VÝPOČET VNITŘNÍCH SIL

### KOMBINACE -STÁLÉ+UŽITNÉ+PŘÍČKY

$$g_k = G11+Q11$$

$$g_{k,2} = \begin{array}{c} 7,48 \\ 9,58 \\ 10,39 \end{array} \text{ kN/m}^2$$

$$g_{d1} = G11*1,35+Q11*0,7*1,50+P11*1,0*1,5$$

$$g_{d2} = G11*1,35*0,85+Q11*1,50+P11*1,5$$

$$g_{d,2} = \begin{array}{c} 10,39 \\ 10,39 \end{array} \text{ kN/m}^2$$

### CHARAKTERISTICKÉ ZATÍŽENÍ

$$g_k = \begin{array}{c} 7,48 \end{array} \text{ kN/m}^2$$

### NÁVRHOVÉ ZATÍŽENÍ

$$g_d = \begin{array}{c} 10,39 \end{array} \text{ kN/m}^2$$

## 4/ POSUDEK TRAPÉZOVÉHO PLECHU TR50/250/0,88 – KOVOVÉ PROFILY PRAHA

### ÚNOSNOST - 1.MS

$$g_d = \begin{array}{c} 10,39 \end{array} \text{ kN/m}$$

$$g_{d,lim} = \begin{array}{c} 12,31 \end{array} \text{ kN/m}$$

$g_d < g_{d,lim}$		kN/m
10,39	<	12,31

VYHOUVUJE

### DEFORMACE - 2.MS

$$g_k = \begin{array}{c} 7,48 \end{array} \text{ kN/m}$$

$$g_{k,lim} = \begin{array}{c} 21,36 \end{array} \text{ kN/m}$$

$g_k < g_{k,lim}$		kN/m
7,48	<	21,36

VYHOUVUJE

Datum: březen 2021

Vypracoval: Ing. Aleš Utíkal

Ing. Petr Hanuš

Zodpovědný projektant: Ing. Aleš Utíkal